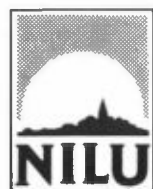


NILU
OPPDRAKSRAPPORT NR: 5/81
REFERANSE: 21279
DATO: MAI 1982

BEREKNINGSMETODER FOR LUFT-
FORURENSNING VED TRAFIKKARER

AV

S. LARSEN OG K.E. GRØNSKEI



NORSK INSTITUTT FOR LUFTFORSKNING
POSTBOKS 130, 2001 LILLESTRØM
NORGE

ISBN-82-7247-317-8

SAMMENDRAG

Norsk institutt for luftforskning (NILU) fikk i august 1979 i oppdrag fra Statens forurensningstilsyn å utarbeide metoder for beregning av luftforurensning ved trafikkårer i Norge.

Den foreliggende rapport inneholder forslag til to beregningsmetoder, en for bruk i gaterom (gater med sammenhengende fasaderekker på begge sider), og en for bruk ved åpne veier (veier uten sammenhengende fasaderekker). Trafikkårer med fasaderekke på en side behandles ikke i denne rapporten.

Beregningsmetodene baserer seg på det datamaterialet NILU har fra en rekke undersøkelser ved trafikkårer i Norge i tiden 1974 - 79. I noen grad er også svenske data trukket inn. En har også tatt utgangspunkt i de idag mest anvendte beregningsmodeller som er beskrevet i litteraturen.

Framstillingen her er lagt opp som en sammenfattende dokumentasjon av datamaterialet. Dokumentasjonen munner ut i forslag til beregningsmetoder.

Det er ønskelig å arbeide videre med metodene, både når det gjelder matematisk formulering og å fremskaffe ytterligere datamateriale.

<u>INNHOLDFORTEGNELSE</u>	Side
DEL I : BEREGNINGSMETODE FOR FORURENSNING I GATEROM	
DOKUMENTASJON	7
1 INNLEDNING	9
2 BESKRIVELSE AV FORURENSNINGSSITUASJONEN I ET GATEROM	10
3 KORT LITTERATUROVERSIKT	12
4 OVERSIKT OVER DATAMATERIALET	18
5 UTSLIPPSFAKTORER	21
5.1 Sammendrag av resultater fra utslipps- målinger	21
5.1.1 Bensinkjøretøy	21
5.1.2 Dieselkjøretøy	22
5.2 Indirekte bestemmelse av midlere utslipp fra kjøretøy i trafikk	23
5.2.1 Indirekte bestemmelse av utslippet i Råd- husgaten, Oslo	23
5.2.2 Målinger ved El8, Lysaker	24
5.3 Utarbeidelse av utslippsfaktorer for bruk i beregningsmetodene	25
6 SAMMENDRAG AV CO-RESULTATER FRA ALLE MÅLE- STEDER I NORGE	26
7 BEREGNINGSMODELL FOR GATEROM	32
7.1 Forslag til beregningsmodell	32
7.2 Prediksjon av forurensning ved hjelp av modellen	37
7.2.1 Middelverdier	37
7.2.2 Ekstremverdier	38
7.3 Krav til inngangsdata for utslipp og meteorologi	41
8 REFERANSER	42

	Side
DEL II : BEREGNINGSMETODE FOR FORURENSNING VED ÅPNE VEIER	
DOKUMENTASJON	45
1 INNLEDNING	47
2 RESULTAT AV SPORSTOFFUNDERSØKELSENE	47
3 BESKRIVELSE AV VERTIKALSPREDNINGEN	58
4 FØRSTE ESTIMAT AV FORURENSNINGSBELASTNINGEN VED ÅPNE VEIBANER	68
4.1 Beregning av utslipp	69
4.2 Spredningsforholdenes innvirkning	69
5 REFERANSER	71
DEL III: VEDLEGG	73
VEDLEGG 1: Figurer. Skisser av målesteder ...	75
VEDLEGG 2: Forurensning i gaterom.....	87
CO-nivåets variasjon med utslipp og spredningsforhold.....	91
Sammenheng mellom CO og andre for- urensningsstoffer	128

DEL I

BEREGNINGSMETODE FOR FORURENSNING
I GATEROM
DOKUMENTASJON

1 INNLEDNING

Spredning av forurensning i et gaterom er en komplisert prosess. For idealiserte betingelser, dvs. svært lange gater i forhold til bredden, med jevne fasader og konstant trafikk, kan en tenke seg at luftbevegelsen i gaterommet kan beskrives. Det foreligger en modellbeskrivelse av luftbevegelsen i et gaterom (Stanford-modellen). Modellen beskriver en luftvirvel som dannes i gaterommet, når vindkomponenten på tvers av gaterommet har en viss størrelse. På grunn av de ikke-ideelle forhold en oftest møter i gaterom (kryssende gater, ujevne fasader, ikke-kontinuerlig trafikk, skiftninger i vindretning og -styrke) kan en tenke seg at avviket fra en idealisert modell under enkelte betingelser kan bli av betydning.

I utviklingen av en beregningsmetode for forurensning i gaterom har en her i stor grad gått ut fra resultater fra et måleprogram, utført i perioden 1974-79, som dekker 10 målesteder i 6 byer i Norge. Datamaterialet danner grunnlaget for den beregningsmetoden som foreslås. En har også i noen grad trukket inn rapporterte resultater fra omfattende målinger ved to målesteder i Stockholm. Rapporten er lagt opp som en dokumentasjon av det forslag til beregningsmetode den munner ut i.

I kapittel 3 gis en kort oversikt over resultater fra større ikke-nordiske undersøkelser som har direkte relevans til temaet for rapporten. I kapittel 4 gis en kort oversikt over NILUs datamateriale. Kapittel 5 gir en oversikt over utslippsfaktorer for enkelte stoffer i bileksos. Kapittel 6 er et sammendrag av CO-målinger ved NILU's målesteder i Norge. Dette sammendraget er basert på dokumentasjonen i Vedlegg 2 (DEL III) av sammenhenger mellom CO, utsipp og spredning. I kapittel 7 er det lagt fram et forslag til beregningsmetode for forurensning i gaterom.

2 BESKRIVELSE AV FORURENSNINGSSITUASJONEN I ET GATEROM

Luftforurensningen i en gate skyldes dels utsippet fra biltrafikken i gaten, dels bidrag fra kilder utenfor gaten. I det følgende vil bare bidraget fra trafikken i gaten selv bli behandlet.

Biltrafikken som kilde består av et stort antall enkeltkilder som beveger seg langs gaten, kjører inn eller ut av gaten, starter fra parkert tilstand etc. Det overveiende antall biler beveger seg langs de linjer som hvert kjørefelt representerer. Bevegelsen er dels den samme for hvert kjøretøy, representert ved den gjennomsnittlige hastigheten langs linjen, dels er bevegelsen individuell, representert ved de hastighetsendringer som hvert kjøretøy gjennomfører i trafikken. Kjøretøyene er av ulik type (bensin/diesel), modell og alder. Bilførerne har ulike kjørevaner. Dette fører til at enkeltkildene kan variere stort i utslippsstyrke langs gaten, for forskjellige stoffer (CO, NO, partikler). Middelutsippet fra biltrafikken som passerer et snitt i et gaterom, regnet pr lengdeenhet av gaten, er derfor en størrelse som bare tilnærmet kan bestemmes ved hjelp av målinger av utsippet, ved definerte kjøretilstander fra enkeltbiler i et laboratorium. I et gitt gaterom kan middelutsippet fra trafikken som passerer et snitt bestemmes indirekte ved målinger ved å benytte en sporstoff-teknikk. Utsipp av et inert sporstoff (gass) skjer sammen med eksosutsippet, og måling av sporstoffet og ulike eksoskomponenter som en vil bestemme utsippet av, måles i enkeltpunkter i gatetverrsnittet.

Eksosutsippet fortynnes når det kommer ut i atmosfæren. Fortynningen bestemmes i første fase av turbulens i eksosen og temperaturforskjellen mellom utsipp og atmosfære, i andre fase av turbulensen generert bak bilen (bilturbulensen) og av turbulensen i atmosfæren. Bilturbulensen, som hver bil genererer, er i første rekke bestemt av bilens hastighet og dimensjoner, og øker med disse parametre. Den resulterende bilturbulensen i et gaterom vil øke med trafikkettetheten.

Atmosfæreturbulensen avhenger av vindstyrken og ruheten i bakke-sjiktet (vegetasjon, topografi, bygningsmasse), og gir en for-tynning eller utspredning av eksosutslippet som gir en fordeling av utslippet i gaterommet. Fordelingen vil være tredimensjonal, idet kryssende veier bryter regelmessigheten langs gaten, og gir endrede muligheter for luftskifte i gaten enn det en har ved ubrutte lange fasaderekker.

Variasjonene i nevnte parametre gir erfaringmessig store og raske variasjoner i forurensningsnivået. På tidsskalaen minutter kan forurensningsnivået i et punkt variere med en faktor 5 eller mer, først og fremst bestemt av typiske variasjoner over kort tid i trafikkettet og turbulens.

På tidsskalaen time kan forurensningsnivået ved en gitt middel-verdi av trafikkettet og vindstyrke og -retning, variere med en faktor 2-3 fra et tilfelle til et annet.

Mulighetene til å estimere forurensningsnivå og endringer i dette i et punkt ved gitte verdier av trafikk, atmosfærevind og gate-rom, er avhengig av at man har input-parametre som i rimelig grad kan beskrive virkelig utslipp og spredning.

Utslippet bestemmes i stor grad av

- trafikkettet
- midlere kjørehastighet
- midlere kjøreforhold (akselerasjon, stopp, tomgang etc)
- temperatur (motortemperatur og atmosfærettemperatur)
- fordeling bensin-/lette og tunge diesel-kjøretøy.

En kommer i praksis ikke unna å måtte anta at midlere utslipp fra hver kjøretøygruppe i en gitt gate er nær det som kan angis som middel for norsk bilpark, hvis man ikke går inn med tracer-målinger på stedet for å bestemme utslippet spesifikt.

Spredningen bestemmes av

- bilturbulensen
- atmosfæreturbulensen
- vindens retning og styrke.

Oppgavene ved utviklingen av en beregningsmodell består for en stor grad i å bestemme hvordan utslipp og spredning, og dermed forurensningsnivå, varier med endringer i de nevnte parametre.

En beregningsmodell kan gi estimer av forventet middelverdi av forurensningen ved gitte forhold. Utsagn om hvilke ekstremverdier en kan forvente, kan baseres på erfaringer fra lengre kontinuerlige måleserier av forurensninger i ulike typer gaterom.

3 KORT LITTERATUROVERSIKT

Den mest kjente og anvendte beregningsmodell for forurensningen i et gaterom er utviklet ved Stanford Research Institute. Den kalles APRAC - eller Stanfordmodellen. Modellen muliggjør beregning både av bidraget til forurensningen i gaterommet fra trafikken i gaten selv, og fra kilder utenfor gaten. Vi skal her bare interessere oss for den del som beregner bidraget fra gaten selv. Den delen av modellen baserer seg på at det settes opp en virvel i gaterommet som er hovedmekanismen for utlufting av gaterommet (figur 3.1). Virvelen tenkes formet, når vindhastigheten over tak har en vesentlig komponent på tvers av gateretningen. Denne modellen ble satt opp på basis av CO-målinger i San José, som viste tildels store forskjeller i konsentrasjonen på de to sidene av gaten (1). Figur 3.1 viser også formlene som anvendes i modellen for å beregne konsentrasjonen for henholdsvis lesiden og vindsiden av gaten. Med vind langs gaten settes konsentrasjonen lik middelverdien av det en får fra lesideformelen og vindsideformelen.

Senere er modellen testet på målinger i to gater i St.Louis (1). Disse to gatene hadde forhold mellom fasadehøyde og gaterombsbredde på 1.5 og 2.0. En fant at modellen overvurderte de høye konsentrasjonene noe.

For beregning av konsentrasjonen i gatenivå, inngår ikke fasadehøyden eksplisitt i Stanfordmodellen. Bredden inngår i vindsideformelen. På lesiden inngår avstanden fra utsippet til målepunktet. Denne vil ofte i noen grad være relatert til bredden, idet jo bredere gaten er, jo større vil avstanden ofte være fra utsipp til fortau. Fasadehøyden har ikke betydning for konsentrasjonen i gatenivå. Dette følger av den formulering modellen er gitt, nemlig at virvelen er hovedmekanismen for utlufting.

I 1976 ble Stanfordmodellen testet på to gater i Stockholm, Sveavägen og Döbelnsgatan (2). Her ble det utført CO-målinger i tre høyder på begge sider av gatene i vår- og sommerperioder. Høyde-bredde-forholdene var 1.0 og 1.5, med årsdøgntrafikk henholdsvis ca 28 000 og 9 000. Det ble målt konsentrasjonsforskjeller i gatenivå mellom de to sidene som var noe større enn det Stanfordmodellen predikerte. Det ble funnet indikasjoner på at avviket var vindstyrkeavhengig.

Den første større undersøkelse av forurensningsforholdene i gaterom ble utført i Frankfurt am Main av Georgii et al. (3). Det var han som formulerete ideen om en virvel i gaterommet, basert på målinger av CO og vind. Ved en fasadehøyde på 33 m fant han at vindhastigheten på lesiden og vindsiden nede ved gaten ble forskjellige når vinden over tak (målt 4 m over taknivå) ble sterkere enn ca 2 m/s. Ved 4 m/s over tak var den ca 1 m/s på lesiden, og 1.5 m/s på vindsiden. Ved 8 m/s over tak var vinden i gaten henholdsvis 1.8 og 2.8 m/s.

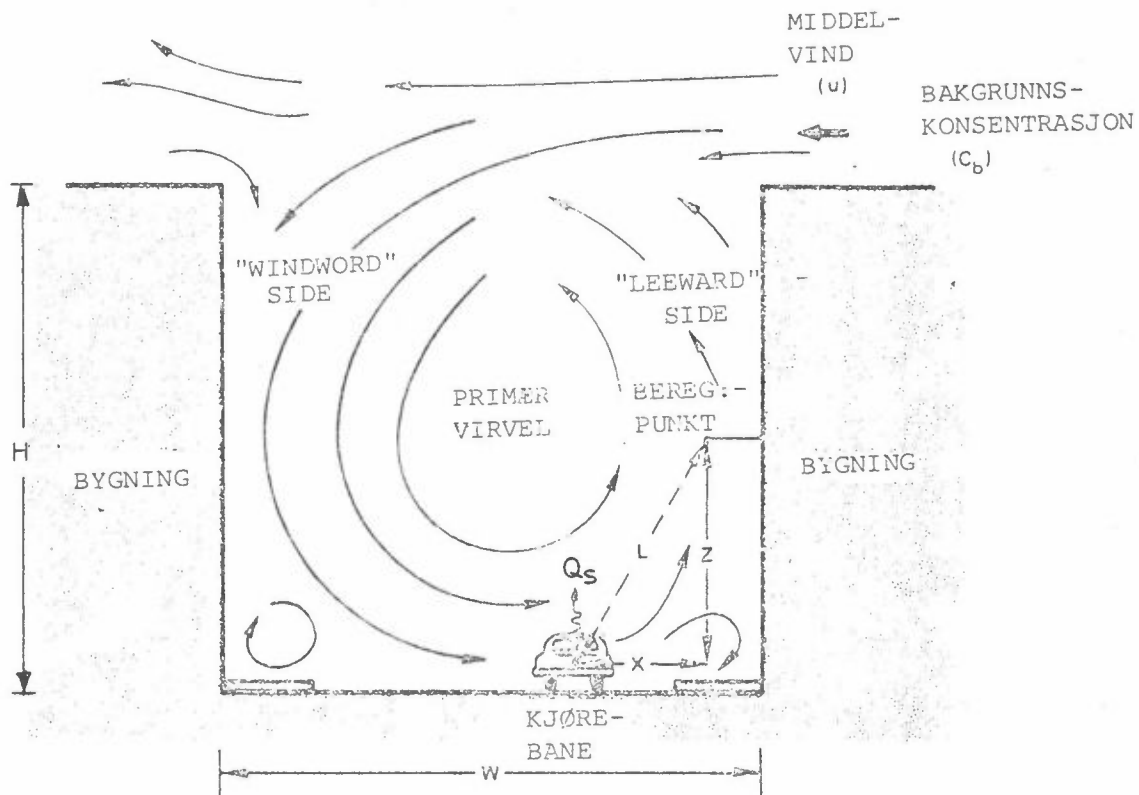
Figur 3.2 viser CO-konsentrasjonen ved målestedene i Frankfurt som funksjon av trafikketttheten i et gaterom med bredde 22.5 m og høyde 33 m. En ser forskjellen mellom lesiden og vindsiden. I gatenivå (3 m over bakken) var forholdet mellom CO på lesiden og vindsiden 1.4 ved 500 kjøretøy/time, stigende til 1.8 ved 1500 kjøretøy/time. Målingene skjedde 1.5 m fra fasaden.

For en slik gate vil Stanfordmodellen prediktere et forhold mellom leside og vindsiden på 2.0 om en antar at utsippet skjer midt i gaten.

I Stanfordmodellen er denne faktoren uavhengig av trafikketteteten.

Konsentrasjonens reduksjon med høyden ved målestedene i Frankfurt framgår av figur 3.3 Reduksjonen var avhengig av vindhastigheten. Ved vind over tak 0-1 m/s var det liten forskjell mellom lesiden og vindsiden.

Nicholson har presentert en modell som predikterer midlere forurensningskonsentrasjon i et gaterom, basert på en annen formulering av virveldannelsen (4). Modellen predikterer også virvelens hastighet, beregnet som midlere vertikalhastighet i gaterommet. Forfatteren har benyttet data fra undersøkelser i Chicago, Madison og Frankfurt. Modellen gir midlere vertikalhastigheter av virvelen i gaterommene som ble benyttet på 0.2-0.4 m/s med vindhastighet 4 m/s over tak, og 0.3-0.7 m/s ved 8 m/s over tak.



Konsentrasjon
på "leeward"-
siden:

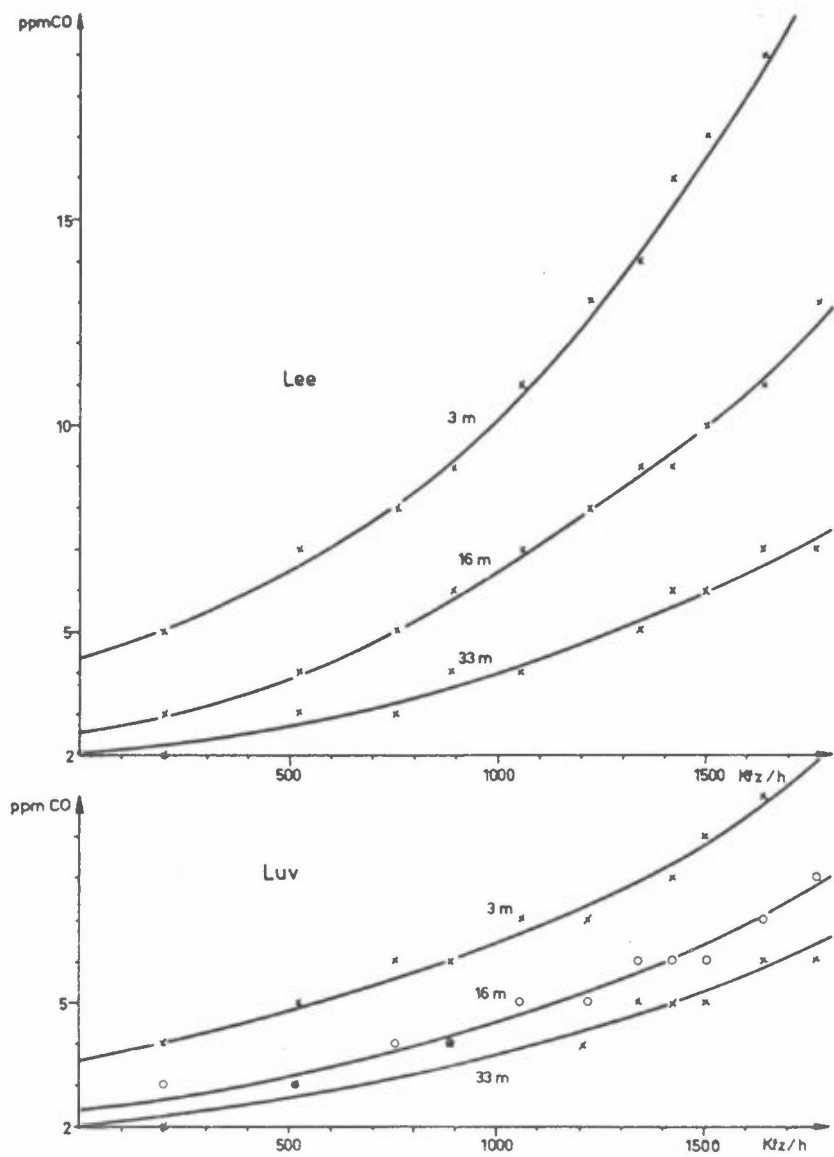
$$\Delta C_L = \frac{K Q_s}{(u + 0.5) \left[\left(x^2 + z^2 \right)^{\frac{1}{2}} + L_o \right]}$$

K bestemmes ved
 L_o målinger

Konsentrasjonen
på "windward"-
siden:

$$\Delta C_W = \frac{K Q_s (H - z)}{W(u + 0.5)H}$$

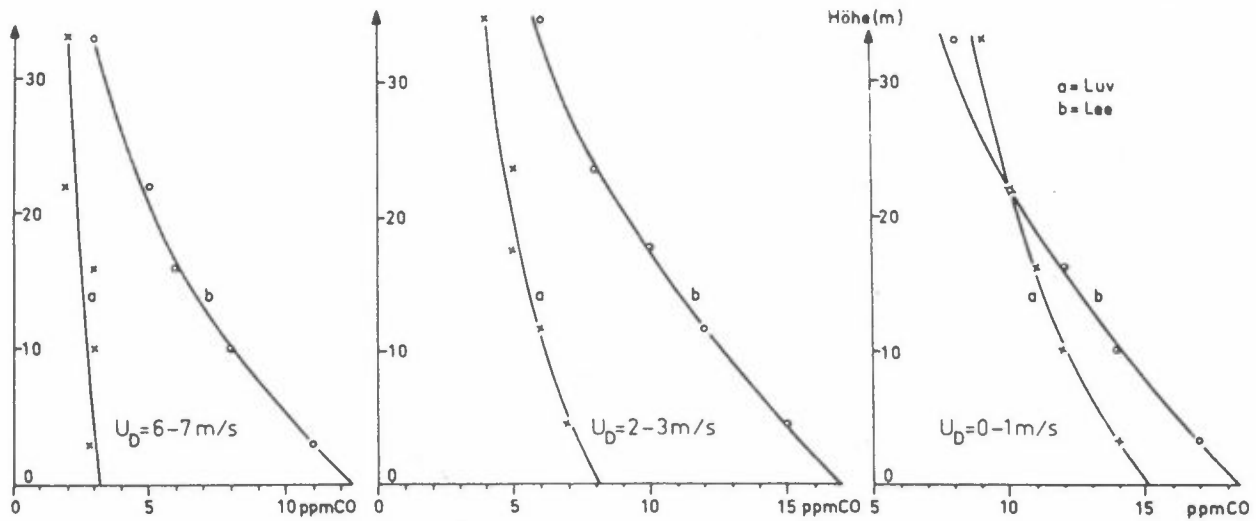
Figur 3.1: Stanfordmodellens gatemodell.



Figur 3.2: CO-konsentrasjonen som funksjon av trafikketetthet, gate-side og høyde. Resultater fra Frankfurt am Main.

Fra Georgii et.al. (3).

(Kfz/h = kjøretøy/time).



Figur 3.3: CO-konsentrasjonen som funksjon av høyde over bakken, vindstyrke over tak (V_0) og gateside (lo og le). Resultater fra Frankfurt om Main. Fra Georgii et.al. (3).

4 Oversikt over datamaterialet

Datagrunnlaget vi har benyttet ligger først og fremst i NILUs målinger av biltrafikkforurensninger i en rekke gaterom i flere byer i Norge i perioden 1974-79. En har ved disse undersøkelsene tatt sikte på å få fram sammenhenger mellom utslipp, spredning og forurensningsnivå. Av denne grunn er det samtidig målt meteorologiske parametre, trafikktetthet og forurensning. Alle måleserier er detaljert beskrevet i NILU-rapporter (5-12).

Forurensningen er representert ved kontinuerlige målinger av CO, NO, NO_x , NO_x og HC samt 12- eller 24-timers middelverdier av sot, svevestøv og støvets innhold av bly og PAH-komponenter. Målinger av SO_2 (24-timers middelverdier) har også ofte vært inkludert. De enkleste måleserier har bare omfattet CO. Bare ved et målesteds er alle nevnte komponenter inkludert.

Forurensningsmålingene er blitt foretatt over fortau på en side av gaterommet. Oftest er det plassert en målebu på fortauen, anslagsvis 1.5 meter bred og 2.5 meter lang. Luftinntakets høyde over fortauen har vært i området 2-3 meter. Avstanden fra fasaden har variert en del fra målesteds til målesteds i området 0.5-4 m. Valget av stasjonsplassering i kvartalet har vært begrenset av praktiske muligheter. Plasseringen har noen ganger vært midt i kvartalet, andre ganger ved inngangen til kvartalet eller ved trafikklys. Avstanden fra målesteds til kryss har alltid vært større enn ca 15 meter.

Trafikken har vært karakterisert ved å telle totalt antall kjøretøy (TT) som passerer målestedet pr tidsenhet, enten pr halvtime eller time. Midlere kjørehastighet (VT) har i enkelte tilfeller blitt målt, i andre tilfeller estimert. Ved fastsettelse av andel tunge dieseldkjøretøy har en vært avhengig av å benytte de tall kommunene har hatt tilgjengelig.

De meteorologiske parametre som er blitt målt har oftest vært vindstyrke (VV) og vindretning (VR), målt 10-20 meter høyere enn midlere takhøyde i området ved målestedet. Temperaturen (T) i bakkenivå og temperaturforskjellen (ΔT) mellom bunn og topp av gaterommet har også blitt inkludert i en del av undersøkelsene. Disse parametre er målt som midlerte timesverdier eller øyeblikksverdier hver time. For øvrig har en benyttet data fra Meteorologisk institutts klimastasjoner til vurdering av forurensningsdataene og deres representativitet.

De kontinuerlige målingene foreligger som timesmiddelverdier.

Figurene 1-10 i vedlegget viser i detalj plassering av målestasjon i forhold til kvartal og gaterom for hvert av målestedene som er benyttet.

Tabell 4.1 gir en oversikt over hele datamaterialet.

I undersøkelsen i Rådhusgata i Oslo i 1979 inngikk en spredningsundersøkelse for bilavgasser i gaterom, utført ved hjelp av sporstoffet SF₆. En del hovedresultater fra denne undersøkelsen er også benyttet som bakgrunn for utarbeidelse av beregningsmetodene.

For å knytte sammenhengen mellom utslipp og forurensning, er det nødvendig å ha utslippstall for trafikken i gaterommet. Trafikk-tallene er her bare en del av det nødvendige grunnlaget. Utslipps-tall for biler er gitt fra målinger i Norge, Sverige og andre land. De tall som er benyttet under vurderingen av måleresultatene er diskutert i kapittel 5.

Tabell 4.1: Oversikt over datamaterialet, forurensning ved trafikkårer, målinger utført av NILU i perioden 1974-79.

Målested	Periode	Målte parametre			Ref.
		Forurensning	Trafikk	Meteorologi	
<u>Oslo</u> Rådhusgt.	mars-juni 74	CO,NO ₂ ,sot,bly	TT	VV,VR	5,6
	jan-mars 75	CO,NO ₂ ,sot,bly	-	VV,VR	
	jan-mars 79	CO,NO,NO ₂ ,sot, bly,svevestøv,PAH	TT	VV,VR,T,ΔT	
	juni 74	CO,NO ₂	TT	VV,VR	
Torggt.	mars 74	CO	TT	VV,VR	
<u>Bærum</u> E18,Lysaker	sept-okt 74	CO,NO,NO ₂ ,sot, bly	TT	VV,VR	7
	jan-febr 75	CO,NO ₂ ,sot,bly	TT	VV,VR	
<u>Holmestrand</u> Langgt.	aug 74	CO,NO _x ,sot,bly	TT	VV,VR	8
<u>Trondheim</u> Øvre Bakklandet	jan-juli 78	CO,sot,bly	TT	VV,VR,T,ΔT	9
	mars-april 78	CO	TT	VV,VR,T	
<u>Bergen</u> Strandgt.	jan-juni 78	CO,sot,bly	TT	VV,VR,T,ΔT	10
<u>Lillehammer</u> Storgt.	jan-juni 78	CO	TT	VV,VR,T,ΔT	11
<u>Sarpsborg</u> Olav Haraldsons gate	jan-juli 78	CO,sot,bly	TT	VV,VR	12

TT - trafikktetthet

T - temperatur

VV - vindstyrke

ΔT - vertikal temperaturgradient

VR - vindretning

5 UTSLIPPSFAKTORER

Riktig prediksjon av forurensningsnivået ved veier er avhengig av hvor nøyaktig en kan anslå utslippet. Det er utført målinger av utslipp fra biler som kan danne grunnlag for estimat av utslippet og dets avhengighet av nærmere definerte forhold som midlere hastighet, akselerasjon/retardasjon og lufttemperatur. Likeledes har NILU utført målinger som gir grunnlag for å estimere middelutslippet fra biler i trafikk.

5.1 Sammendrag av resultater fra utslippsmålinger

5.1.1 Bensinkjøretøy

Statens teknologiske institutt (STI) har i en rapport (13) presentert et sammendrag av utslippsmålinger av CO, NO_x og HC foretatt i Sverige, Tyskland og Holland. STI foreslår å benytte i hovedsak resultatene fra Bilavgaslaboratoriet i Studsvik i Sverige som representative verdier for utslipp fra norsk bilpark. Bilavgaslaboratoriet har gjennomført to større serier av utslippsmålinger. 35 biler av årsmodeller 1967-76 ble undersøkt i 1976, ved omgivelsestemperatur ca 20°C. 12 biler av årsmodeller 1977-78 ble undersøkt i 1978 ved omgivelsestemperaturer 0°C og 20°C. I begge undersøkelser ble utslipp av CO, NO_x og HC spesifisert ved gitte middelhastigheter og gitte akselerasjons- og retardasjonsbetingelser (2,14). Bruken av dataene forutsetter at en kjenner midlere kjørehastighet og midlere akselerasjons/retardasjonsforhold på de veisegmenter der en ønsker å estimere forurensningsgraden. En må kjenne både de midlere forhold og de mer ekstreme forhold som opptrer i rushtidene.

STI har også selv foretatt omfattende utslippsmålinger på norske biler. STI's målinger er foretatt etter definerte kjøresykluser (ECE og CVS-2), som antas å være representative for bykjøring i Norge.

Resultater av en måleserie ved STI i 1979, der 80 tilfeldig valgte biler av årsmodeller 1974-77 ble undersøkt, er presentert i en rapport (15). Resultatene gir grunnlag for å estimere midlere utslipp ved bykjøring. Slike utslippstall egner seg til å beregne totalutslippet fra biltrafikk over byområder. STI har nylig satt fram forslag om hvilke midlere utslippstall for CO, NO_x og HC som bør benyttes for bykjøring i Norge (16). STI poengterer at tallene er usikre. De er gjengitt her i tabell 5.1.

Tabell 5.1: Midlere utslippstall for CO, NO_x og HC for bykjøring i Norge 1980. Tallene er gitt i g/km. Fra STI (16).

Komponent	Midtbyen (ECE)				Utenfor bykjernen (CVS-2)		
	Bensin lett ECE	Diesel lett ECE	tung 19 km/t*	Bensin lett CVS-2	Diesel lett CVS-2	tung 32 km/t*	
- CO	26±6	2.5±1	17	18±4	0.7±0.3	13	
NO _x (som NO ₂)	1.8±0.5	0.9±0.2	15	1.6±0.3	0.8±0.2	15	
HC**	~ 1.8±0.5	0.7±0.2	1.9	2.0±0.3	0.2±0.1	1.5	

* målinger foretatt ved TNO, Holland etter kjøresykluser med forskjellige middelhastigheter.

** målt med flammeionisasjons-detektor.

5.1.2 Dieselkjøretøy

Datagrunnlaget for utslipp fra dieselkjøretøy er ikke på langt nær så omfattende som for bensindrevne personbiler. En skiller gjerne mellom lette og tunge dieselkjøretøy. Kjøretøyforskriftene setter en grense ved 7500 kg, slik at gruppen lette dieselkjøretøy omfatter dieseldrevne personbiler, større varevogner og lette lastebiler. I rapporten fra STI (16) foreslås tallverdier for utslipp av CO, NO_x og HC fra begge klassene. I følge STI ligger det relativt store usikkerheter i de tall som foreslås, spesielt for tunge kjøretøy, fordi det ikke er god overensstemmelse mellom måleverdier fra ulike kilder.

STI har også foreslått utslippstall for midlere bykjøring for dieselkjøretøy (tabell 5.1).

5.2 Indirekte bestemmelse av midlere utsipp fra kjøretøy i trafikk

Noen av de undersøkelser NILU har gjennomført ved norske veier kan benyttes til indirekte å estimere midlere utsipp fra de kjøretøy som passerer målestedene. I 1979 ble det utført sporstoff-(SF₆)-eksperimenter i Rådhusgata som muliggjør en indirekte bestemmelse av utsippet av ulike stoffer. Likeledes danner målingene ved Lysaker i 1974-75 et grunnlag for estimering av utsippet der, basert på beregninger med spredningsmodellen for åpne veier.

5.2.1 Indirekte bestemmelse av utsippet i Rådhusgaten, Oslo

Tracer-gass-eksperimentene i Rådhusgata i januar-februar 1979 kan forenklet beskrives slik:

Fire biler med utstyr for utsipp av SF₆ ved eksosrøret kjørte i trafikken i Rådhusgata. En bil fulgte med hver trafikkbølge som går gjennom Rådhusgata ca en gang pr. minutt. Hvert eksperiment pågikk i ca 25 minutter. Utslippsmengden av SF₆ pr. tidsenhet for hver bil var kjent. Samtidig ble det foretatt målinger av SF₆ og CO i en rekke punkter i gatetverrsnittet, både langs vertikale og horisontale snitt. I ett punkt ble også foretatt målinger av NO, NO₂ og PAH samtidig med SF₆ og CO.

Dette opplegget gjør det mulig å estimere det midlere utsippet av forurensede stoffer fra biltrafikken, ifølge ligningen

$$\frac{C}{C_{SF_6}} = \frac{Q}{Q_{SF_6}}$$

hvor Q_{SF₆} og C_{SF₆} er henholdsvis midlere utsipp og konsentrasjon av SF₆, og Q og C er henholdsvis utsipp og konsentrasjon av forurensningskomponentene. Detaljene ved undersøkelsen og gjennomføringen beskrives i egen rapport. Resultater vises i tabell 5.2.

Tabell 5.2: Midlere CO-utsipp (g/km) fra trafikken i Rådhusgata bestemt indirekte ved hjelp av SF₆, sammenlignet med resultater fra laboratoriemålinger av utsipp.

	Indirekte bestemt Rådhusgaten 1979		Midlere hastigh. km/t	Temp. °C	Målt i lab. (Studsvik 1976)	
	Ukorr.	Korr. for bakgrunn			20°C 0 m/s ²	0.6 m/s ²
19.1. 1030-1045	50-65	40-55	≈ 29	-2.5	35	45
26.1 1115-1130	55	50	≈ 22	-16	43	58
" 1440-1455	< 75	< 65	≈ 25	-14	40	53
6.2 0810-0840	130	110	23	-15	42	56
" 1055-1110	120	100	28	-10	36	46
" 1430-1445	100	80	28	- 6	36	46

En ser at den indirekte bestemmelsen gir utsippstall for CO som i noen tilfeller er nær like, i andre tilfeller vesentlig høyere enn tallene gitt fra Studsvik på basis av undersøkelsen i 1976.

En ser at temperaturen var lav under SF₆-eksperimentene. Studsviks siste måleserie viser at utsippet øker når utetemperaturen reduseres fra 20°C til 0°C. Dette må tas hensyn til når en sammenligner det indirekte bestemte utsipp med laboratoriemålingene.

5.2.2 Målinger ved El8, Lysaker

Målingene av CO og NO_x ved Lysaker i 1974-75, kombinert med spredningsberegninger ved hjelp av modellen for åpne veier (se Del II) gir grunnlag for en indirekte bestemmelse av utsippet. Midlere CO-utsipp kan da beregnes til å ligge i nærheten av 25 g/km, når en benytter målinger for september-oktober 1974. Gjennomsnittshastigheten ved Lysaker anslås til 45 km/t, og trafikken glir jevnt forbi målestasjonen, uten nevneverdig grad av stopp, akselerasjoner og retardasjoner. Fra Studsviks målinger i 1976, får en et utsipp på ca 25 g/km for de betingelsene, altså i god overensstemmelse med resultatet fra beregninger av utsippet ved hjelp av modellen.

Disse indirekte bestemmelser av utslippet kan gi et bidrag til å underbygge de tall som velges for utslippet fra biler i bytrafikk i Norge.

5.3 Utarbeidelse av utslippsfaktorer for bruk i beregningsmetodene

Utslippstabellene som funksjon av middelhastighet, akselerasjon etc viser hvor mye middelutslippet fra biltrafikken kan variere med trafikkavviklingen gjennom et snitt i en gate. Resultatene fra NILUs måleserier underbygger dette. Studsviks tall fra 1976 og fra 1978 viser også hvor stor betydning bilens alder og lufttemperaturen har.

Til bruk i beregningsmetodene, bør en kjenne følgende data:

CO, NO_x, HC

Utslipp som funksjon av middelhastighet, utetemperatur og akselerasjons/retardasjonsforhold for den alderssammensetning av bensindrevne personbiler og tunge dieseldkjøretøy en til enhver tid har.

Partikler, bly, organiske stoffer

Utslipp av disse stoffer gis i forhold til utslipp av CO, som gjennomsnittstall for kjøring i bykjerne og utenfor bykjerne. De data en oftest har fra trafikken i en gate, spesielt i en plansituasjon, er midlere trafikketthet, skiltet eller målt middelhastighet, samt gatens trafikk-kapasitet og andel tungtrafikk. Det bør gis anvisninger om hvilken middelhastighet og hvilke midlere akselerasjons/retardasjonsforhold en skal velge ved typiske trafikksituasjoner i ulike typer gater. Eksempler på situasjoner kan være:

- trafikkavvikling utenfor og i rushtiden, avhengig av trafikken i gaten i forhold til den kapasitet,
- trafikkavvikling ved trafikklys i og utenfor rushtid.

6 SAMMENDRAG AV CO-RESULTATER FRA ALLE MÅLESTEDER I NORGE

Det samlede datamaterialet NILU har fra målesteder i Norge t.o.m. 1979 gir grunnlag for å undersøke sammenhenger mellom forurensningsnivå og parametre som vindhastighet, vindretning, trafikk-tetthet, temperatur og andre. I vedlegg 2 i del III presenteres resultatene av en slik analyse mellom CO og slike parametre. Likeledes gis sammenhenger mellom CO og andre forurensnings-parametre som NO_x, bly og sot.

Følgende uttrykk tar hensyn til de fleste av de sammenhenger som er behandlet i vedlegg 2:

$$C = k_o \frac{QB \cdot TT \cdot (1+a \cdot H/B)}{(VV+0.5) \cdot B}$$

hvor C er CO-konsentrasjonen i mg/m³

VV er vindhastigheten over tak i m/s

B er gateromsbredden i meter

TT er trafikktettheten i kjøretøy/s

QB er midlere utsipp i mg/m•kjøretøy

H er midlere fasadehøyde i meter.

k_o er en dimensjonsløs konstant

a er en dimensjonsløs konstant med verdi mellom 0 og 1

En faktor det ikke er tatt hensyn til i uttrykket er avstanden fra nærmeste kryss til målepunktet. En har heller ikke tatt hensyn til den relativt ubetydelige forskjell i målepunktenes avstand fra fasaden og høyde over bakken.

Faktoren k_o er lik forholdet mellom normalisert CO-konsentrasjon i målepunktet og utsippet av CO fra trafikken. Både normalisert CO-konsentrasjon [CO(VV+0.5)/QB•TT•(1+H/B)] og utsipp har dimensjon mg/m•kjøretøy.

Midlere utslipp, QB, må anslås for hvert målested basert på kjennskap til trafikken på stedet. Når middelhastighet og akselerasjon/retardasjonsforhold er gitt, kan QB finnes fra de undersøkelser i Studsvik som er beskrevet i kapittel 5. Det er rimelig å velge utslippstall som ligger mellom de som ble gitt for undersøkelsene i 1976 og i 1978. Den første gjaldt biler 0-9 år gamle i 1976. Den siste gjaldt biler 0-1 år gamle i 1978.

Verdiene for QB er funnet fra middelhastighet og midlere akselerasjonsforhold, og ved å ta middelverdien av de tall som da gis fra 1976 og 1978 Studsvikundersøkelser. Det er samtidig tatt hensyn til utetemperaturen. For januar - mars har en brukt utslippet ved 0°C . (I seksjon 1.3 i vedlegg 2, sannsynliggjøres at utslippet ikke øker ved ytterlig lavere temperaturer). For mai-august er utslippet ved 20°C benyttet, mens april er gitt middelverdien.

For de målesteder som ikke ligger ved trafikklyskø er det valgt å gå inn på kurven for 0.6 m/s^2 akselerasjon. I trafikklyskø er middelhastigheten satt lik 15 km/t , og akselerasjonen 1.2 m/s^2 (Torggt, Langgt.). Ved målstedet O.H.gt. i Sarpsborg er det bedre flyt enn i bygater normalt. Tøyengaten i Oslo går i stigning, og det er derfor der valgt en akselerasjon på 1.2 m/s^2 . Dette resulterer i de utslippstall som er gitt i tabell 6.1.

Tabell 6.2 viser k_o for alle målesteder i Norge der nok data finns. Tallene representerer middelverdier på månedsbasis, og a er satt lik 1.0. Den verdien som er benyttet for vindhastigheten i hvert tilfelle er midlere hastighet om dagen, dvs. i trafikk-tiden da den overveiende del av utslippet skjer. En har ikke tatt hensyn til forskjeller i andelen tungtrafikk, fordi tallene presentert i tabell 5.1 viser at CO-utslippet fra tunge dieseltkjøretøy ikke er vesentlig forskjellig fra bensindrevne personbiler.

Serien av k_o -verdier fra januar til juli på Øvre Bakklandet viser ingen spesiell trend, når en ser bort fra juli. Dette tyder på at en har tatt hensyn til de viktigste faktorer som gir en års-tidsvariasjon i forurensningen, nemlig vindhastigheten og middel-utslippet. Juli måned representerer ferietid, med lavere frekvens av kådannelse og derved mindre utslipp enn det en har for sommeren ellers for Bakklandet.

Tabell 6.1: Estimerte midlere utslippstall.

Målestedsnavn	Middelhastighet km/t	Akseler. m/s ²	Midlere utslipp, mg/m ³ kjt.		
			jan-mar	apr	mai-aug.
Rådhusgt., Oslo	30	0.6	41	36	31
Torggt., Oslo	15	1.2	91	86	81
Tøyengt., Oslo	25	1.2	67	57	48
Øvre Bakklandet, Trondheim	30	0.6	41	36	31
Storgt. Lillehammer	30	0.6	41	36	31
Strandgt., Bergen	30	0.6	41	36	31
O.H.gt., Sarpsborg	40	0-0.6	28	24	19
Langgt., Holmestrand	15	1.2	91	86	81

Tabell 6.2: Beregnete k_2 -verdier.

Målested	jan	feb	mar	apr	mai	jun	jul	aug
Rådhusgt 74			4.6	5.4		9.2		
" 75	11.0	10.4						
" 79	9.3	9.0						
Bakklandet 78	14.9	13.9	14.4	16.5	15.0	13.8	11.3	
Søndre 78				20.5				
Storgt 78	10.0	10.5				26.5		
Strandgt 78	24.3		28.1	31.7	28.2			
O.H.gt 78	16.8		13.3		12.8			
Holmestrand 74								4.2
Torggt 74/75					14.7			
Tøyengt 74		13.7						

I Rådhusgaten ligger verdiene for mars og april 1974 vesentlig lavere enn i de øvrige månedene. En har ikke funnet en rimelig forklaring på dette.

Ved Strandgaten i Bergen ble vindmålingene foretatt et par kilometer unna målestasjonen i gaten. Vindmålingene ble foretatt i ca 45 meters høyde over bakken, på taket av en høy bygning i område med spredt bebyggelse. Det er sannsynlig at vindhastigheten målt slik var en del høyere enn den var 10 m over taket i Strandgaten. k_o -tallene for Strandgaten i tabell 6.1 ligger derfor noe for høyt.

For Storgaten i Lillehammer ligger tallet for juni vesentlig høyere enn for vinteren. Juni betyr turisttrafikk i Lillehammer, med økning i trafikketttheten og kødannelser. Dette betyr at sommerutslippstallet for Storgaten er estimert for lavt. Den lave k_o -verdien i juli på Bakklandet og den høye verdien i juni i Storgaten viser hvor følsomt utslippstallet QB er for endringer i trafikkavviklingsforholdene.

I figur 6.1 er middelverdien av k_o (med \underline{a} satt lik 1.0) for hvert målesteds plottet som funksjon av avstanden fra det kryss som ligger i retningen mot overveiende vindretning. Det viser seg at for de fleste målestedene er overveiende vindretning langs gaten. Et unntak er O.H.gt i Sarpsborg, der overveiende retning er på tvers av gaten. Målestedet ligger her omtrent midt på kvartalet, og halve kvartallengden er her brukt i figuren som avstand til nærmeste kryss.

Figuren viser en ganske entydig sammenheng mellom k_o og avstand fra krysset i retning mot overveiende vindretning. Det sannsynliggjør at det er denne faktor som forklarer den forskjell mellom målestedene som tallene i tabell 7.1 gir.

Følgende kommentarer skal knyttes til plottet:

Målestedet i Langgaten i Holmestrand lå bare 15 meter fra inngangen til kvartalet. Fra den retning blåser også vanligvis vinden.

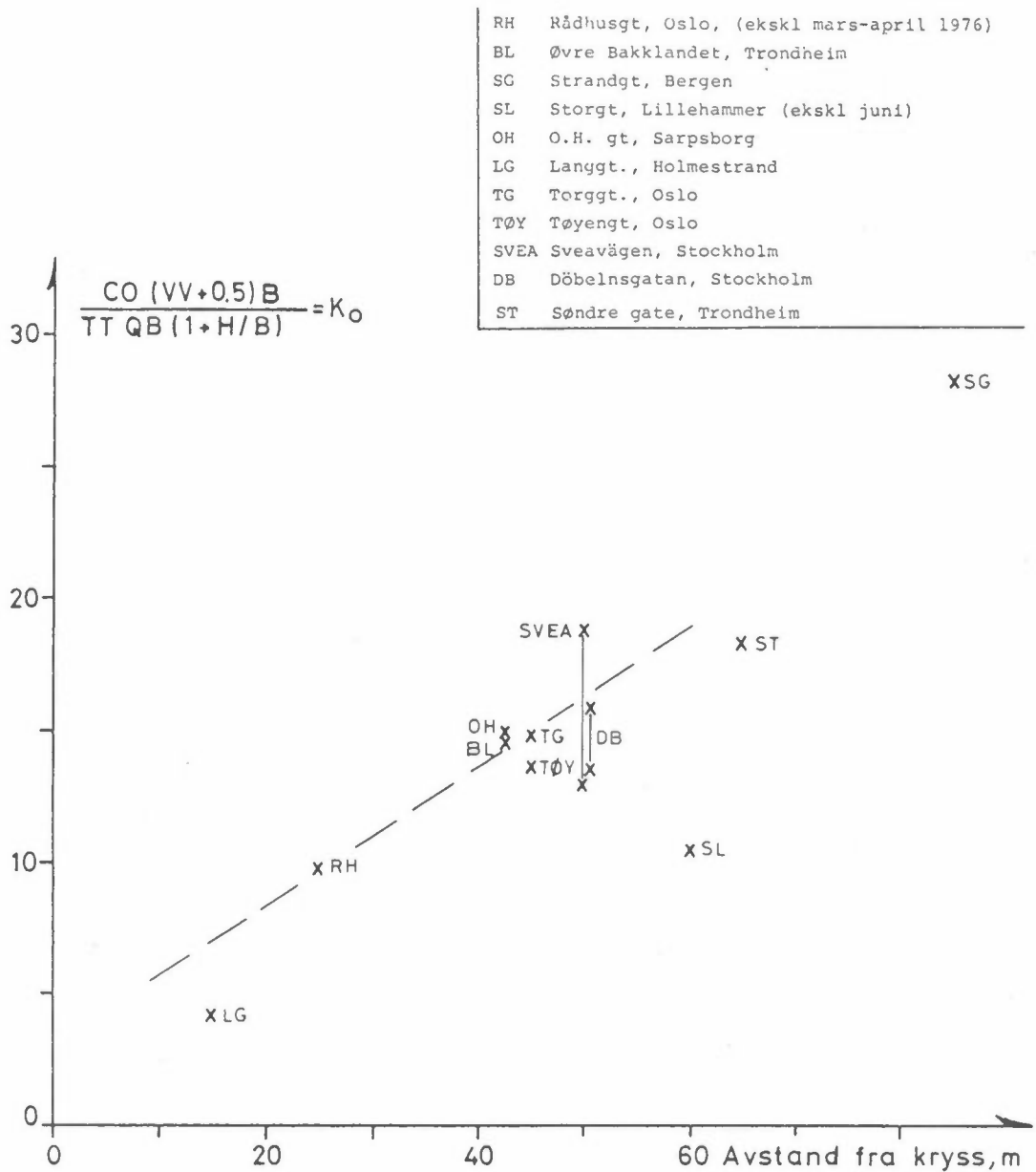
Kryssende vei er meget bred, ca 30 meter, noe som fører til god utlufting ved inngangen til kvartalet, der stasjonen er plassert. For et mer normalt kryss, slik det er ved de andre målesteder, ville k_o for LG ligge en del høyere i figuren. Analyse av målingene i Strandgaten i Bergen tyder på at det har vært spesielle forhold ved dette målestedet som medfører at konsentrasjonen av CO ligger høyere enn det utsippet fra trafikk tilsier samtidig som vindmålingene sannsynligvis overvurderte vindstyrken noe, som kommentert ovenfor. k_o -verdien for SG ligger derfor en del for høyt.

I Storgaten i Lillehammer var luftinntaket til CO-måleren plassert ved en gjennomgående kjøretunnel gjennom fasaderekken. Dette gir bedre spredning der enn ved en tett fasaderekke, og forklarer hvorfor punktet ligger lavt i forhold til en antatt kurve gjennom de andre punktene.

SF₆-undersøkelsene i Rådhusgaten underbygger det som figur 6.1 antyder, nemlig en midlere oppbygging av konsentrasjonen langs kvartalet i hoved vindretningen. Dette er beskrevet i seksjon 1.7 i vedlegg 2. SF₆-analysene antyder at om man i Rådhusgaten flytter seg fra 25 meter til 50 fra krysset med Kirkegaten, vil konsentrasjonen øke med anslagsvis 35-70%, basert på resultatet av tre tester. Dette stemmer godt overens med den antydete kurves helling i figur 6.1.

Intuitivt vil en tenke seg en oppbygging av konsentrasjonen langs kvartalet som er lineær til å begynne med, men økningen vil bli mindre og mindre og konsentrasjonen gå mot en konstant verdi svært langt inn i kvartalet. Figur 6.1 antyder at oppbygningen er lineær forbi de første 50-60 meter av et typisk bygatekvartal i Norge.

En har også tatt med data fra to gater i Stockholm i figuren, Sveavägen og Döbelnsgatan. For de to gatene er midlere utsipp satt lik 31 mg/m•kjøretøy, basert på tatt gitt i (2).



Figur 6.1: k_o plottet som funksjon av avstand fra kryss i retning mot overveiende vindretning.

Øvre punkt tilsvarer CO-konsentrasjonen på lesiden av gaten, nedre punkt vindsiden. Målepunktene lå nær midt på det 100 meter lange kvartalet. En ser at de normaliserte verdiene fra disse gatene stemmer godt overens med de norske verdiene.

7 BEREGNINGSMODELL FOR GATEROM

7.1 Forslag til beregningsmodell

Stanford-modellens beskrivelse av utluftingen av et gaterom går ut på at vinden over tak setter opp en virvelbevegelse i gaterommet, når den har en vesentlig komponent på tvers av gateretningen. Denne beskrivelsen gir høyere konsentrasjoner på lesiden enn på vindsiden. Formlene for beregning av konsentrasjonene er gitt i kapittel 3.

Etter en slik beskrivelse vil ikke fasadehøyden ha noen betydning for forurensningen på lesiden, fordi denne da kun blir bestemt av transportavstanden fra utsippet til det punkt en betrakter. Beskrivelsen tar ikke spesifikt hensyn til avstanden for kryssende gater. Dette kan bygges inn i k-faktoren, på en slik måte at ΔC_L for eksempel representerer konsentrasjonen midt på kvartalslengden.

Dataene fra Rådhusgaten i Oslo og Øvre Baklandet i Trondheim viste at forholdet mellom lesiden og vindsiden ikke var som prediktert av Stanford-modellen. (Dette er fremstilt i figurene 1.1-1.5 og kommentert i seksjon 1.2 i vedlegg 2). I Rådhusgaten er høyde/bredde-forholdet lik 1.5 og slik at forutsetningene for Stanfordmodellen skulle holde. I Øvre Baklandet er H/B-forholdet 0.5, altså lavere fasadehøyder enn det Stanford-modellen tidligere er testet for. I øvre Baklandet slår vinden sannsynligvis ned på lesiden av gaterommet.

Rådhusgatens gaterom er ganske likt Döbelnsgatans i Stockholm, der Stanford-modellen er testet og funnet å beskrive forholdene ganske godt (2). Begge er enveiskjørte gater, men trafikken i Rådhusgaten er ca. 2.5 ganger høyere. Trafikken i Rådhusgaten setter opp en vind i bakkesjiktet av størrelsesordenen 1-2 m/s (målt 3 meter over gaten), alltid i retning med trafikkstrømmen. Transporten langs gaten i bakkesjiktet er med andre ord såpass rask at en tenkt virvelbevegelse på tvers av tverrsnittet vil bli sterkt fortegnet. Innflytelsen av utluftingen ved krysset vil få virkning ganske langt inn i kvartalet. Dette er muligens årsaken til forskjellen i resultatene fra Rådhusgaten og Döbelnsgatan. Målingene i Rådhusgaten er gjort ca. 25 m fra kryss, i Döbelnsgatan ca. 50 meter fra kryss.

Stanford-modellen krever forutsetninger som ikke alltid er oppfylt i bygater i Norge. Fasadehøyder er ofte lavere enn gateromsbredden, og enveiskjørte gater er ikke uvanlig.

SF₆-eksperimentene i Rådhusgata tyder på at man der ofte ikke har en entydig konsentrasjonsforskjell mellom de to gatesidene.

På bakgrunn av disse resultater, har man formulert følgende modell for utluftingen av et gaterom:

Utluftingen av gaterommet betraktes i hovedsak som en turbulent utveksling mellom gaterommets forurensede luft, og den rene luften som finnes over tak. Utvekslingen skjer i hovedsak i grensesnittet mellom gaterom og området over tak. Turbulensen i gatenivå bestemmes først og fremst av bilturbulensen, med en turbulent utvekslingskoeffisient, K_B (m^2/s). Turbulensen over tak er atmosfæreturbulensen med utvekslingsfaktor K_A . Det antas en lineær avhengighet av turbulensen med høyden fra K_B ved bakken til K_A over tak.

Basert på kravet om en vertikal forurensningsfluks uavhengig av høyden, gir denne betraktningsmåten følgende uttrykk for bakke-konsentrasjonen, C_B :

$$C_B \propto \frac{Q}{(u+u_o) \cdot B} \left[\frac{1}{k_2} + \frac{H}{B} \cdot f(K_A, K_B, u, B) \right]$$

hvor u er vindstyrken over tak

u_o er en faktor bestemt av K_A og B

k_2 bestemmer utvekslingen i snittet gaterom/tak

En ser at uttrykket har tilnærmet samme form som C på side 26. Tilpasningen mellom de to uttrykkene avhenger av hvilke verdier man gir u_o , k_2 , K_A og K_B .

Basert på dette, og på resultatet av sammendraget av CO-målinger i Norge (formelen på side 26), kan beregningsformelen gis følgende form:

$$\Delta C = \frac{k_o Q (1+a \cdot H/B)}{(VV+0.5) B} \cdot f(x) \cdot g(z)$$

hvor ΔC er bidraget fra biltrafikken i gata til forurensningskonsentrasjon over fortau, i mg/m^3

k_o er en dimensjonsløs tilpasningskoeffisient

Q er utsippet fra biltrafikken i gaten i mg/ms

VV er vindhastighet over tak i m/s

H er fasadehøyden i m

B er gateromsbredden i m

a er en konstant med verdi mellom 0 og 1

$f(x)$ er konsentrasjonens funksjon av posisjonen i forhold til kryss

$g(z)$ er konsentrasjonens funksjon av høyden over gaten.

Utsippet Q må estimeres, som beskrevet i kapittel 5, fra data for trafikkettethet, andel av ulike kjøretøytyper og middelutsipp pr. kjøretøy i gata en betrakter for hver kjøretøytype. Det må også tas hensyn til lufttemperaturen og motortemperaturen (kaldstart, etc.).

k_o kan i prinsippet gis ulike verdier som gir tilpasning mellom målinger og beregninger. Figur 6.1 gir antydning om i hvilket område k_o ligger. Når en tar utgangspunkt i middelverdier av forurensning, utslipps og vindhastighet over lengre tid (måned), som figur 6.1 er basert på, ligger k_o -verdiene for de ulike målesteder innen området 10-40, når a er satt lik 1.0.

Verdien av konstanten a er ikke godt bestemt fra datamaterialet som har vært tilgjengelig (se kap. 1.7 i vedlegg 2, Del III). Et mer omfattende materiale er nødvendig.

En ser av figur 6.1 at resultatene fra Sveavägen og Döbelnsgatan i Stockholm passer godt inn med resultatene fra de norske målestedene. Dette viser at når en betrakter middelverdien av forurensning i gaterom, er det samsvar mellom det uttrykket figur 6.1 er basert på, og Stanford-modellen.

I figur 6.1 er det tatt hensyn til vindretningsfordelingen over tak, kun ved at dataene er plottet ved avstanden mellom målepunktet og det kryss som ligger mot overveiende vindretning.

I Rådhusgaten, Øvre Baklandet, Strandgaten og Langgaten er overveiende vindretning langs gaten fra en retning. I de øvrige gatene, der hovedvindretningene enten er på tvers av gaten eller omrent like hyppig i begge gateretninger (Storgaten, O.H.gaten, Søndre gate april) er dataene plottet ved halve kvartalslengden.

Figuren viser da at denne betraktningsmåten gir samsvar i datamaterialet. Bestemmelsen av k_o kan baseres på figur 6.1.

k_o er tilnærmet lik 15 for den gruppe av punkter som ligger ved avstander 40-50 meter fra kryss. Alle disse målesteder lå nær midt på kvartalet. Når k_o er lik 15 og $f(x)$ og $f(z)$ begge settes lik 1.0, gir uttrykket for ΔC på side 34 en predikert verdi for forurensningen midt på et bygatekvartal av lengde 80-100 m, i ca. 2.5 meters høyde. Denne forurensningsverdi er ikke relatert til gateside, men representerer en middelverdi over fortau for begge gatesider.

Hvis man i tillegg vil skille mellom gatesider, eller vil prediktere forurensningsverdien på den gatesiden som har høyeste konsentrasjon, må k_o modifiseres ytterligere.

I gaterom der det er rimelig å anta at Stanford-modellen holder, kan k_o modifiseres på bakgrunn av Stanford-modellens predikerte forskjell mellom leside og vindside. I andre typer gaterom er datamaterialet som en kan basere en modifikasjon av k_o på, svært begrenset.

Funksjonen $f(x)$ må gis ulike verdier avhengig av hovedvindretningen:

$$f_1(x) = 1.0 \pm 0.25 \frac{L - L_o}{L_o} ; \text{ hovedvindretning i trafiktiden på tvers av gate-retningen}$$
$$f_2(x) = f_1(x) (1.0 - 0.016 \cdot x) \quad ; \text{ hovedvindretning i trafikk-tiden langs gateretningen i en retning.}$$

$0 < x^1 < L/2$

L er kvartalets lengde, L_o er ca lik 100 m, x^1 er avstanden fra midten av kvartalet til et punkt i retning mot hovedvindretningen.

En har ikke data for å anslå forløpet av $f_2(x)$ for $x^1 > L/2$.

Virkningen av kryss og trafikklys på utslippet langs kvartalet kommer i tillegg til den spredningsmessige variasjon som $f(x)$ skal beskrive. Utslippsvariasjonen må tas hensyn til ved valg av verdier for Q .

Funksjonen $g(z)$ foreslås, på basis av diskusjonen i seksjon 1.8 i vedlegg 2, gitt samme form som i Stanford-modellens vindside-formel:

$$g(z) = 1 - z/H$$

Z er høyden over gaten og H fasadehøyden. Dette uttrykket har gyldighet først og fremst i den indre del av kvartalet som ligger noe unna kryssenes innflytelse.

Uttrykket for ΔC kan anvendes til å beregne middelverdier på tidsskalaer fra 1 time til måned, når en benytter representative verdier for vindstyrke, trafikkintensitet og midlere utsipp.

7.2 Prediksjon av forurensning ved hjelp av modellen

7.2.1 Middelverdier

Uttrykket for ΔC gir predikerte verdier av forurensninger i et gaterom, som funksjon av trafikk, vind, gaterom og posisjon i gaterommet. Den predikerte verdi gir en midlere verdi for begge gatesider.

Ved å velge $k_o = 15$, $f(x) = f(z) = 1.0$, definerer man en "normalsituasjon". ΔC gir da forurensningen i snittet midt på et ca 100 meter langt kvartal, i en høyde ca. 2.5 meter over bakken.

Ved å benytte estimatorer av utsipp for NO_x , bly, små partikler og ikke-reaktive organiske stoffer, er det rimelig å tro, basert på resultatene i kapittel 2 i vedlegg 2, at uttrykket for ΔC også gir gode estimatorer av forurensningsnivået for slike komponenter.

NO_2 er en sekundær komponent, oksydert fra NO . Uttrykket for ΔC kan også benyttes til å prediktere NO_2 -bidraget i gaten fra biltrafikk, basert på en gitt faktor for forholdet mellom NO_2 og NO_x i gater. Det foreligger flere måleserier som gir grunnlag for å estimere denne faktoren. Det vil imidlertid være ønskelig med ytterligere undersøkelser for å forbedre muligheten til å prediktere NO_2 -konsentrasjonen.

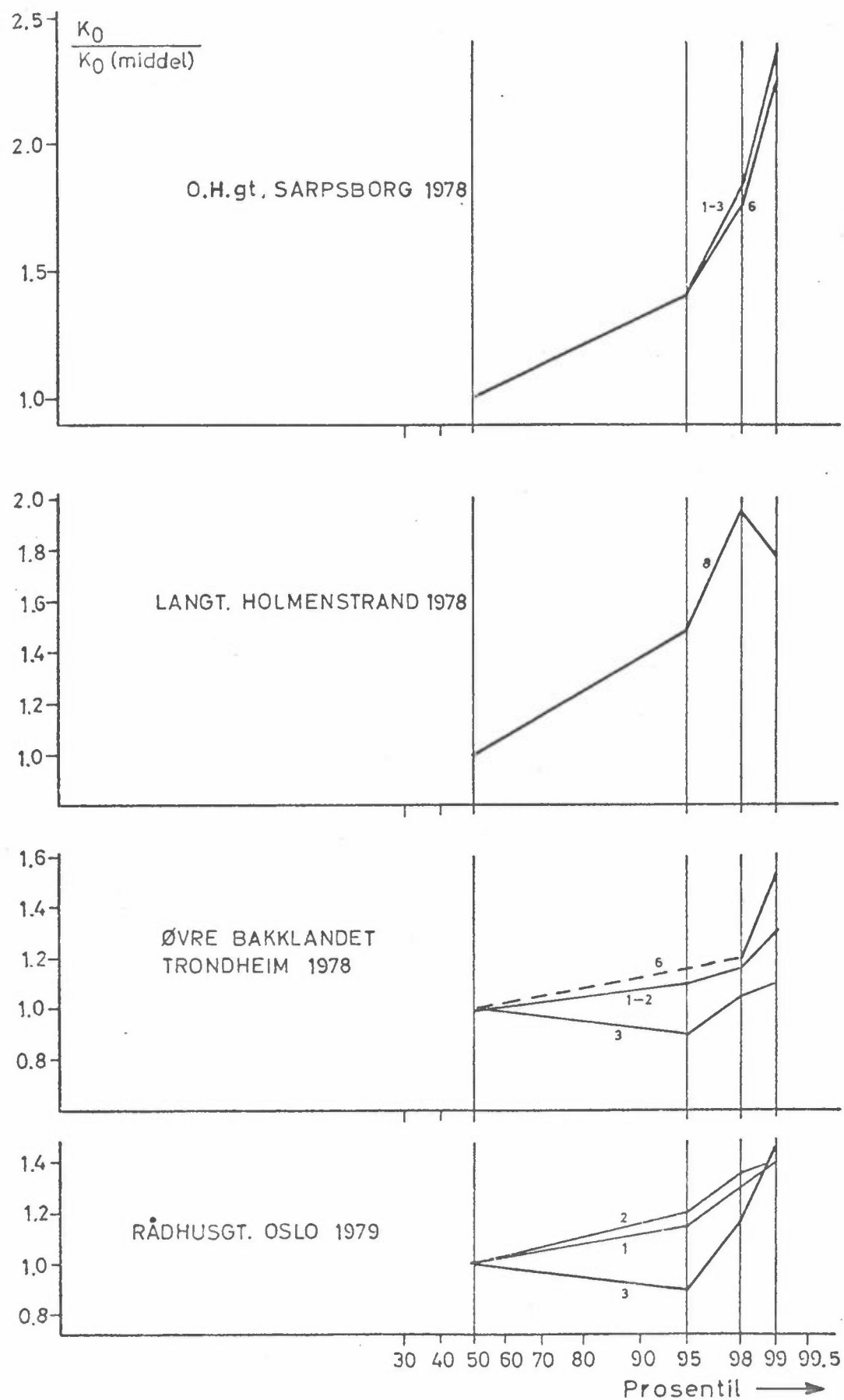
7.2.2 Ekstremverdier

Mulighetene for å prediktere ved hvilken trafikkbelastning og vindstyrke ekstremverdier av forurensning opptrer ble diskutert i seksjon 1.9 i vedlegg 2.

Uttrykket for ΔC benyttes nå til å sammenligne målte ekstremprosentiler av CO med beregnede, basert på de verdier av VV og TT som er gitt i tabell 1.2 i vedlegg 2. Beregningen utføres slik at en gir k_{O} den verdi som gir tilpassing mellom målinger og beregninger.

Resultatet er vist i figur 7.1, hvor k_{O} -verdien for de enkelte prosentiler, regnet i forhold til k_{O} -verdien for middelverdien av CO, er avsatt langs ordinaten (a er satt lik 1.0). En har ved beregningen benyttet de middelverdier for utslippet, QB, som er gitt i tabell 6.3, for alle prosentiler ved hvert målested. Figur 7.1 viser at dette ikke er i samsvar med virkeligheten. En ser at den k_{O} som gir tilpasning mellom målinger og beregninger av CO er større, jo høyere prosentil det gjelder. Dette har da egentlig sammenheng med at utslippet pr. kjøretøy er høyere jo høyere prosentil av forurensning det gjelder. Figur 7.1 reflekterer det som en ser i figurene 1.12-1.14 i vedlegg 2. Der er CO, normalisert med hensyn til vind og trafikketthet, plottet mot trafikketthet. De figurene viser at spesielt i Langgaten, Holmestrand og i Øvre Baklandet, Trondheim i juni, øker det normaliserte CO-nivået i gaterommet med trafikkettheten, på grunn av økt midlere utslipp ved økende trafikketthet.

Figur 7.1 antyder at i Rådhusgaten var CO-utslippet pr. kjøretøy, QB, ca. 40% høyere i de tilfeller som ga 99-prosentilen



Figur 7.1: Relative k_0 -verdier (relativt til k_0 for 50-prosentilen) som gir tilpassning mellom målinger og beregninger.
(Tall på linjene - månedsnr.).

av forurensning enn det var i middel for hele perioden. I Øvre Bakklandet var tilsvarende øking 10-55%, minst i mars, høyest i juni. I Langgaten var økningen ca 70%, og i O.H.gaten ca 140%. Erfaringsmessig er trafikkavviklingen under kødannelser mye dårligere i O.H.gaten og i Langgaten enn i Rådhusgaten og Øvre Bakklandet. Dette sees også av figurene 1.12-1.14 (vedlegg 2). Dette viser at man for den enkelte gate må kjenne middelutslippet fra trafikken under typiske rush-tidsforhold, for å kunne prediktere ekstremprosentiler. Samtidig må man kunne estimere typiske verdier av lave vindstyrker for de perioder ved en gate da en har dårligst trafikkavvikling, dvs. morgen og ettermiddag.

Ekstreme 8-timers middelverdier av CO vil også sannsynligvis la seg estimere basert på uttrykket for ΔC . Det er ved hvert målested svært god sammenheng mellom døgnverdi av CO og dagens maksimale 8-timers middelverdi. Likeledes er det god sammenheng mellom dagens maksimale 1-times og 8-timers middelverdier. Et estimat av middelverdi eller ekstreme timesmiddelverdier av CO gir derfor også grunnlag for å gi et estimat av middel- og ekstrem-verdiene av 8-timers middelverdi av CO innenfor av gitt periode.

Det er også av interesse å kunne estimere ekstremverdiene av NO_2 . Til det er det norske datamaterialet foreløpig ikke omfattende nok. Overvåkingen av biltrafikkforurensninger i St.Olavs gate i Oslo, som startet i 1979, betyr en vesentlig utvidelse av data-grunnlaget.

Våre data indikerer at basert på riktige estimater av utslip og vind under perioder med ekstremverdier av forurensning, vil uttrykket for ΔC gi god prediksjon også av ekstremprosentilene, ved bruk av den verdi for k_O som er utledet for middelverdier (som gitt i figur 6.1). For normalsituasjonen, definert i seksjon 7.2.1, er k_O nær lik 15, når a er satt lik 1.0.

7.3 Krav til inngangsdata for utslipp og meteorologi

Utslippsdata er behandlet i kapittel 5. Framstillingen her har vist i hvor stor grad utslippstall for CO og NO_x kan variere fra gate til gate, og med ulike trafikkavviklingsforhold til forskjellige tider av dagen. Det er klart at en god prediksjon av middelverdier og ekstremverdier av forurensning er sterkt avhengig av et godt estimat av utslippsfaktorer. Det må vurderes om den oversikten man har over utslippsfaktorenes variasjon med forskjellige forhold er tilstrekkelig til å gi regler for beregning av utslippsfaktorer i en gitt plansituasjon.

De meteorologiske data som inngår er vindhastighet og -retning over tak, samt lufttemperaturen. Ofte vil disse data være tilgjengelige i begrenset grad, som for eksempel observasjoner fra klimastasjoner i området.

Lufttemperaturen fra klimastasjoner vil ofte være et tilstrekkelig godt estimat for temperaturen nær trafikkårer i området rundt klimastasjonen. En estimert lufttemperatur som ligger innenfor $\pm 2-3^{\circ}\text{C}$ av den riktige, vil ikke gi betydelige feil i forurensningsestimatet. Vinddataene er viktigere. Windsyrken som inngår skal være et rimelig godt estimat av vindstyrken 10-20 m over tak i området ved trafikkåren. Bruk av vindobservasjoner fra nærliggende klimastasjoner kan gi betydelige feil i forurensningsestimatene. Lokale topografiske forhold kan ha stor innvirkning på vindhastigheten. Måleprogrammene ved Strandgaten i Bergen og Øvre Baklandet i Trondheim er eksempler på dette. Vinden ved klimastasjonen i Trondheim, Tyholt, er vesentlig høyere enn vinden i området ved Baklandet på grunn av topografiske effekter. Klimastasjonen ved Geofysisk institutt i Bergen registrerer vinden i for høyt nivå til at den er representativ for vinden 10-20 m over tak ved Strandgaten.

De samme forhold gjør seg gjeldende for vindretningen. Topografiske effekter kan føre til vesentlig vinddreining over relativt korte avstander, spesielt for lave vindstyrker som forurensningsmessig er de mest viktige.

Det kan utarbeides regler for å estimere vindhastigheter for beregning av forurensningens middel- og ekstrem-verdier. En må da skille mellom ulike typer klimasoner og topografi-klasser.

8 REFERANSER

- (1) Dabberdt, W.F.
Ludwig, F.L.
Johnson, W.B.
Validation and applications of an urban diffusion model for vehicular pollutants.
Atmos Environ., 7, 603-618 (1973).
- (2)
Bilavgaser i gatumiljö - modell och modelltest. Solna, Statens naturvårdsverk, 1977 (Statens naturvårdsverk. PM 891).
- (3) Georgii, H.-W.
Busch, E.
Weber, E.
Untersuchung über die zeitliche und räumliche Verteilung der Immisions-Konzentration des Kohlenmonoxid in Frankfurt am Main. Frankfurt a. M. 1967. (Institut für Meteorologie und Geophysik der Universität Frankfurt/Main. Berichte Nr 11).
- (4) Nicholson, S.E.
A pollution model for street-level air.
Atmos Environ., 9, 19-31 (1975).
- (5) Larssen, S.
Undersøkelser av luftforurensning fra biltrafikk i Norge.
Lillestrøm 1976. (NILU OR 10/77.)
- (6) Larssen, S.
Målinger av luftforurensninger i Oslo, januar-mars 1979.
Rådhusgaten-St.Hanshaugen,
Datarapport.
Lillestrøm 1980. (NILU OR 32/80.)
- (7) Larssen, S.
Luftforurensninger ved Drammensveien (E18) i Bærum kommune.
Lillestrøm 1977. (NILU OR 20/77.)

- (8) Larssen, S. Luftforurensninger fra biltrafikk i Langgaten i Holmestrand. Lillestrøm 1975. (NILU OR 11/75.)
- (9) Larssen, S. Luftforurensninger fra veitrafikk. Målinger i Trondheim, 1978. Lillestrøm 1979. (NILU OR 49/78.)
- (10) Larssen, S. Luftforurensninger fra veitrafikk. Målinger i Bergen, 1978. Lillestrøm 1979. (NILU OR 24/79.)
- (11) Larssen, S. Luftforurensninger fra veitrafikk. Målinger i Lillehammer, 1978. Lillestrøm 1979. (NILU OR 48/79.)
- (12) Larssen, S. Luftforurensninger fra veitrafikk. Målinger i Sarpsborg, 1978. Lillestrøm 1979. (NILU OR 37/79.)
- (13) Haugstuen, W. Utslipp fra kjøretøy. For-prosjekt. Bang, J.R. Oslo, Statens Teknologiske Institutt, 1980.
- (14) Bertilsson, T. Emissioner från personbilar vid olika belastningsfall vid körning inomhus och utomhus II. Solna, Statens naturvårdsverk, 1979. (Statens naturvårdsverk, PM 1135).
- (15) Byklum, K.B. Avgassutslipp fra brukte biler. Bang, J.R. En undersøkelse utført etter oppdrag fra Statens forurensningstilsyn. Oslo, Statens Teknologiske Institutt, 1980.
- (16) Statens Teknologiske Institutt Utslippsdata for ulike kjøretøygrupper etter kjøreprogram. Oslo 1980.
- (17) Energi, hälsa, miljö. Bilaga 1. Hälso- och miljöverkningar vid användning av fossila bränslen. Stockholm 1977. (Statens Offentliga utredningar. SOU 1977:68).

DEL II

BEREGNINGSMETODE FOR FORURENSNING
VED ÅPNE VEIER

DOKUMENTASJON

1 INNLEDNING

For å kontrollere og videreutvikle metodene som brukes til spredningsberegninger for bilavgasser ved en åpen motorvei, ble det utført sporstoffundersøkelser ved Hellerudsletta i Skedsmo kommune i perioden februar-mars 1979.

På bakgrunn av undersøkelser referert i litteraturen (1), (2), har en merket seg stor usikkerhet ved beregningsmetodene ved spredningsforhold som forekommer ofte i Norge om vinteren.

En tok derfor siktet på å utføre sporstoffforsøkene i situasjoner som var karakterisert av liten vind og inversjon. I slike situasjoner er det også nødvendig å vurdere virkningen på spredningsforholdene av turbulensen forårsaket av biltrafikken ved forskjellige kjørehastigheter. Området hvor målingene ble utført er vist i figur 1.

2 RESULTAT AV SPORSTOFFUNDERSØKELSENE

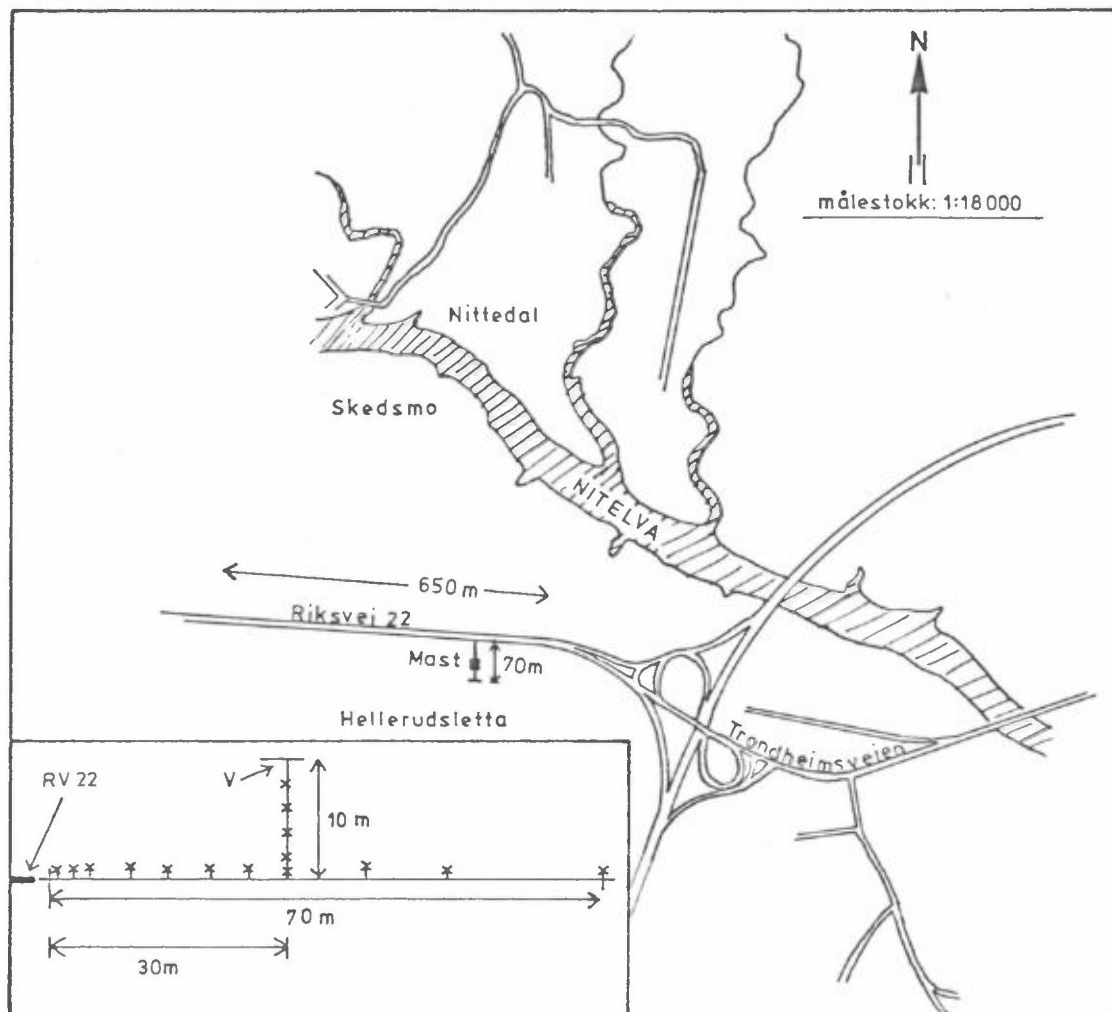
Utgangssdata for spredningsberegningene som ble registrert i de enkelte sporstoffeksperimentene er vist i tabell 1.

Resultatene av de enkelte sporstoffundersøkelsene er vist i figurene 2-8. I hver figur er avsatt

- a) SF_6 -konsentrasjoner som funksjon av avstanden fra vegkanten målt 1 m over bakken (hele linjer)
- b) Beregnede konsentrasjoner på grunnlag av estimert SF_6 -utslipp og registrerte spredningsforhold (stiplete linjer).
Beregninger er utført ved hjelp av HIWAY-modellen (1) og GM-modellen (2).

I enkelte situasjoner kan avvikene mellom beregnede og observerte verdier være betydelige. Avvikene kan skyldes:

- 1) Feil i utgangsdata som er benyttet i beregningene (utslippsdata og/eller data som beskriver spredningsforholdene).
- 2) Feil i konsentrasjonsmålingene.
- 3) Feil ved beregningsmetodene.



x : Prøvetaker for SF₆

v : Vindmåler på toppen av en 10 m høy mast

Figur 1: Kartskisse av området hvor sporstoffundersøkelsene ble utført.

Tabell 1: Utslipp/spredningsdata registrert ved sporstoffundersøkelsene på Hellerudsletta februar og mars 1979.

Dato-nr.	Tid-Q	T s/utsl.	U_B m/s	Q $\frac{\text{cm}^3 \text{SF}_6}{\text{min}}$	$\frac{dq}{dt} = \frac{Q}{UT}$ $10^{-3} \frac{\text{cm}^3 \text{SF}_6}{\text{s} \cdot \text{m}}$	Tid-M	U_{10} m/s	dd dag	$T_{8.5}$ °C	$T_{0.5}$ °C	U_{10m} m/s	U_{1m} m/s
13.2-1	0914-0929	47.4	16	300	6.6	0914-0929 0904	1.3	0-90		-7.8		
13.2-2	1027-1042	47.6	16	300	6.6	1030-1045 1100	3.0	30-90	-7.2	-7.0	1.7	1.7
16.2-1	1025-1040	93.6	14.5	620	7.6	1025-1040 1030 1100			-22.2	-22.9	0.65	0.5
15.3-1	1025-1040	44.0	17.5	620	13.4	1025-1040 1105	3.0	40	-17.4	-17.7	2.4	1.7
15.3-2	1145-1200	43.7	17.5	620	13.5	1145-1200	1.1	20			1.0	1.2
16.3-1	0935-0950	67.1	9.7	620	15.9	0935-0950 1015	2.2	30	-7.2	-7.8	2.0	1.0
16.3-2	1120-1135	69.7	9.7	620	15.2	1120-1135 1155	5.6	45	-7.2	-7.0	4.3	3.5

Tid-Q : Prøvetakingsperiode

t : Midlere tidsrom mellom hver gang utslippsbilen passerte i prøvetakingsperioden

U_B : Utslippsbilens midlere kjørehastighet forbi målestedet

Q : Utslippsintensitet avlest på flowmeter

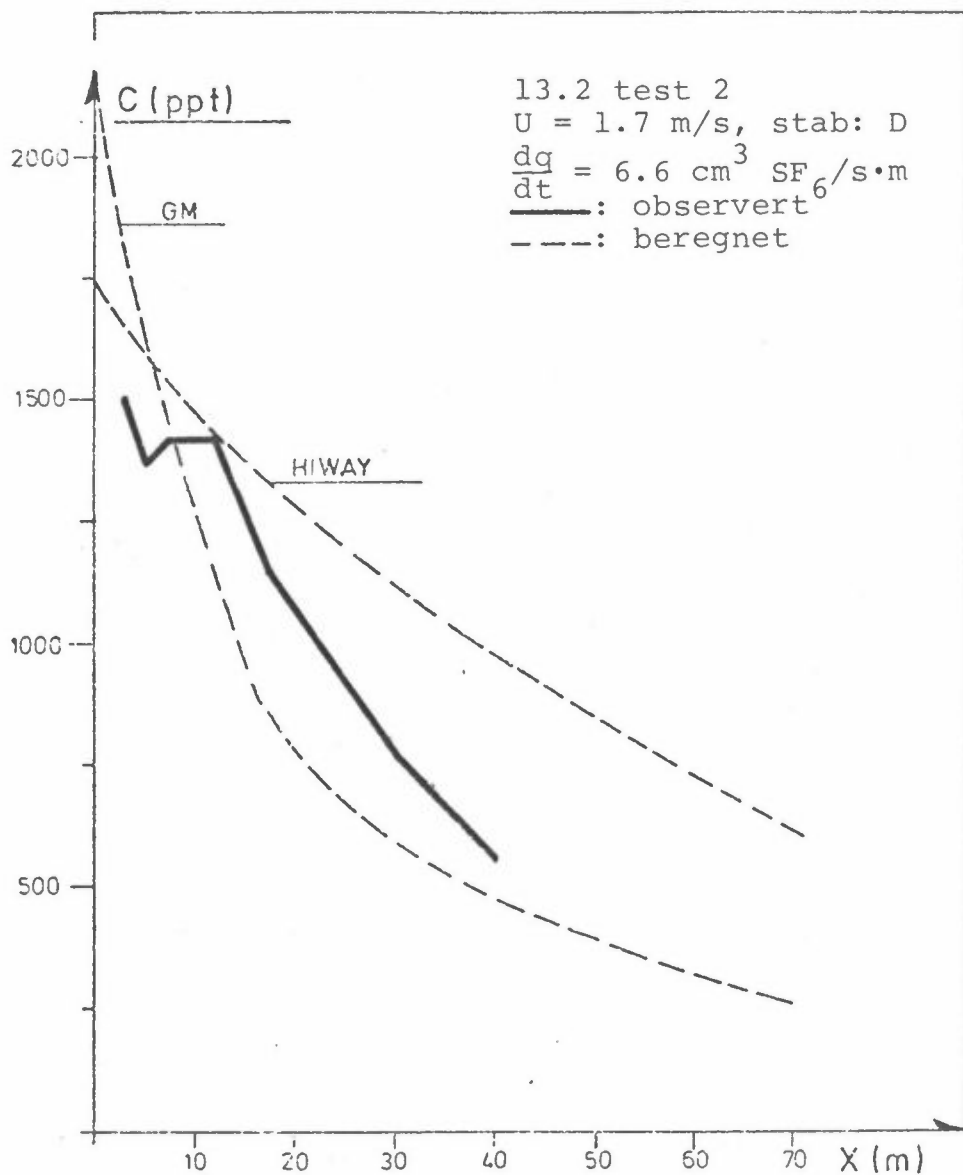
$\frac{dq}{dt}$: Linjekildestyrken som benyttes i spredningsberegningene.

Tid-M : Tid for meteorologiske observasjoner

U_{10} : Midlere vindhastighet 10 meter over bakken

dd : Vindretning. To tall angir variasjonsbredden i observasjonsperioden

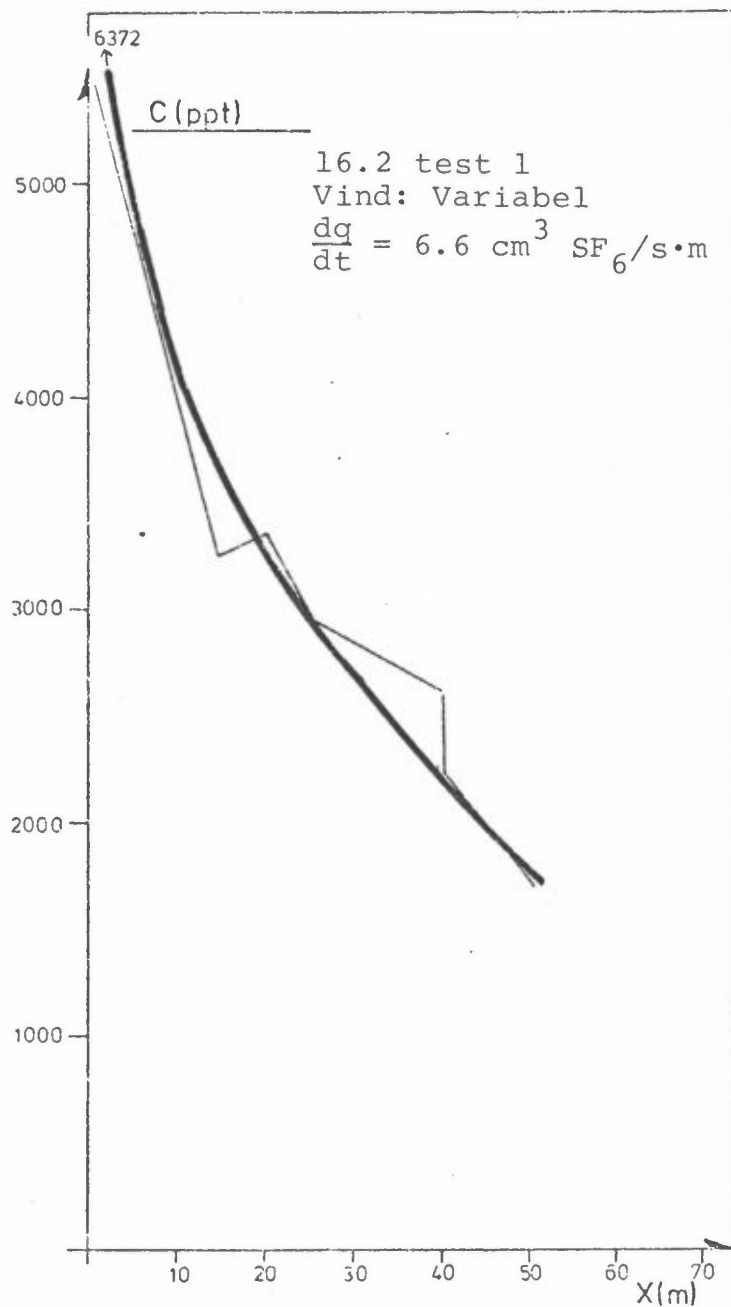
$T_{8.5}$: Temperatur



Figur 2: Observert og beregnet SF_6 -konsentrasjon som funksjon av avstanden fra vegkanten.

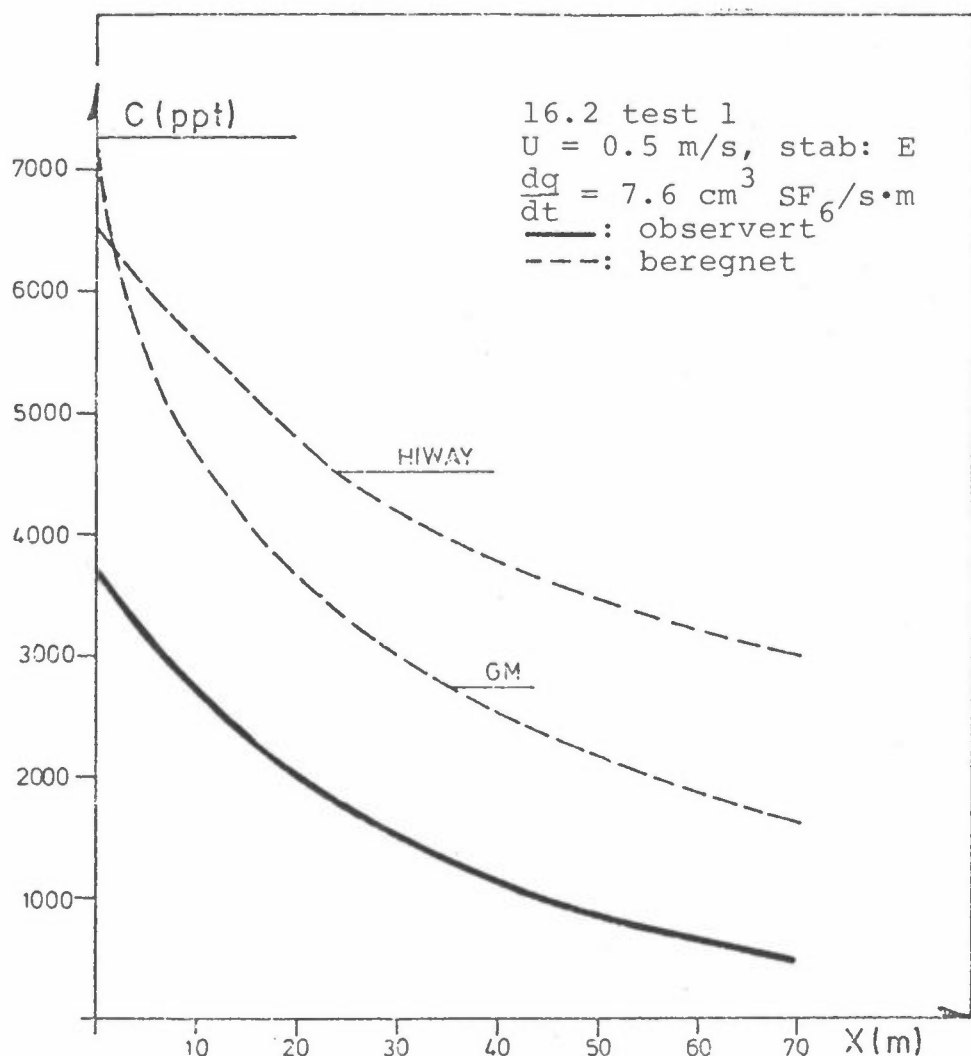
HIWAY : stiplet kurve er beregnet ved HIWAY-modellen
GM : " " " " " GM-modellen

Enhet : 1 ppt: 1 part per trillion: en del forurensning
er blandet med 10^{12} deler luft.



Figur 3: Observert SF₆-konsentrasjon som funksjon av avstanden fra veggkanten.

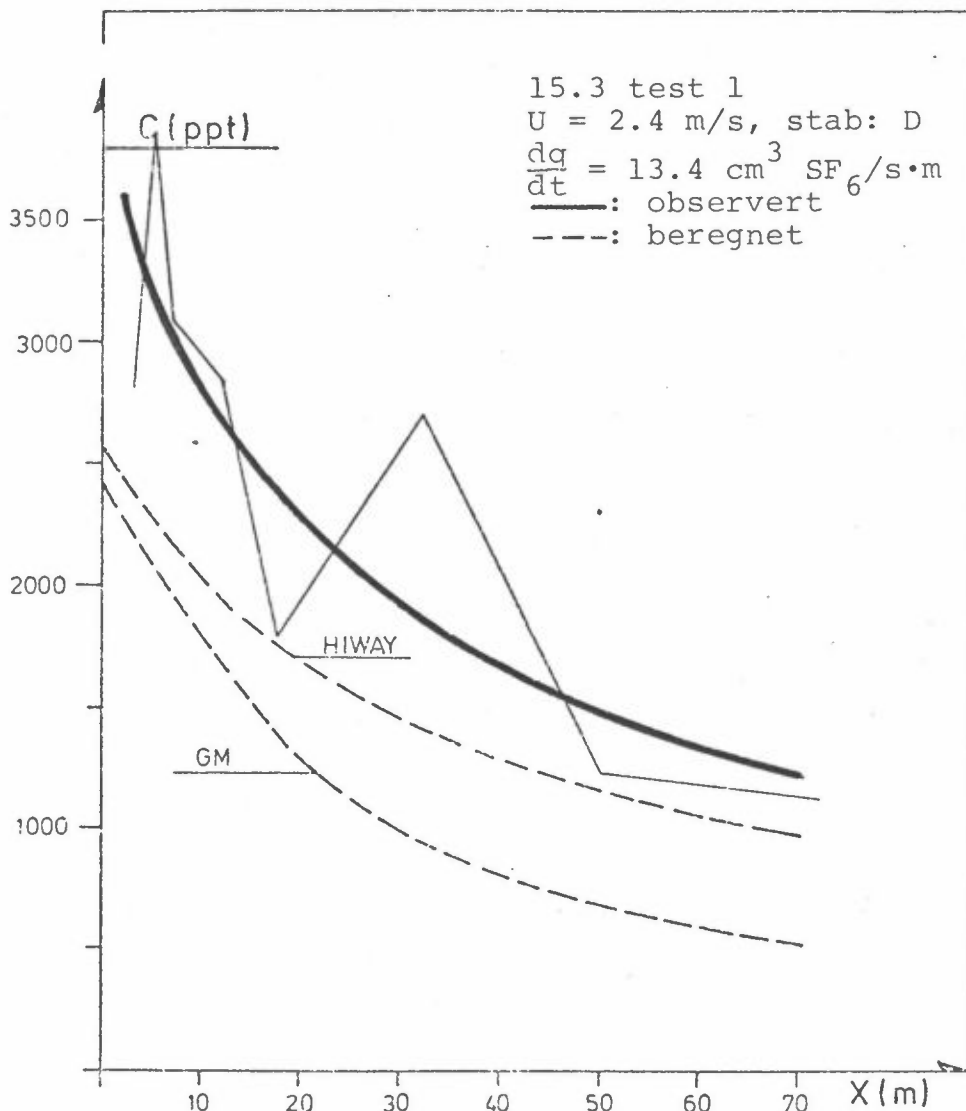
Enhet: 1 ppt: 1 part per trillion:
en del forurensning er blandet med 10^{12} deler luft.



Figur 4: Observeert og beregnet SF_6 -konsentrasjon som funksjon av avstanden fra veggkanten.

HIWAY : stiplet kurve er beregnet ved HIWAY-modellen
GM : " " " " " GM-modellen

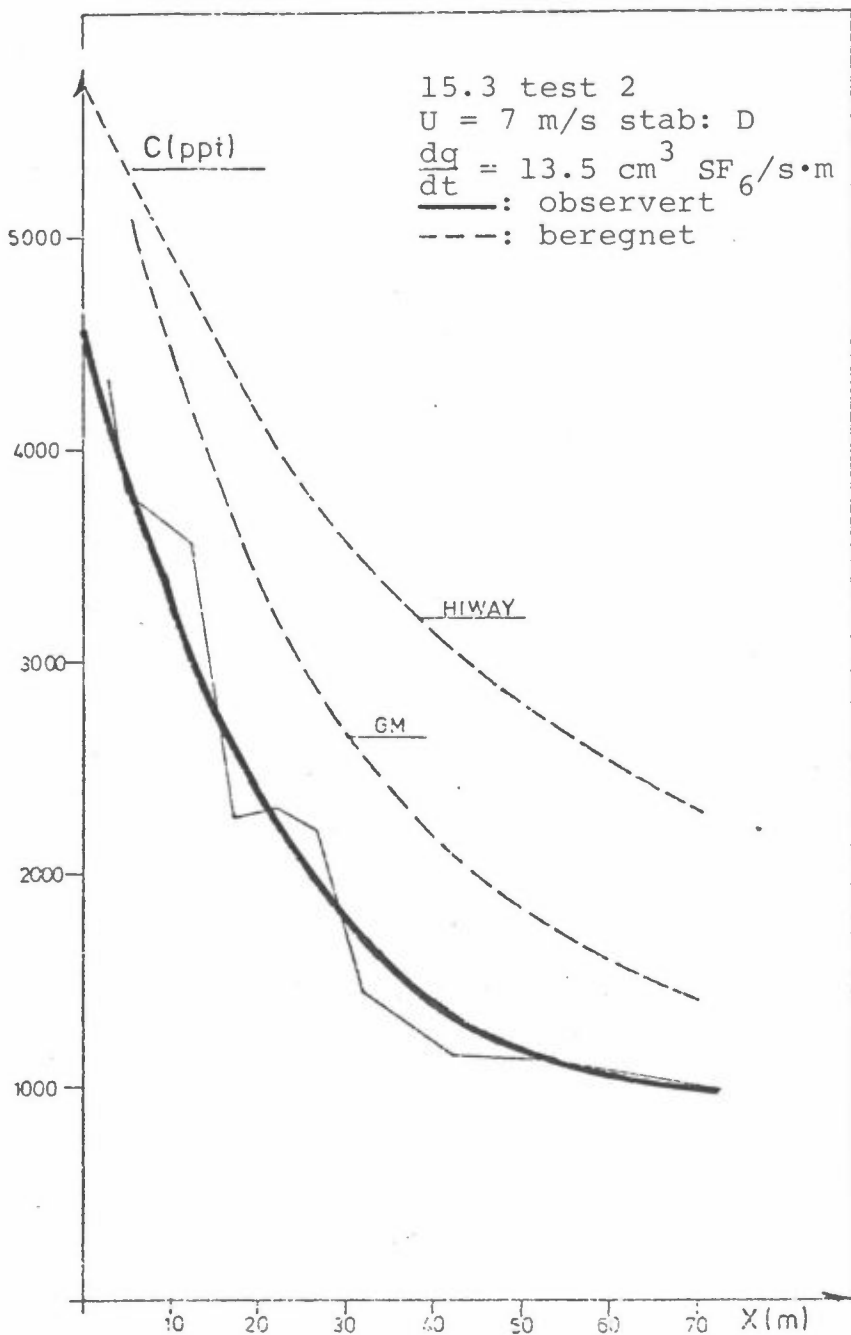
Enhet : 1 ppt: 1 part per trillion:
en del forurensning er blandet med 10^{12} deler luft.



Figur 5: Observeret og beregnet SF₆-konsentrasjon som funksjon av avstanden fra vegganten.

HIWAY: stiplet kurve er beregnet ved HIWAY-modellen
GM : " " " " " GM-modellen

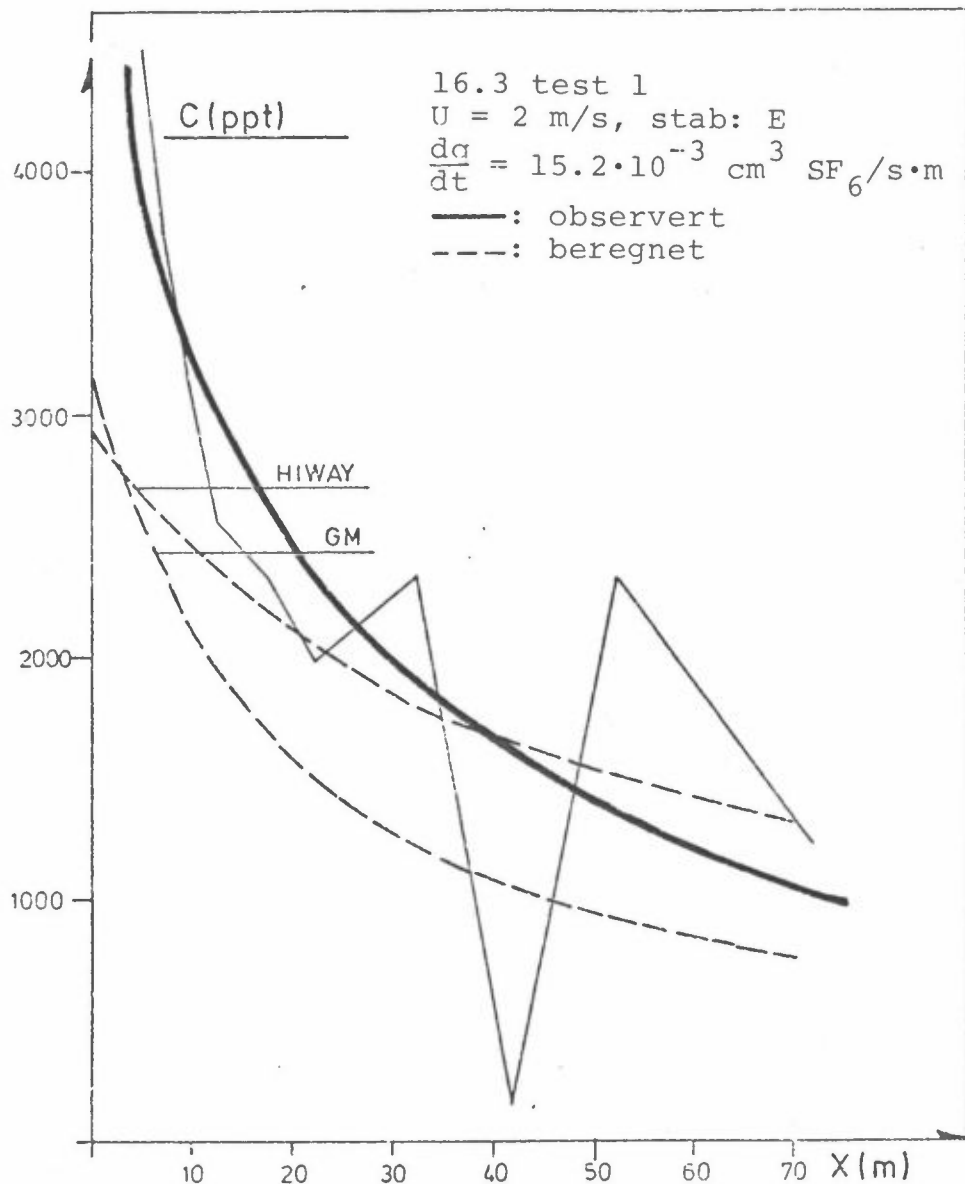
Enhet: 1 ppt: 1 part per trillion:
en del forurensning er blandet med 10^{12} deler luft.



Figur 6: Observeret og beregnet SF_6 -konsentrasjon som funksjon av avstanden fra veggkanten.

HIWAY: stiplet kurve er beregnet ved HIWAY-modellen
GM : " " " " " GM-modellen

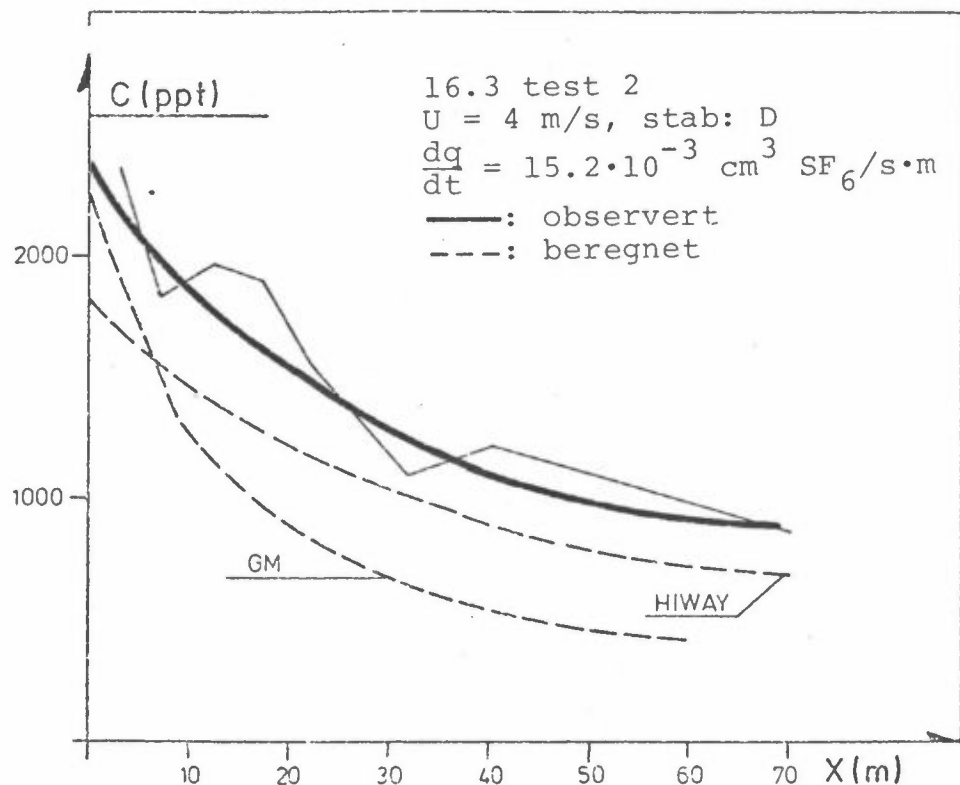
Enhett: 1 ppt: 1 part per trillion:
en del forurensning er blandet med 10^{12} deler luft.



Figur 7: Observert og beregnet SF_6 -konsentrasjon som funksjon av avstanden fra vegkanten.

HIWAY: stiplet kurve er beregnet ved HIWAY-modellen
GM : " " " " " GM-modellen

Enhet: 1 ppt: 1 part per trillion:
en del forurensning er blandet med 10^{12} deler luft.



Figur 8: Observert og beregnet SF_6 -konsentrasjon som funksjon av avstanden fra vegkanten.

HIWAY: stiplet kurve er beregnet ved HIWAY-modellen
GM : " " " " " GM -modellen

Enhet: 1 ppt: 1 part per trillion:
en del forurensning er blandet med 10^{12} deler luft.

Kommentarer vedrørende utslippsdata og meteorologiske data

Vertikalprofilet i 30 m - avstand fra veibanan er benyttet sammen med midlere vindobservasjoner i 10 m høyde til å estimere fluksen av SF₆ på tvers av veien. Dette fluks-estimatet er sammenlignet med utslippsmålingene i tabell 2.

Tabell 2: SF₆-utsippet beregnet ved fluksmålinger, Q₁ og ved målinger og utsipp, Q₂.

Test Dato-nr	Q ₁ $10^{-3} \frac{\text{cm}^3 \text{SF}_6}{\text{s} \cdot \text{m}}$	Q ₂ $10^{-3} \frac{\tilde{\text{cm}}^3 \text{SF}_6}{\text{s} \cdot \text{m}}$	k = Q ₂ /Q ₁
13.2-1	3.5	6.6	1.89
15.3-1	10.1	13.4	1.33
15.3-2	10.5	13.5	1.29
16.3-1	18.6	15.9	0.85
16.3-2	20.0	15.6	0.78

Det er vanskelig å si hva avviket skyldes. Vindhastigheten registrert i 10 m høyde, er dels benyttet til å estimere fluksen (fluksen er proporsjonal med vindhastigheten). Den benyttes også til å estimere konsentrasjonene ved beregningsmodellene (konsentrasjonen er omvendt proporsjonal med vindhastigheten).

Disse observasjonene kan delvis benyttes til å korrigere for det systematiske avviket mellom beregnede og observerte verdier. Det synes likevel som om beregningsmetodene gir for høye konsentrasjoner, særlig ved lave vinder.

Gradienten i konsentrasjonen med økende avstand fra veibanan er best i samsvar med GM-modellen ved svake vinder, HIWAY gir god beskrivelse ved sterke vinder.

Kommentarer vedrørende konsentrasjonemålinger

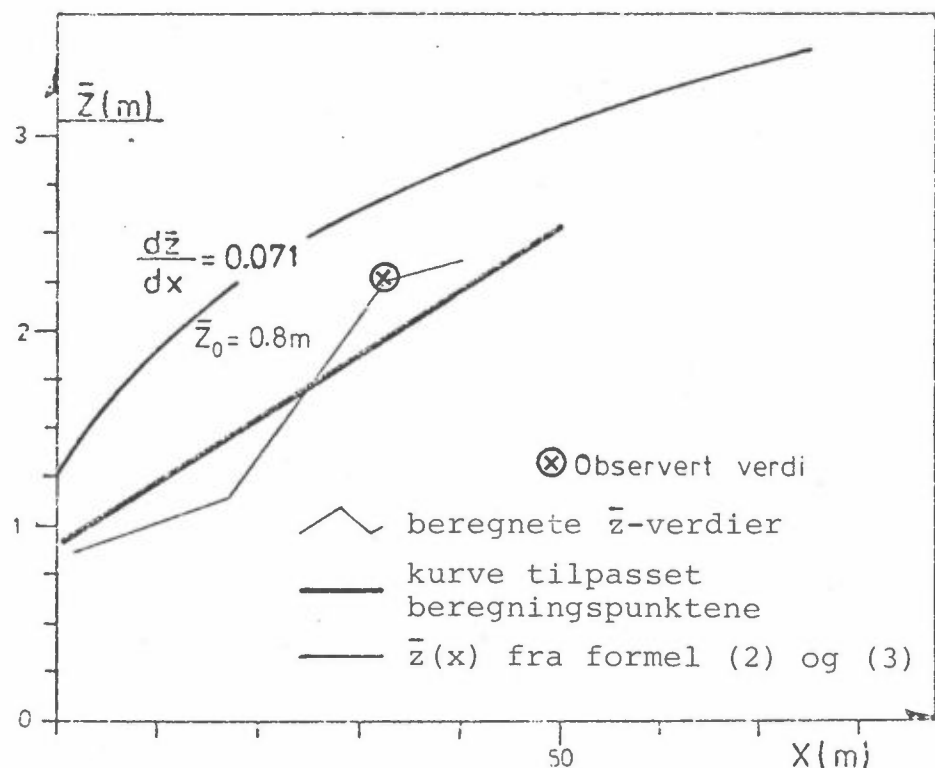
Ved gjennomføringen av sporstoffundersøkelsene var prøvetakingen problematisk ved lav temperatur. Målinger ble forkastet når teknisk svikt i prøvetakeren kunne påvises under forsøket. Forøvrig er alle målinger tatt med ved utarbeidelsen av figurene. Ved forsøket den 16.3. ble det tatt parallelprøver. I dette tilfellet fant en god overensstemmelse.

Kommentarer vedrørende beregningsmetoder

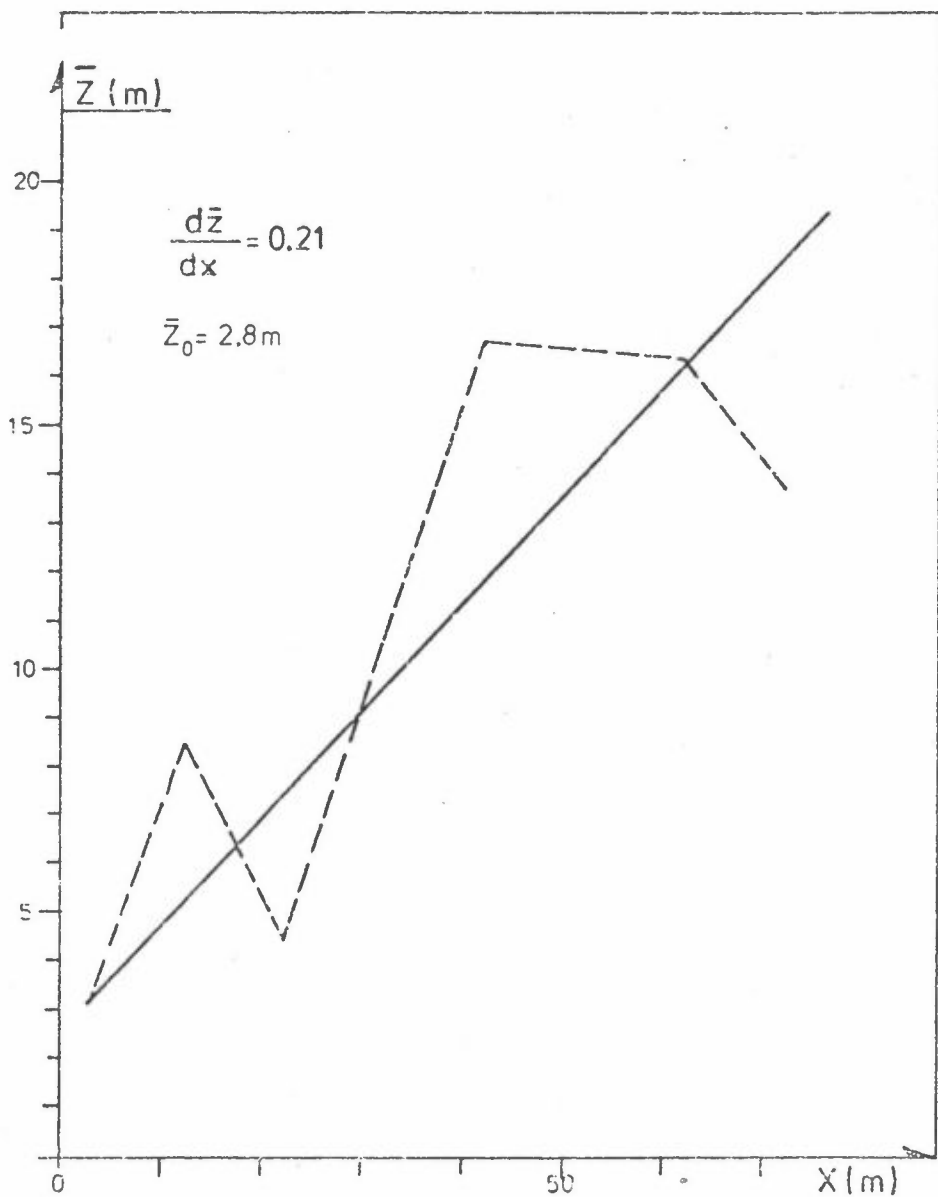
For å få oversikt over eventuelle feil ved beregningsmetodene har en også registrert vertikalfordelingen av SF₆-konsentrasjonen 30 m fra veikanten. Et teoretisk uttrykk for endringen med avstanden av fordelingens 1. moment (tyngdepunktet), er utviklet (6). I den teoretiske beskrivelsen har en innarbeidet virkningen av turbulensen som genereres av bilene ved forskjellige kjørehastigheter og virkningen av atmosfæreturbulensen. Atmosfæreturbulensen bestemmes på grunnlag av vind og temperaturvariasjoner med høyden, samt bakkens ruhet.

3 BESKRIVELSE AV VERTIKALSPREDNINGEN

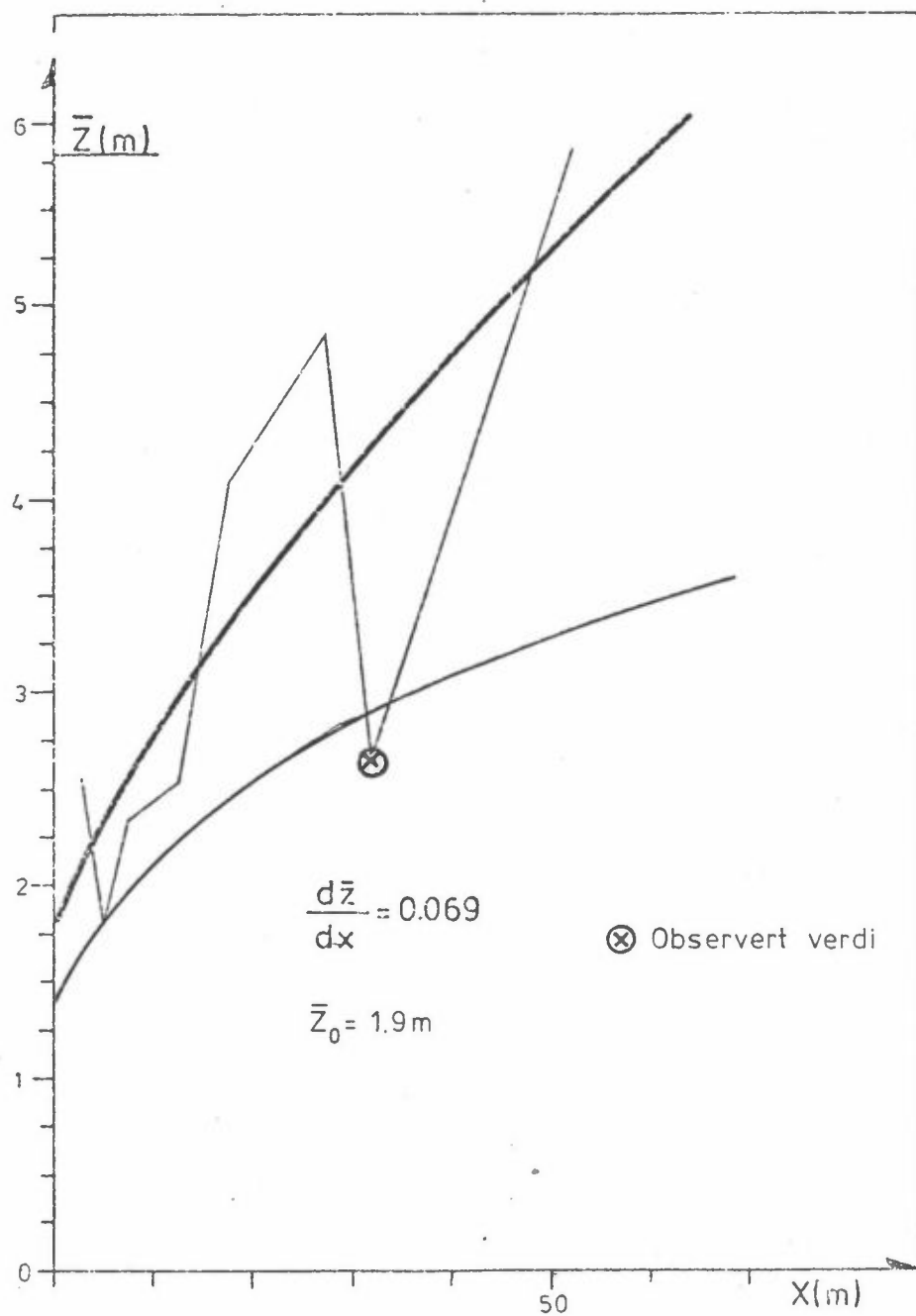
En teoretisk beskrivelse av spredningen ved en veibane er vist i (6). Som en første tilnærming beregnes middelhøyden (første moment) av forurensningsskyen (\bar{z}) som funksjon av avstanden fra veien. I figurene 9-14 er \bar{z} avsatt som funksjon av avstanden fra veien samt middeløkningen fra veikanten og ut til 70 m fra veikanten. \bar{z} er observert ved profilregistreringen 30 m fra vegkanten. I andre avstander er det regnet med at \bar{z} er omvendt proporsjonal med konsentrasjonen av SF₆ registrert 1 m over bakken. Veksten ($\frac{d\bar{z}}{dx}$) av forurensningsskyen på lesiden av vegbanen fastsettes i andre modeller på grunnlag av indirekte observasjoner av turbulensen i atmosfæren (stabilitetsklasse).



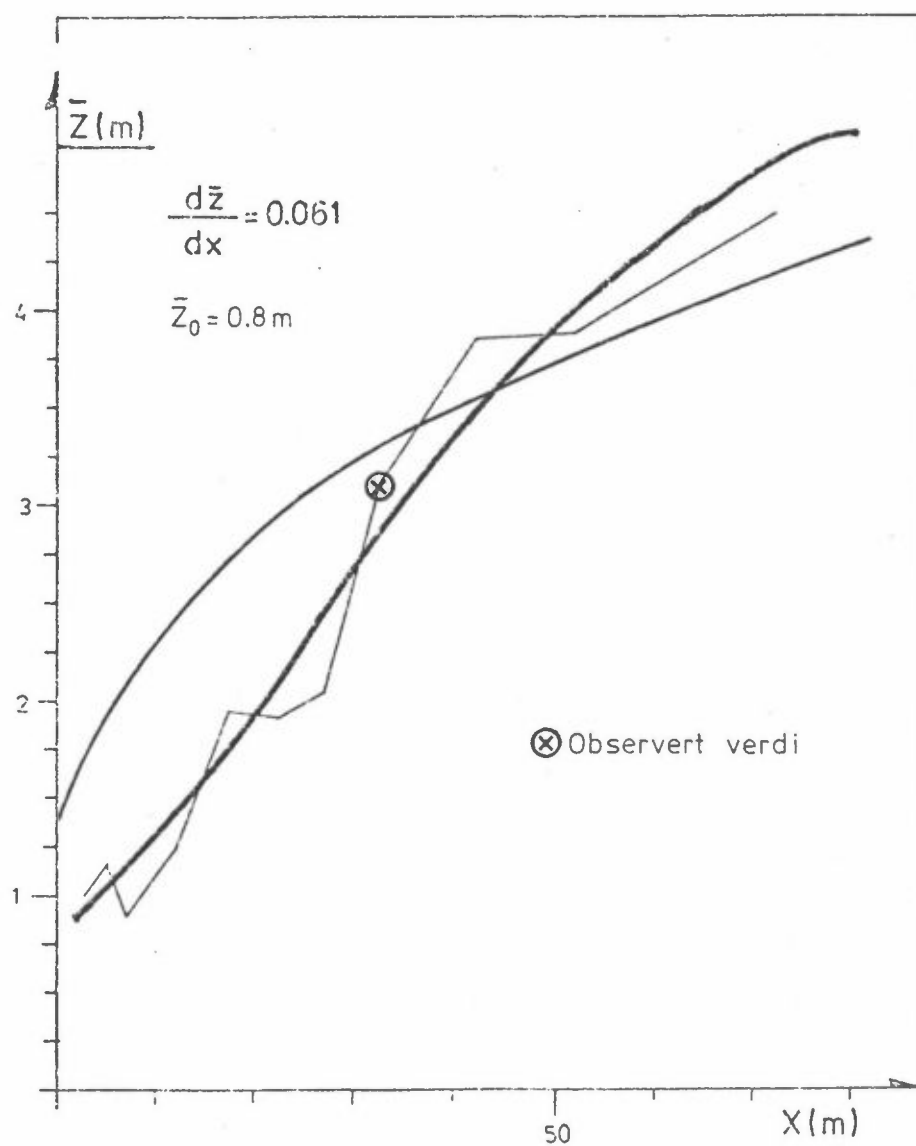
Figur 9: Middelhøyden av forurensningsskyen som funksjon av avstanden fra kjørebanden, den 13.2, test 2.



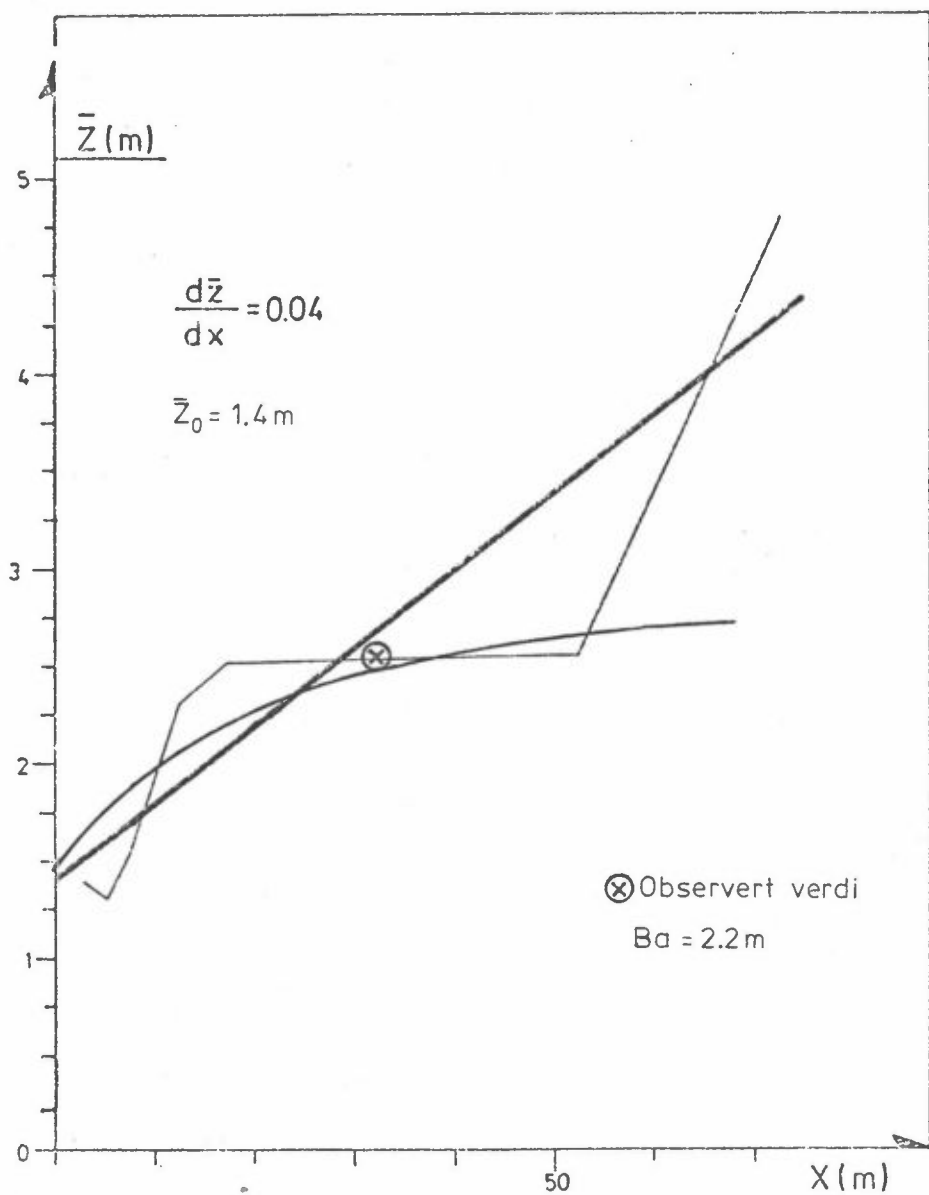
Figur 10: Middelhøyden av forurensningsskyen som funksjon av avstanden fra kjørebanden, den 16.2, test 1.
Alle verdiene er estimert på grunnlag av observasjoner av SF_6 -konsentrasjonen 1 m over bakken.



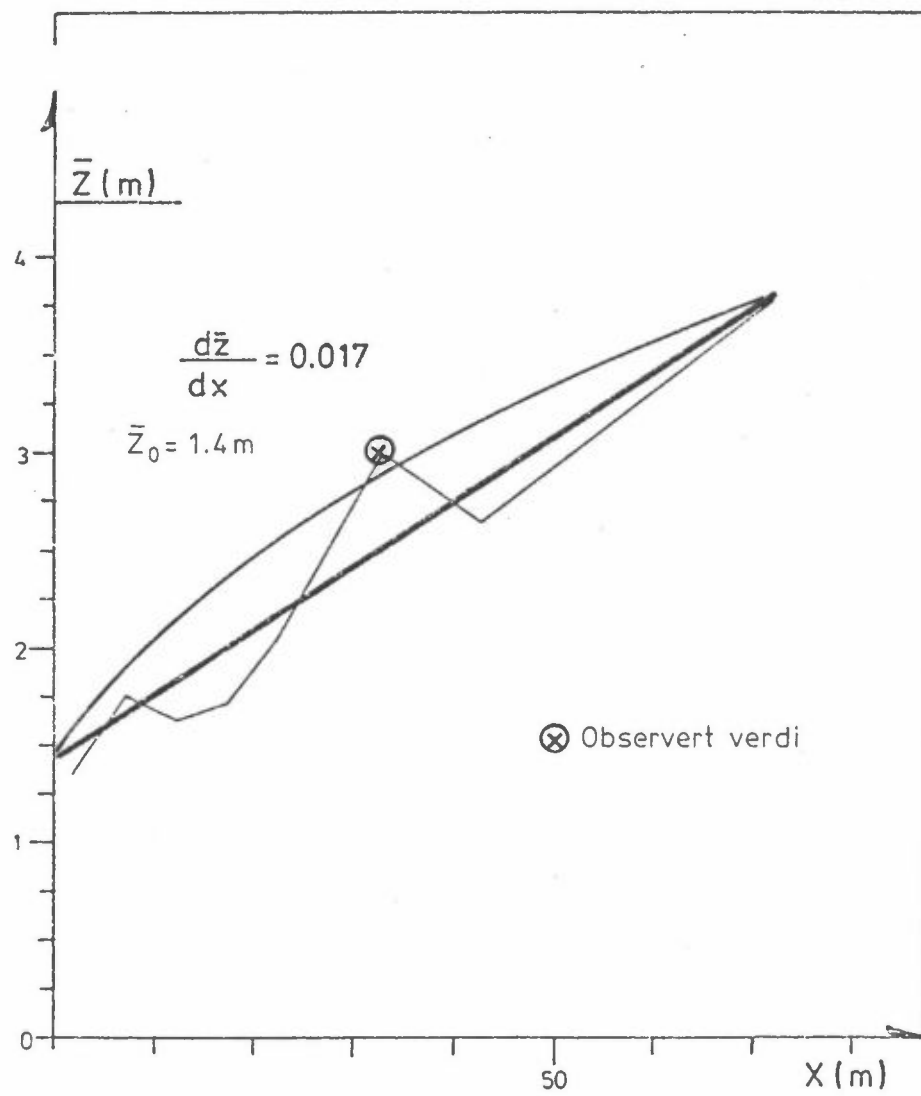
Figur 11: Middelhøyden av forurensningsskyen som funksjon av avstanden fra kjørebanen, den 15.3., test 1.



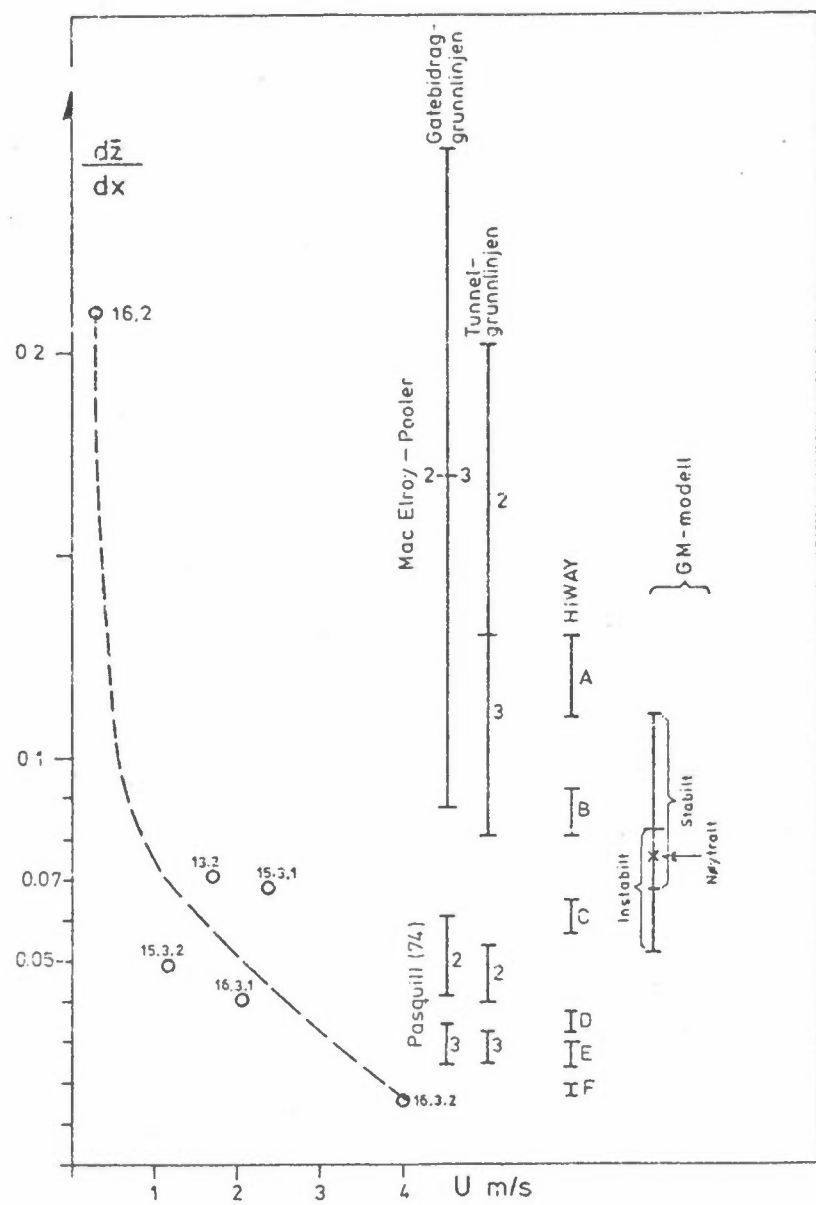
Figur 12: Middelhøyden av forurensningsskyen som funksjon av avstanden fra kjørebanen, den 15.3., test 2.



Figur 13: Middelhøyden \bar{z} av forurensningsskyen som funksjon av avstanden fra kjørebanen, den 16.3., test 1.



Figur 14: Middelhøyden av forurensningsskyen som funksjon av avstanden fra kjørebanen, den 16.3., test 2.



Figur 15: Vertikalspredningen nær veikanten ved forskjellige modeller.

Verdier for veksten av skyen som benyttes i eksisterende modeller er vist i figur 15, sammen med resultatet av SF_6 -registreringene. I våre registreringer er veksten av skyen $(\frac{dz}{dx})$ tegnet som funksjon av vindhastigheten u . Resultatene indikerer en avtakende vekst med økende vindhastighet i samsvar med teorien i ref. 6. Beregningen ved Grunnlinjen, Oslo er basert på MacElroy-Poolers spredningsparametre som er utviklet for byområder (effektiv spredning).

På Hellerudsletta (fig. 1) ble det ved en åpen veibane observert effektiv spredning når vindhastigheten var liten. Spredningen var imidlertid betydelig mindre når vindhastigheten var stor. Fra ligningen utledet i vedlegg 2 har en følgende uttrykk for vertikalspredningen:

$$\bar{z} = h[1+2a(\frac{1}{h^2}(\frac{\bar{K}}{U_a})^{0.5}(x-x_o)+2C(\frac{U}{U_a})^{0.5}((\frac{x}{h})^{0.5}- (\frac{x_o}{h})^{0.5}))]^{0.5} \quad (1)$$

\bar{z} : middelhøyden av forurensningsskyen

h : middelhøyden av bilene

$a_{\frac{\bar{K}}{U_a}}$: proporsjonalitetsfaktor

$(\frac{\bar{K}}{U_a})$: midlere spredningsfaktor som beskriver atmosfære-turbulensens innvirkning nær bakken

x : avstanden fra vegkanten

x_o : integrasjonskonstant

U : bilens kjørehastighet

U_a : vindhastigheten vinkelrett på veien

C : koeffisient som bestemmes på grunnlag av turbulensen bak bilene. Velges i samsvar med undersøkelser av Eskridge et al. (3), (4). $C = 0.046$.

Vertikalprofilene registrert 30 m fra vegkanten viser at en normalfordelingen (Gaussfordeling) er en brukbar tilnærming. Når standardavviket er σ_x , har en da følgende forbindelse med

$$\sigma_z = \sqrt{\frac{\pi}{2}} \bar{z} \quad (2)$$

$$\sigma_z = \sqrt{\frac{\pi}{2}} \cdot h \cdot [1 + 2(\frac{1}{h}) (\frac{\bar{K}}{U_a}) (\frac{x}{h} - 1) + 0.092 (\frac{U}{U_a})^{0.5} ((\frac{x}{h})^{0.5} - 1)]^{0.5} \quad (3)$$

$$\frac{d\sigma_z}{dx} = \sqrt{\frac{\pi}{2}} \frac{(\frac{\bar{K}}{U_a}) \frac{1}{h} + 0.046 (\frac{U}{U_a})^{0.5} (\frac{x}{h})^{0.5}}{[1 + 2(\frac{1}{h}) (\frac{\bar{K}}{U_a}) (\frac{x}{h} - 1) + 0.092 (\frac{U}{U_a})^{0.5} ((\frac{x}{h})^{0.5} - 1)]^{0.5}} \quad (4)$$

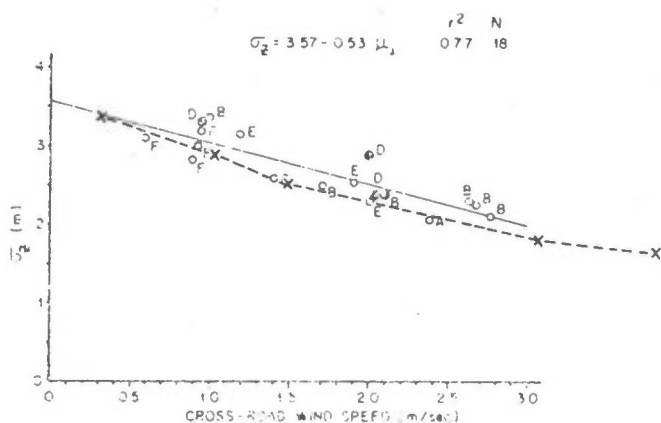
På grunnlag av formlene ovenfor og utgangsdata fra tabell 1, har en beregnet \bar{z} -verdiene i forskjellig avstand fra vegbanen. Verdiene er avmerket i figurene 9, 11, 12, 13 og 14. Figurene viser at det er små forskjeller mellom beregnede og observerte verdier 30 m fra vegkanten. Avvikene på andre avstander indikerer at den foreslalte modellen overestimerer virkningen av bilturbulensen nær veien og underestimerer virkningen i større avstand. Det er ønskelig med flere målinger for å klarlegge disse forholdene. Ved tilleggsmålingene bør en også foreta målinger i større avstand slik at en kan angi mer nøyaktig avstanden fra veibanen hvor luftturbulensen blir bestemende for spredningen.

Typiske parameterverdier for beskrivelse av vertikalspredning på grunn av atmosfæreturbulensen er vist i tabell 3. Verdiene kan benyttes til å estimere spredning i Norge vinterstid.

Sommerstid må en regne med anslagsvis dobbelt så høye verdier under rubrikken for gode spredningsforhold. Om natten sommerstid kan en ha like dårlige spredningsforhold som om vinteren.

Dersom i tillegg bilturbulensen er liten (bilene kjører med liten hastighet) varierer den vertikale spredningsparameteren i samsvar med HIWAY-modellen, klasse E eller F. Ut fra våre undersøkelser er det derfor ingen motsetning mellom EPAs HIWAY-modell og GMs empirisk begrunnde spredningsparametre. HIWAY-modellen kan benyttes når virkningen av turbulensen rundt bilene er liten (bilene kjører med liten hastighet). GM-modellen kan benyttes når virkningen av turbulensen rundt bilene er stor (bilene kjører med stor hastighet).

Ved å velge $x_0 = h$ og $a = 1.0$ finner en at høyden av skyen nær kjørebanen varierer med vindhastigheten på samme måte som vist i figur 16. Figuren er hentet fra ref. 5 og bygger på resultatene av General Motors detaljerte sporstoffundersøkelser. I beregninger på grunnlag av NILUs modell er hastigheten på bilene forutsatt å være 80 km/time og at atmosfæreturbulensen er liten.



Figur 16: Beregnet stadardavvik σ_z i den vertikale konsentrationsfordelingen 4 m fra vegkanten, beregnet som funksjon av vindhastigheten. GMs observasjoner av σ_z er avsatt på figuren hentet fra ref. (5).

4 FØRSTE ESTIMAT AV FORURENSNINGSBELASTNINGEN VED ÅPNE VEIBANER

Til å beregne forurensningskonsentrasjonen nær bakken ved åpne veibaner er det vanlig å benytte følgende formel (1,2):

$$C = \frac{q}{\sqrt{2\pi} U_a \sigma_z} \quad (5)$$

C : forurensningskonsentrasjon ved bakken. Enhet: g/m^3

q : utsipp av forurensninger pr. lengdeenhet og tidsenhet.
Enhet: $g/m \cdot s$

U_a : vindhastigheten vinkelrett på veien. Enhet: m/s

σ_z : standardavviket i vertikalfordelingen av forurensningskonsentrasjonen. Enhet: m.

4.1 Beregning av utslipp

Følgende formel benyttes:

$$QB = q \cdot TT \quad (6)$$

q : utslippsfaktor som angir utslippsmengde pr. veilengdeenhet fra hver bil. Enhet: g/m•bil. En benytter vanligvis utslipp fra en representativ bil i den norske bilparken. Tallet må angis for hver kjøretøy-type på basis av midlere kjørehastighet, akselerasjonsforhold og lufttemperatur. Det henvises forøvrig til Del I, kapittel 5.

TT: Trafikkettethet angis på grunnlag av trafikktellinger eller trafikkprognosør. Enhet: bil/s.

QB: Utslippsintensitet. Enhet: g/m.s

4.2 Spredningsforholdenes innvirkning

Konsentrasjonen i en avstand x er omvendt proporsjonal med produktet $u \cdot \sigma_z$ ifølge lign. (5). Ligning (4) benyttes til å beregne standardavviket i vertikalfordelingen σ_z . I samsvar med ligningen er dette standardavviket avhengig av tre parametre:

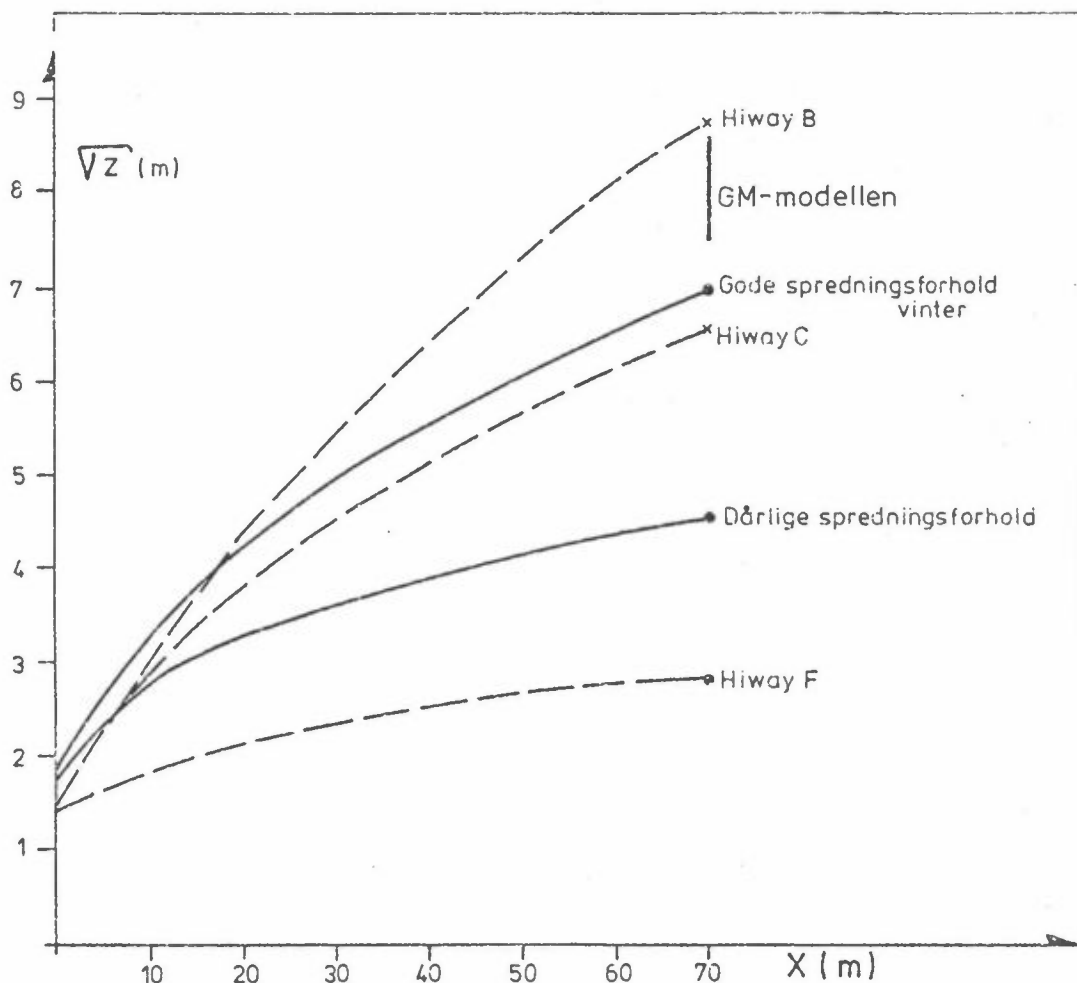
- 1) h angir middelhøyden av bilen
- 2) $(\frac{\bar{K}}{U_a})$ angir virkningen av atmosfæreturbulensen
- 3) $0.092 (\frac{U}{U_a})^{0.5}$ angir virkningen av turbulensen som genereres av bilene

I en plansituasjon er det nødvendig å estimere konsentrasjonene i forskjellig avstand. Vi foreslår å benytte følgende fremgangsmåte:

ad 1) $U_a = 1 \text{ m/s}$ og $h = 1.4 \text{ m.}$

ad 2) $(\frac{\bar{K}}{U_a}) \frac{1}{h}$ velges i samsvar med terrengtype og spredningsforhold.

Etter dette foreslår en følgende formler for den vertikale spredningsparameteren σ_z og endringen med avstanden fra vegkanten:



Figur 17: Vertikal spredning σ_z som funksjon av avstanden fra veggkanten.

Tabell 3: Parameter for beskrivelse av vertikalspredning på grunn av turbulens i atmosfæren.

Områder	$(\frac{K}{U_a})^{\frac{1}{2}} h$ Spredningsforhold		
	Gode	Normale	Dårlige
Byområde $z_o = 1$ m	0.25	0.04	0.02
I et område med trær, hekker og få bygninger $z_o = 0.2$ m	0.1	0.03	0.01
Flate jordbruksområder $z_o = 0.03$ m	0.05	0.02	0.005

Virkningen av bilturbulensen estimeres direkte ved parameteren $0.092 (\frac{U}{U_0})^0.5$. En typisk verdi i et område hvor kjørehastigheten er 80 km/time er 0.4.

Ved en åpen vei i et typisk norsk terrenget utenom byene, hvor kjørehastigheten er 80 km/time, finner en verdier for det vertikale standardavvik som er vist i figur 17. Turbulensen bak bilene er viktig ved beskrivelsen av spredningen ut til ca. 20 m fra veggkanten.

5 REFERANSER

- 1) Zimmerman J.R.
Thompson, R.S.
User's Guide for HIWAY,
A Highway air pollution
model. Research Triangle
Park, N.C., 1975. (EPA-
650/4-74-008.)
- 2) Chock, D.P.
General Motors sulfate dis-
persion experiment. Assess-
ment of the EPA-HIWAY model.
J.air.poll.contr.ass. 27,
39-(1977).

- 3) Eskridge R.E.
Hunt, J.C.R.

Highway modelling. Part I:
Prediction of velocity and
turbulence fields in the wake
of vehicles. *J.Appl.Meteorol.*,
18, 387-400 (1979).
- 4) Eskridge, R.E.
Binkowski, F.S.
Hunt, J.C.R.
Clark, T.L.
Demerjian, K.L.

Highway modelling. Part II:
Advection and dispersion of SF₆
tracer gas. *J.Appl.Meteorol.*,
18, 401-412(1979).
- 5) Rao, S.T.
Keenan, M.T.

Suggestions for improvement
of the EPA-HIWAY model. EPA
J.air.poll.contr.ass., 30,
247-256 (1980).
- 6) Grønskei, K.E.

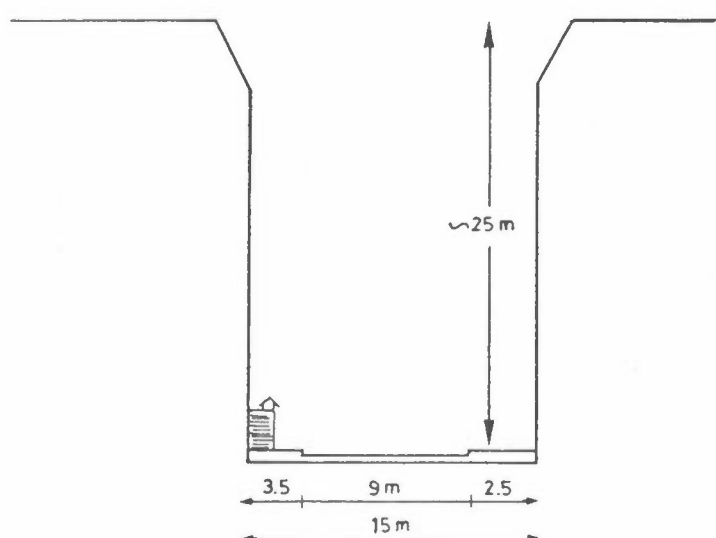
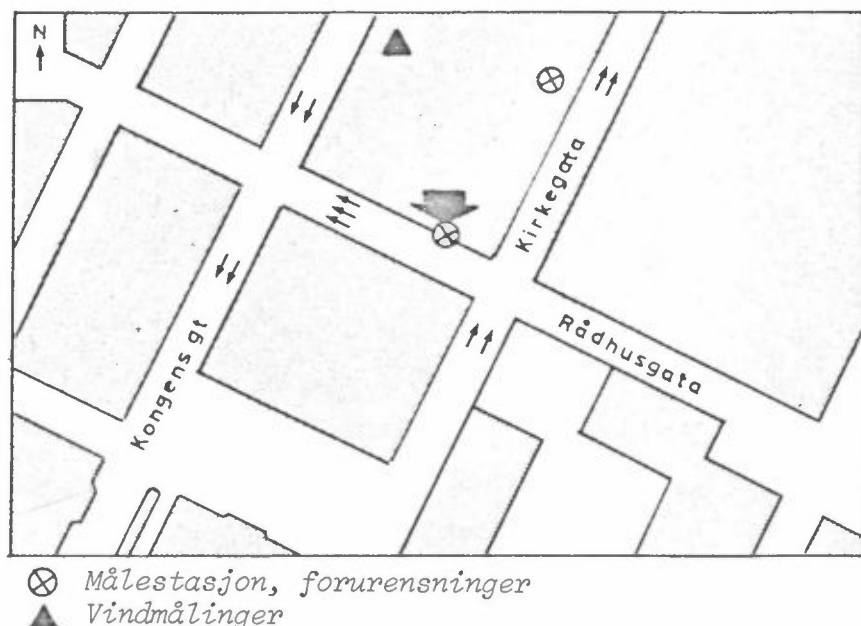
Simplified treatment of vertical
diffusion considering the in-
homogeneous atmosphere condi-
tions. Lillestrøm 1980.
(NILU TN 14/80.)

DEL III

VEDLEGG

VEDLEGG 1

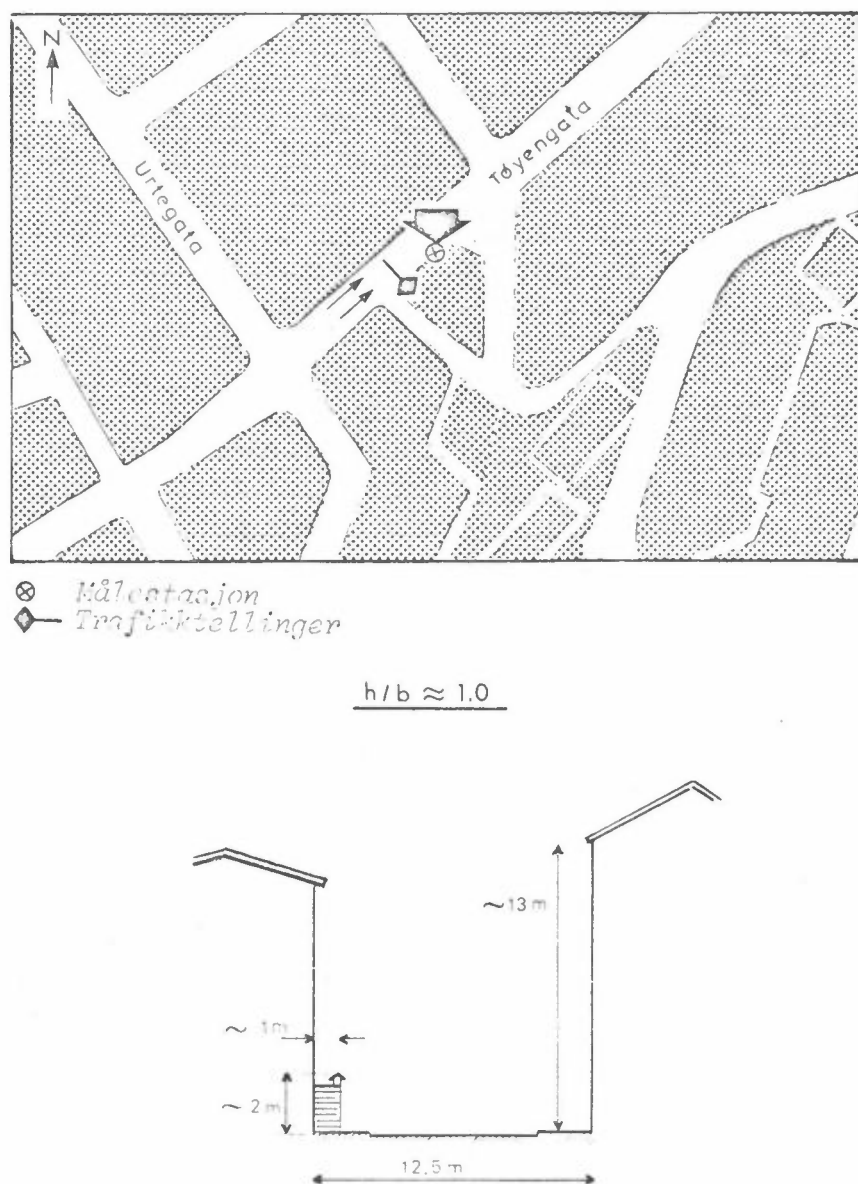
FIGURER
SKISSE AV MÅLESTEDER



Figur 1: Rådhusgata, Oslo. Plassering av målestasjon.

Målestasjonen ble plassert i hytte på fortauet, inntil husveggen.

Vedligod trafikkbilde: lysregulert kryss. En kjøreretning (mot NV). 3 kjørefasaler. Horizontal vei. Hovedåre for gjennomgangstrafikk gjennom Oslo sentrum. Relativt stor andel dieseltkjøretøy. 2 rusntrafikkstopper pr. døgn. Trafikklysene er regulert i grønn bolge. Hoveddelen av trafikken går derfor forbi stasjonen med relativt jevn hastighet. Trafikklyskon ved Kongens gate rukker ikke til målestasjonen, bortsett fra midt i rushtiden.

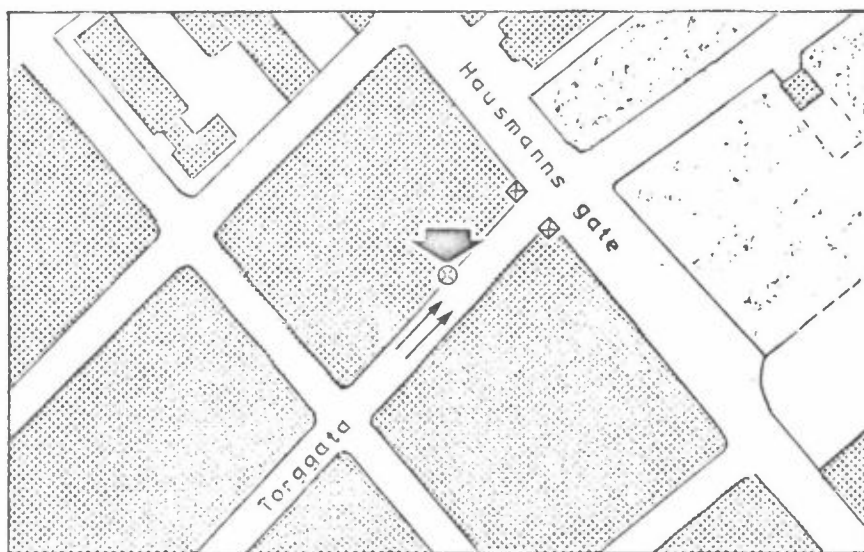


Figur 2 : Tøyengata, Oslo. Plassering av målestasjon

Målestasjonen ble plassert i hytte på fortauet, inntil husvegg.

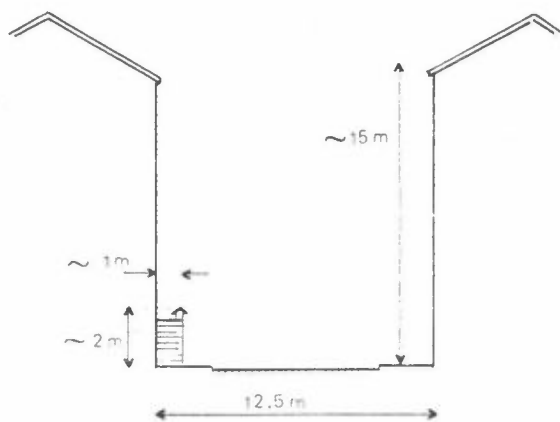
Veg og trafikkbilde: Ingen lysregulering. En kjøreretning (mot NØ), 2 kjørebaner. Moderat stigning på veien mot NØ. Rushtrafikkopp om ettermiddagen. Relativt liten andel dieselmotorer.

ÅDT: ca 5000 biler/døgn (1974)



○ Målestasjon
■ Trafikklys

$$h/b \approx 1.2$$

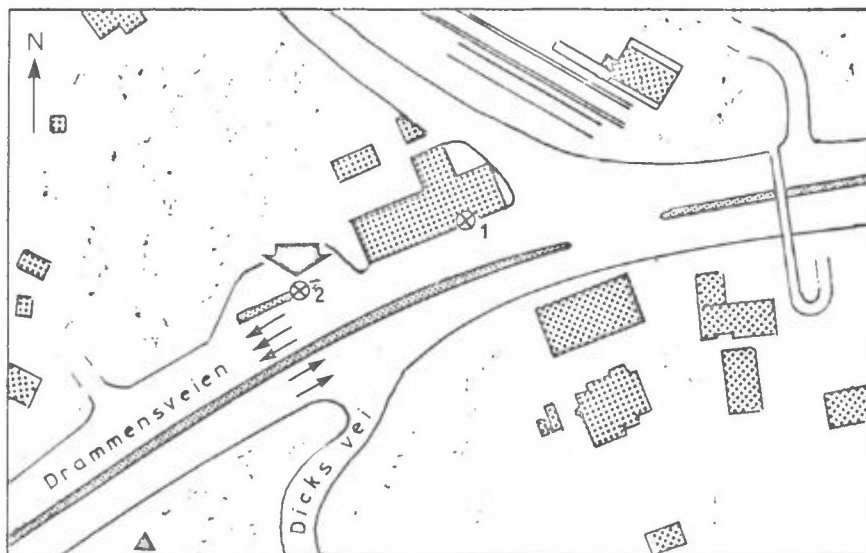


Figur 3 : Torggata, Oslo. Plassering av målestasjon.

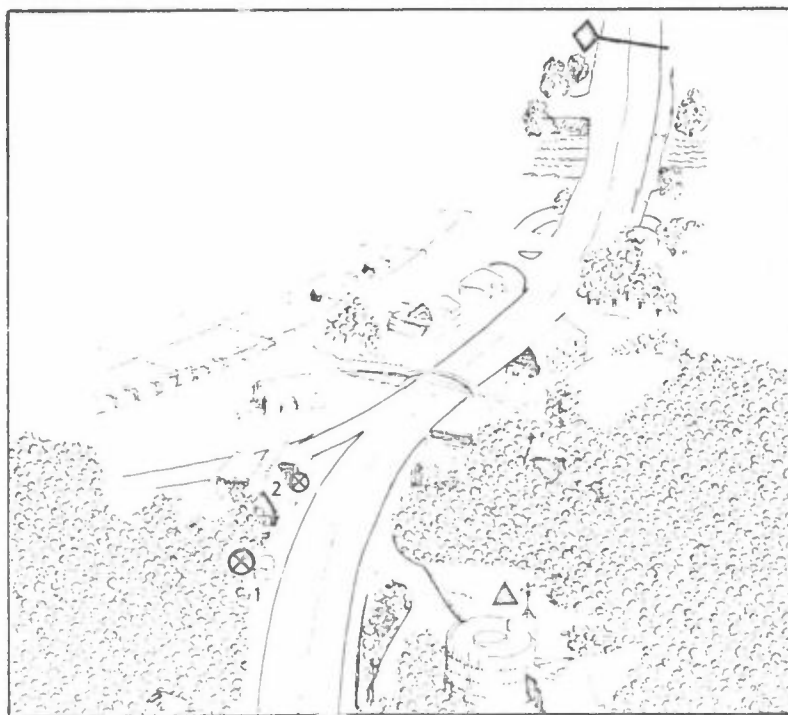
Målestasjonen ble plassert i hytte på fortauet, inntil husvegg.

Veg og trafikkliste: Lysregulert kryss mot Hausmannsgt.
En kjøreretning (mot NØ), 2 kjørebaner. Horizontal veg.
Rushtrafikkopp om ettermiddagen. Relativt stor trafikk **utover** kvelden. Relativt liten andel dieselkjøretøy. Trafikklyskøen er oftest lang nok til å rekke bort til målestasjonen. Derfor tomgangsutslipp ved stasjonen en relativt stor del av tiden.

ÅDT: ca 9000 biler/døgn (1975)



⊗ Målestasjon (1: før sept 1974; 2: etter)
▲ Vind
◆ Trafikkställinger



Figur 4: E18, Lysaker, Bærum. Plassering av målestasjon.

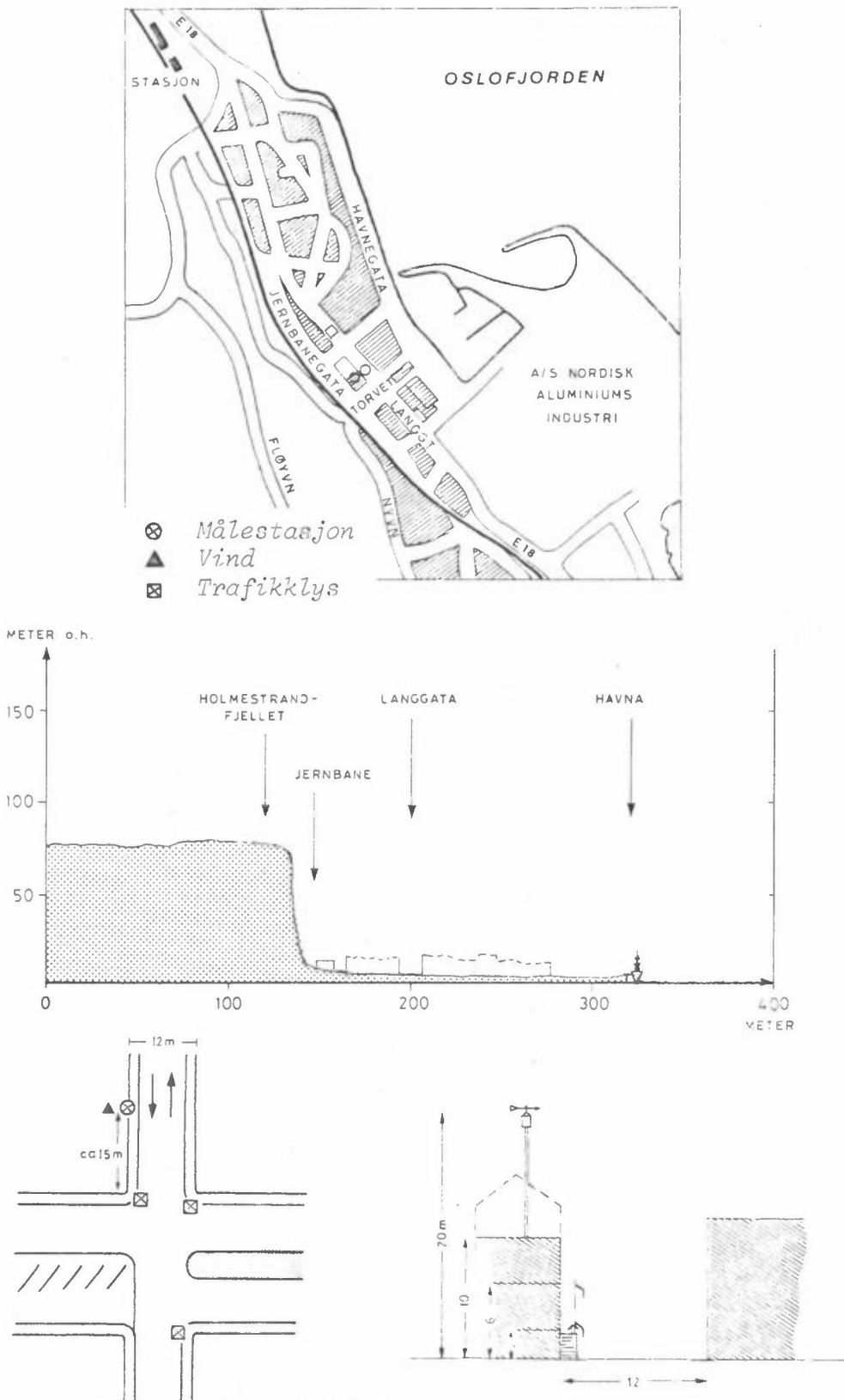
Målestasjonen ble plassert i hytte ved veien.

Sondens høyde over bakken ca 2 m

Sondens avstand fra kanten av nærmeste veibane: ca 3 m

Veg og trafikkbilde: Ingen lysregulering. 3 kjørebaner mot V (ut fra byen), 2 kjørebaner mot Ø. Horizontal veg. Hevedøre for trafikk fra Oslo mot vest og sør. Norges sterkest trafikkerte vegtrase. Relativt stor andel diesekjøretoyer. 2 rushtrafikktopper. God flyt på trafikken forbi målestasjonen.

ÅDT: ca 59000 biler/døgn (1975)



Figur 5 : Langgata (E18), Holmestrand. Plassering av målestasjon.

Målestasjonen ble plassert i hytte på fortaket, inntil husvegg.

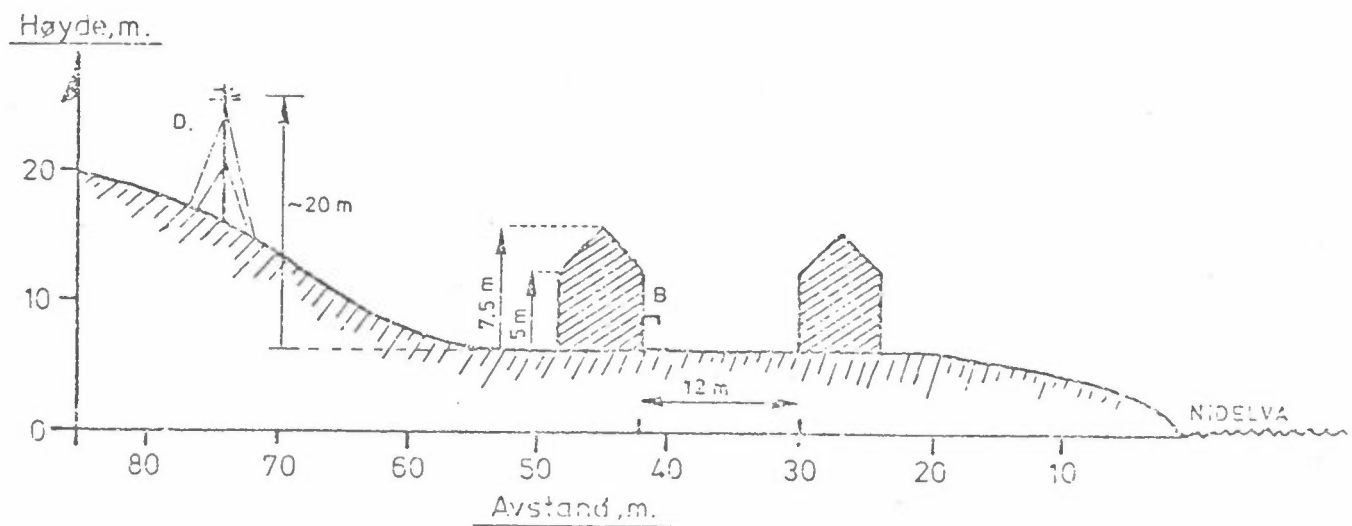
Veg og trafikk: Lysregulert kryss. Toveis trafikk, en kjørebane i hver retning. Horizontal veg. Hovedåre for bytrafikk og gjennomgangstrafikk. Stor trafikk med lang kødannelse om sommeren, spesielt i helgene. Trafikklyskogen rekker ofte forbi målestasjonen.

ÅDT: ca 11000 biler/døgn (1974)

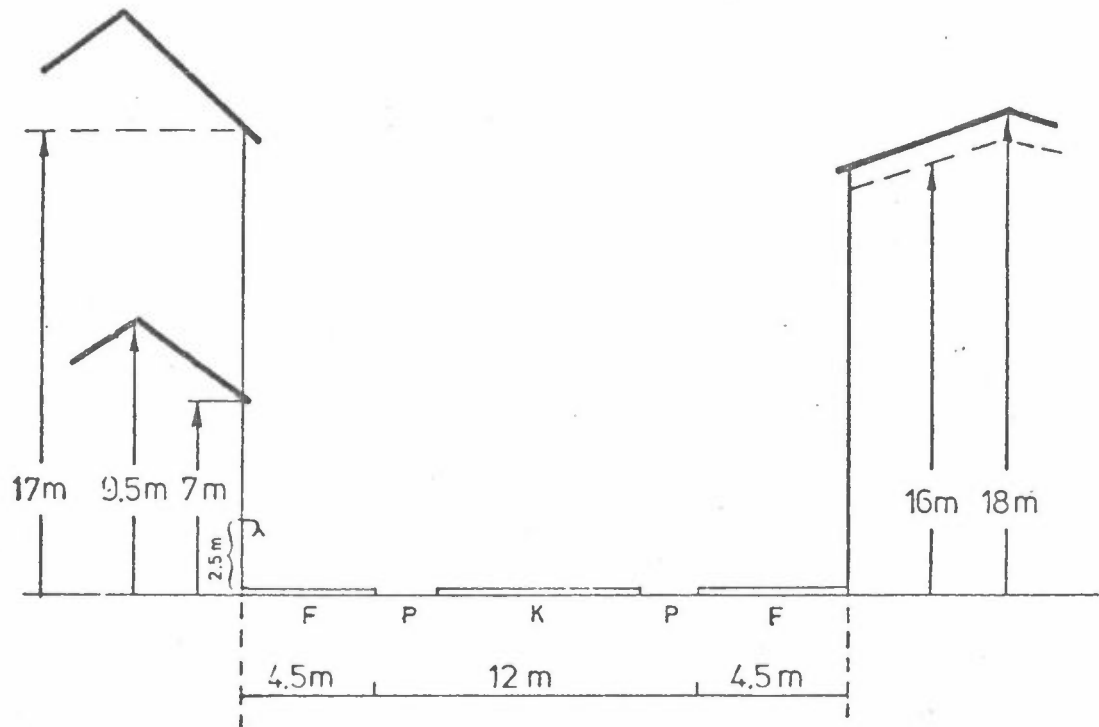


Målestasjon Bakklandet

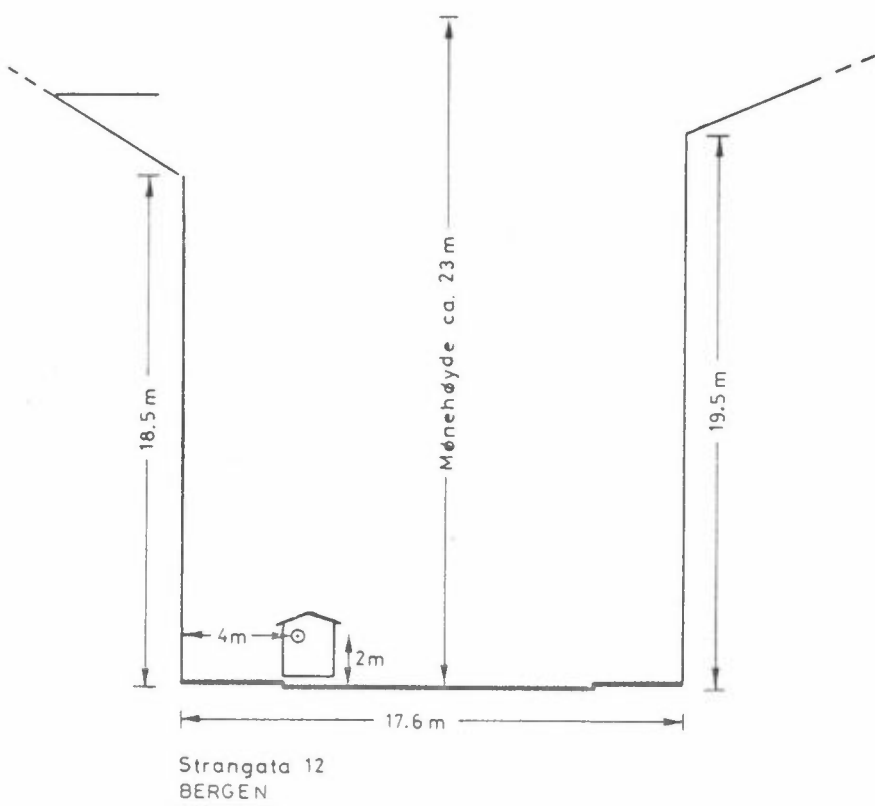
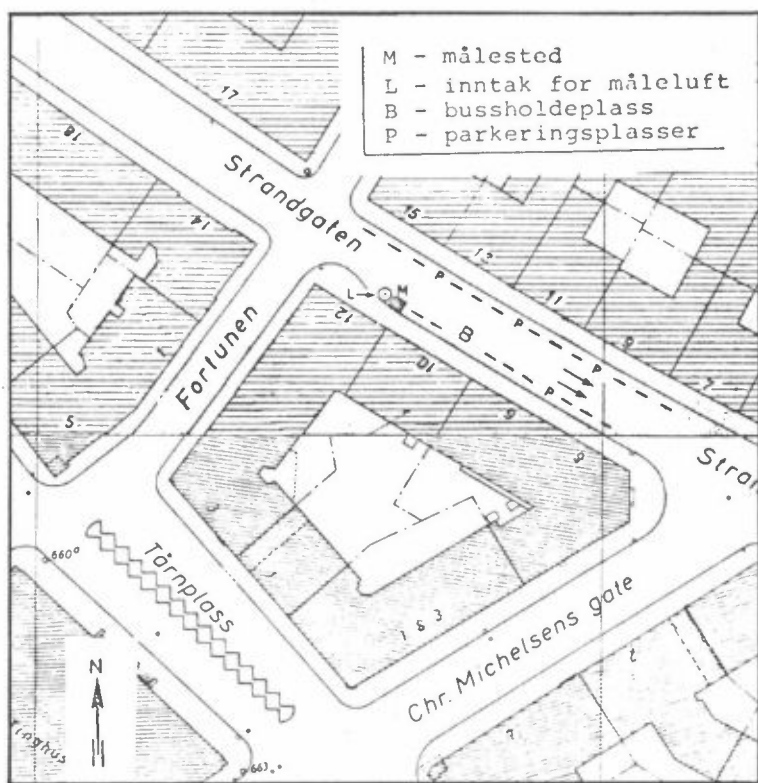
- A. Brakke for instrumenter
- B. Inntak for måleluft, CO.
Temperaturføler. Trafikkelling
- C. Inntak for måleluft, SO_2 , sot, bly.
- D. 10 m mast. Følere for vindhastighet,
vindretning, temperatur i høyde 20 m
over gaten.
- E. Brakke for TV-kamera. Trafikk-
hastighetsmåling.



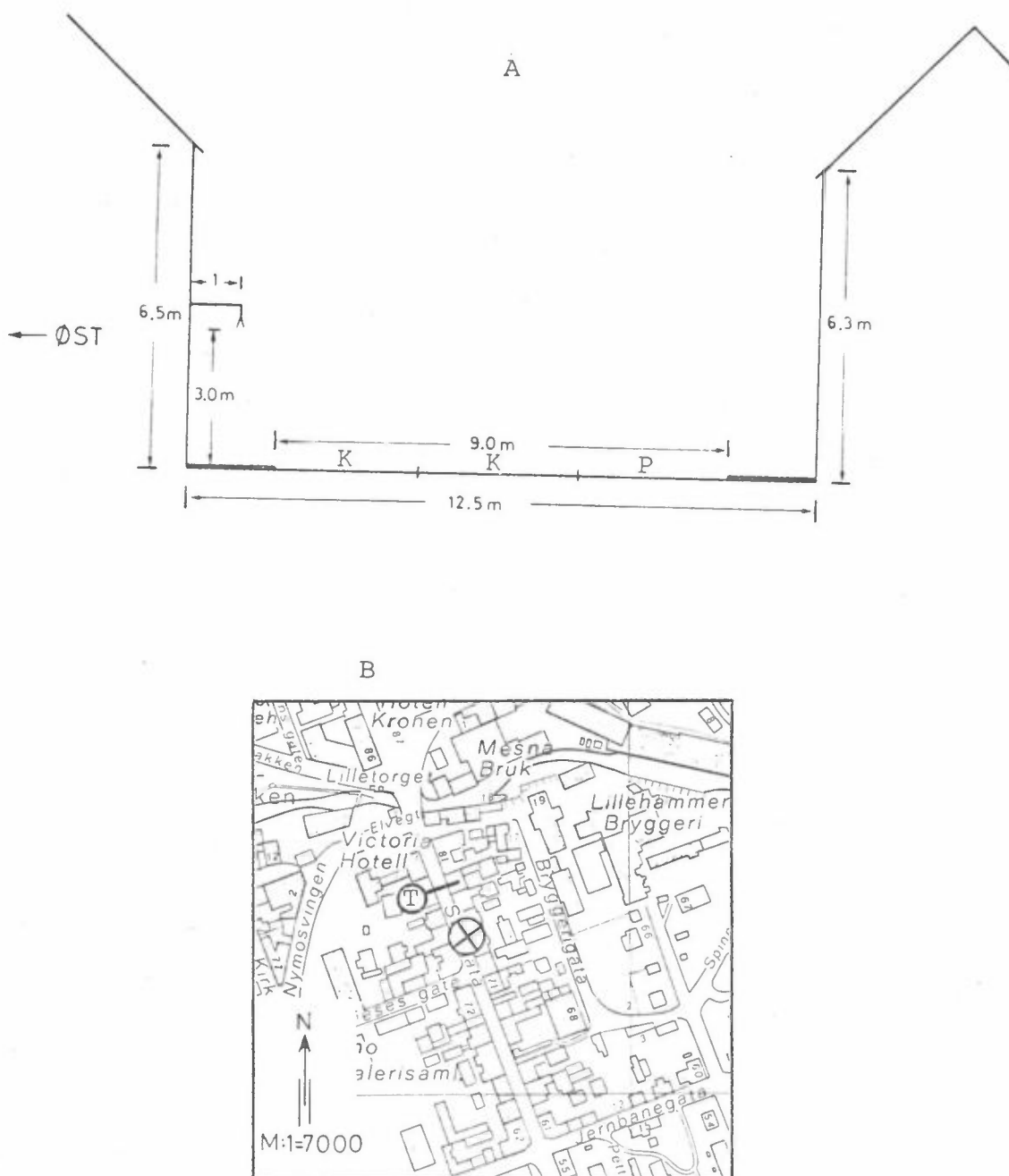
Figur 6 : Målestasjon Bakklandet.
Gatetverrsnitt, topografi (snitt a-a,



Figur 7.: Målestasjon, Søndre gate. Gatetverrsnitt.

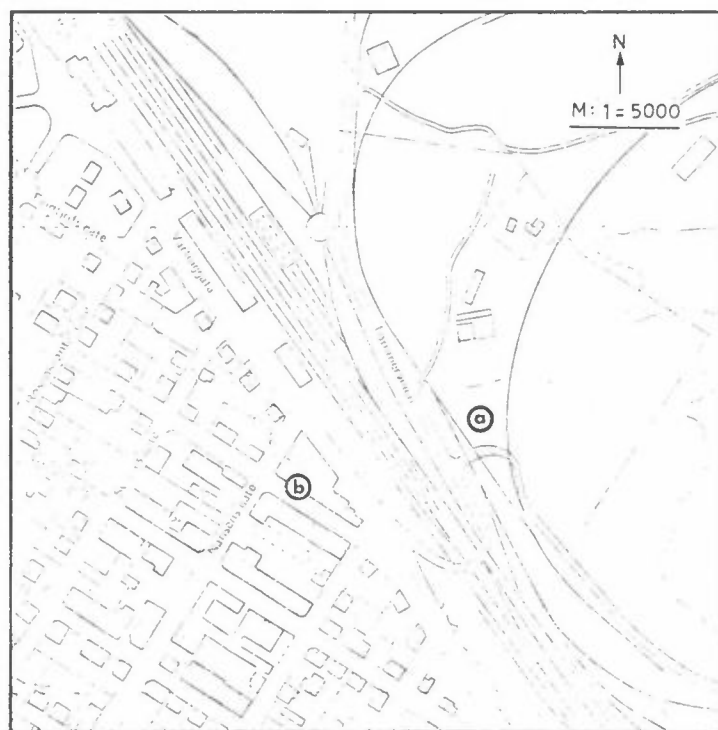
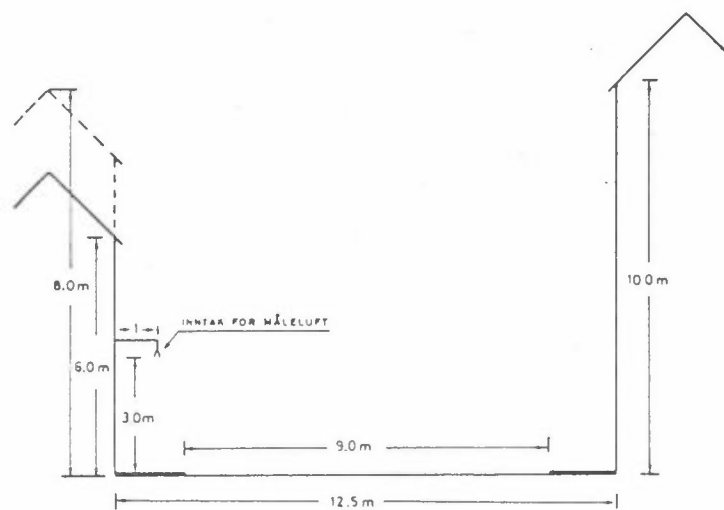


Figur 8 . Plassering av målestedet i Strandgaten.



A. Gatetverrsnitt
B. Gateplan

Figur 9 : Plassering av målestasjoner for CO (X) og trafikk (T) i Storgata.



a: Vindmålinger.

b: Forurensnings- og trafikkmålinger.

Figur 10 : Plassering av målestedet i Olav Haralds gate.

VEDLEGG 2

CO-NIVÅETS VARIASJON MED UTSLIPP
OG SPREDNINGSFORHOLD
SAMMENHENGEN MELLOM CO OG ANDRE
FORURENSNINGSSTOFFER

	Side
<u>INNHOLD</u>	
1 SAMVARIASJON MELLOM UTSLIPP, SPREDNING OG FORURENSNINGSNIVÅ AV CO	
1.1 Variasjon med vindhastighet over tak	
1.2 Variasjon med vindretning over tak	
1.3 Variasjon med lufttemperaturen	
1.4 Variasjon med vertikal temperaturgradient ...	
1.5 Variasjon med trafikktettheten	
1.6 Variasjon i konsentrasjon langs et kvartal ..	
1.7 Variasjon med gaterommets dimensjoner	
1.8 Variasjon med høyden over gatenivå	
1.9 Ekstremverdier	
2 CO OG ANDRE FORURENSNINGSSTOFFER - SAMMENHENG ...	
2.1 NO	
2.2 NO ₂	
2.3 Bly	
2.4 Sot	
2.5 Svevestøv	
2.6 Organiske komponenter	

(Litteraturhenvisninger er til listen i Del I,
kapittel 8.)

1 SAMVARIASJON MELLOM UTSLIPP, SPREDNING OG FORURENSNINGSNIVÅ AV CO

Det samlede datamaterialet NILU har fra målesteder i Norge gir grunnlag for å undersøke spesifikke sammenhenger mellom forurensningsnivå og de faktorer som en anser for å være bestemmende for forurensningsnivået. Det er faktorer som vindhastighet, vindretning, trafikkfølhet, temperatur og andre.

Dataanalysen baseres på samhørende timesmiddelverdier av de ulike parametre. En kan analysere timesmiddelverdiene eller lengre tids middelverdier (f.eks. måned), beregnet fra disse. Spørsmålet om dataenes uavhengighet i tid, dvs. en timesmiddelverdis uavhengighet av verdiene like før, kommer da opp.

Trafikkforløpet i en gate endrer seg lite fra dag til dag på ukedager (lørdager og søndager har andre trafikkforløp). Forløpet er bestemt av transportbehovet. En kan si at etterfølgende timesverdier av trafikken ikke er uavhengige, idet når trafikken for en time er gitt, kan en på basis av midlere døgnforløp anslå trafikken timen før eller timen etter. Heller ikke etterfølgende timesverdier av vindstyrke, vindretning og temperatur er uavhengige verdier. Forurensningenes tidsvariasjon er bestemt av de innbyrdes avhengige tidsrekker av trafikk og meteorologiske forhold. Forurensningen er derfor også en tidsrekke der etterfølgende verdier til en viss grad er avhengige verdier. Når en timesverdi er kjent, er det mulig å gi et estimat av etterfølgende timesverdier, basert på de estimerer en kan gi av det videre forløp av trafikk og meteorologi.

Erfaringer fra målingene viser at et gaterom oftest utluftes raskt. SF₆-eksperimentene i Rådhusgaten ga utluftingstider på mindre enn 5 minutter. Målinger av CO i 1974, da trafikken på enkelte lørdager ble redusert til nær null klokken 15.00, på grunn av forbud mot privat bilkjøring, viste at CO-konsentrasjonen over byområdet som helhet sank til nivå null i løpet av mindre enn en halv time etter at kjøreforbudet inntrådte.

Dette betyr at forurensningen i et gaterom, midlet over én time, oftest er et resultat av utslippet og spredningen som har skjedd i denne time. Det er lite kobling mellom en time og den neste ved at utslipp i en time påvirker måleren i neste time. På denne bakgrunn er det rimelig å betrakte utslipp, spredning og forurensning i én time som en prosess som ikke er avhengig av tilsvarende prosess timen før, på annen måte en at utslippet og meteorologien har tidsforløp som kan varsles.

Kontinuerlige målinger av CO har inngått som en del av alle måle-seriene ved gaterom. I de fleste tilfeller er utslippet fra trafikken den langt største CO-kilden, slik at CO-målingene kan anses å være spesifikk for bilutslippet. Det meste av dataanalysen i dette kapitlet er basert på CO-målinger. Slutninger vedrørende andre utslipp fra biltrafikken, må baseres på et mindre omfattende tallmateriale. Samtidige målinger av CO og andre komponenter som NO etc, gjør det mulig å dra nytte av CO-målingene, også når det gjelder de andre komponentene.

1.1 Variasjon med vindhastighet over tak

Den ytre vind er den viktigste faktor som gir transport av forurensninger vekk fra et område og derved gir redusert kon-sentrasjon av forurensning. I gaterommet vil vinden ikke ofte gi en direkte transport ut, slik det er lett å tenke seg ved en åpen veg. Heller vil luftturbulensen som skyldes vinden gi en turbulent transport av forurensset luft ut av gaterommet.

Innflytelsen på gateromsforurensningen av vindhastigheten over tak er avhengig av vindens retning i forhold til gaten. Forurensningens avhengighet av vindstyrke over tak indikeres av figurene 1.6-1.9 som representerer måleserier fra Rådhusgaten i Oslo i 1974 og 1979 og fra Øvre Bakklandet i Trondheim i 1978.

I figurene er timesmiddelverdier av forholdet mellom CO og trafikkettethet (CO/TT) plottet mot vindhastigheten over tak for ulike sektorer av vindretning i forhold til gateretning. Sektorene har en bredde på $\pm 20-30^\circ$ fra senterretningen. En har skilt mellom vindretning langs gaten og vindretning på tvers av gaten. For vindretning på tvers, har en skilt mellom vindsiden (vinden blåser mot den gateside der målestasjonen er plassert) og lesiden. En har ekskludert fra plottene verdiene ved høye trafikketteter, der kōsituasjoner opptrer i stor grad. CO/TT burde derfor i rimelig grad være uavhengig av trafikkettetheten.

En har skilt mellom vindretnings-sektorer fordi det er naturlig å anta at forskjellen i forurensningsgrad på de to sidene av gaten kan påvirkes av vindretningen. Som nevnt i kapittel 3 i Del I legger også foreliggende modellbeskrivelser vekt på denne forskjellen mellom gatesidene. Dette beskrives nærmere i seksjon 1.2.

Figurene viser alle at CO/TT avtar med økende vindhastighet. Enkeltpunktene viser stor spredning for en gitt vindhastighet. Spredningen skyldes variasjoner i vindretningen innen sektor, tilfeldige variasjoner i trafikkforhold og spredning, samt målefeil.

I figurene er plottet inn kurver for CO/TT som funksjon av vindhastighet. Kurvene, som er av formen $CO/TT = a/(VV+b)$, er tilpasset dataene i punktene $VV = 0.5 \text{ m/s}$ og 5 m/s (i noen tilfelle 2 m/s). Utover dette området er de ikke alltid godt tilpasset dataene, spesielt i området $0-0.5 \text{ m/s}$. Figurene 1.1-1.4 viser sammendrag av disse kurvene.

Med vind langs gaten ligger b stort sett innen området $0.5-0.8$ i begge gatene. Med vind fra vindsiden er det også god overensstemmelse mellom de to gatene, med b lik $0.3-0.4$. Med vind fra le-siden skiller gatene seg fra hverandre med b lik $0.35-1.0$ i Rådhusgaten og b nær lik 0 i Øvre Baklandet.

I Stanfordmodellen er b satt lik 0.5. Resultatene her skiller seg ikke betydelig fra dette, bortsett fra når vinden er fra lesektoren.

1.2 Variasjon med vindretning over tak

Modellbeskrivelsene av utlufting av et gaterom forutsetter at vinden over tak setter opp en virvelbevegelse av luften i gaterommet. Etter denne beskrivelsen er vindsiden av gaten den siden som vinden blåser mot, og lesiden den motsatte. Den tenkte virvelbevegelsen settes opp ved at vinden presser luft ned langs fasaden på vindsiden. Denne må føre til en tilsvarende bevegelse av luft opp langs den motsatte fasaden, og en vindbevegelse på tvers av gaten nede som går i motsatt retning av vinden over tak. Siden luften over tak oftest er vesentlig renere enn luften nede i gaterommet, vil konsentrasjonen av forurensning på vindsiden ifølge denne beskrivelsen, være lavere enn på lesiden. Virvelbevegelsen blir mer intens, jo sterkere vinden er. I og med at vinden ofte også har en komponent langs veien, vil luftvirvelen etter denne beskrivelsen bevege seg langs gaten i vindens retning.

En slik virvelbevegelse er beskrevet av Stanfordmodellen. Georgiis målinger (ref. 3 i del I) tyder på at virvelen settes opp ved vinder sterkere enn ca 2 m/s.

Figurene 1.1-1.5 kan benyttes til å teste i hvilken grad Stanfordmodellens virvel er egnet til å beskrive utluftingen av de gitte gaterom.

Figur 1.5 viser den forskjell mellom vindretningssektorer som Stanfordmodellen predikterer for et gaterom med Rådhusgatens dimensjoner.

Dataene for Rådhusgaten i Oslo viser ikke denne forskjellen. For januar-mars 1979 lå kurvene i forhold til hverandre slik Stanford-modellen predikterer, men avstanden mellom dem er vesentlig mindre. For juni 1974 er også avstanden mellom kurvene vesentlig mindre enn Stanford-modellen gir. Her har imidlertid kurvene for de ulike vindsektorer byttet plass.

En kan si at Stanford-modellens virvel ikke synes å beskrive utluftingen i Rådhusgaten godt.

Det er også interessant å se at vind langs gaten fra vest gir noe høyere forurensning enn vind langs gaten fra øst (juni 1974). Gaten er enveiskjørt med kjøreretning fra øst mot vest. Windmålinger i gaterommet (3 m over bakken) viser at trafikken setter opp en vindbevegelse i bunnsjiktet i gaten på 1-2 m/s i kjøreretningen. Figur 1.10 viser døgnvariasjonene av vindstyrken i gaterommet. Når den ytre vind er motsatt kjøreretningen, kan en tenke seg at resulterende vindstyrke langs gaten blir noe mindre enn når ytre vind er i samme retning som trafikken. Dette kan forklare forskjellen mellom LANGS VEST og LANGS ØST i figur 1.1.

Dataene fra Øvre Bakklandet i Trondheim tyder på at utluftingsmekanismen her er annerledes enn i Rådhusgaten. Lesiden har minst forurensning, mens vind langs gaten gir høyest forurensning. Øvre Bakklandet har toveis trafikk, og det er liten forskjell mellom LANGS NORD- og LANGS SØR-sektorene. Øvre Bakklandet er ca 12 meter bred, og har husfasader med høyde ca 7 meter på begge sider. Skissen av gaterommet, figur 6 i vedlegg 1, viser husenes skråtak. Det er sannsynlig at vind fra lesiden her slår ned på lesiden og fører forurensningen mot vindsiden. Her får en sannsynligvis ikke satt opp en definert virvel i det hele tatt.

Stanford-modellen predikterer for Rådhusgaten en faktor mellom le- og vindsidens forurensning på nær 2, for vindhastigheter større enn 2 m/s. Målingene ga en faktor på ca 1.5 for hele området 2-6 m/s for jan-mars 1979. For juni 1974 var faktoren nær lik 1.0.

For Øvre Baklandet var faktoren mellom høyeste og laveste forurensningsektor også nær lik 1.5 ved 2-3 m/s vind.

Disse data viser at forurensningen i gaterommet ved disse målesteder ikke varierer så mye med vindretningen i forhold til gateretningen som Stanford-modellen predikterer. De viser også at utluftingen i ulike gaterom kan skje på helt ulike måter, avhengig av gaterommets geometri.

Det ble utført en test av Stanford-modellen i Stockholm på CO-data fra Sveavägen og Döbelnsgatan i 1976 (2). Disse målestedene var plassert på midten av ca 100 meter lange kvartal. Sveavägen er 32.5 m bred og har ca 30 m høye fasader, og toveis trafikk. Döbelnsgatan er 19 meter bred, også med ca 30 m høye fasader, og enveis trafikk. Döbelnsgatan minner om Råhusgatens gaterom, og begge har enveis trafikk, mens trafikken i Råhusgaten er ca 2.5 ganger så høy som i Döbelnsgatan.

Testen i Stockholm ga resultater som var i relativt god overensstemmelse med Stanford-modellen når det gjelder forskjellen mellom leside og vindside, både for Sveavägen og Döbelnsgatan. Her var det imidlertid slik at målingene ga en noe større forskell enn det beregningene ga, mens målingene i Råhusgaten ga en mindre forskjell enn beregningene.

1.3 Variasjon med lufttemperaturen

NILUs målinger har vist at forurensningsnivået ved gater ofte er vesentlig høyere i vintermånedene enn om sommeren. Endringer i vindstyrken kan gjøre rede for en del av forskjellen, men på langt nær alt.

Nyere utslippsmålinger fra Bilavgaslaboratoriet i Studsvik (6) har vist at utsippet av CO, HC og NO_x varierer med utetemperaturen. Det er utført målinger ved definerte betingelser (middelhastighet, akselerasjon/retardasjon) ved 0°C og 20°C.

CO-utsippet øker vesentlig fra 20°C til 0°C under akselerasjoner. Økningen er på opptil en faktor 2.0 ved middelhastigheter 20-50 km/t. HC-utsippet øker også endel fra 0°C til 20°C, men ikke så mye som CO-utsippet. NO_x-utsippet øker også vesentlig, spesielt ved konstant hastighet og moderate akselerasjoner. Faktoren fra 20°C til 0°C kan være opptil 2.0. Endringen varierer forøvrig mye med kjøretilstanden. Det henvises til rapporten fra Studsvik, som presenterer figurer som gir et godt inntrykk av temperaturens innflytelse.

Målingene ved gater i Norge underbygger dataene fra Studsvik. Figur 1.11 viser normaliserte CO-verdier som funksjon av ute-temperaturen. Dataene er hentet fra Øvre Baklandet for periodene januar-mars og april - juni 1978, og representerer vindretnings-sektoren "langs sør". En har ekskludert verdier fra rushtids-trafikken.

I perioden januar-mars dekker dataene temperaturområdet fra -15 - +6°C. Det er ingen tydelig tendens til økning med synkende temperatur i dette området. Perioden april-juni dekker området fra -3 til +23°C. Ved 0°C stemmer dette plottet bra med januar-mars-dataene. En ser så en ganske tydelig tendens til reduksjon mot økende temperaturer. Ved 20°C ligger det normaliserte CO-nivå på 50-75% av nivået ved 0°C. Det er rimelig å tro at denne reduksjonen skyldes redusert utslipp med temperaturen, idet det er foretatt normalisering med hensyn på vindhastighet og trafikkettethet. I neste seksjon går det fram at temperatur-stabiliteten i det laveste luftlag ikke har en vesentlig inn-virkning på forurensningsnivået nær bakken i gaterom.

1.4 Variasjon med vertikal temperaturgradient

Vertikal temperaturgradient nær bakken er en parameter som bestemmer stabiliteten av luftlaget. Ved nøytral sjiktning i den frie atmosfære avtar temperaturen med nær 1.0°C pr 100 m høyde. Ved mindre temperaturreduksjon enn dette stabiliseres luftlaget, og vertikal blanding av lufta reduseres. Med større temperaturreduksjon enn 1°C pr 100 m instabiliseres luftlaget, og den vertikale blanding blir mer effektiv. Temperatursjiktningen har derfor ofte stor betydning for blandingen av forurensningsutslip og de resulterende konsentrasjoner. Stabil sjiktning gir minst blanding og ofte høyeste konsentrasjoner.

Nær bakken i gaterom vil turbulensen fra bilene kunne bryte opp en tendens til stabilisering. Også vil bygningsmassen i byområder oftest føre til økt luftturbulens og god blanding av det lavere luftsjikt. Det samme vil varmen som genereres i et byområde bevirke.

I de fleste undersøkelser i gatetverrsnitt NILU har gjennomført, er det utført målinger av temperatur i to høyder. Ved noen målesteder er det utført målinger like over gaten samt i takhøyde, slik at en får temperaturgradienten i selve gaterommet. Ved andre målesteder er det utført temperaturmålinger i nærheten av gaten på en slik måte at de gir et uttrykk for temperaturgradienten generelt i det laveste luftsjikt (ca 50 m dypt) over byområdet.

Målingene har vist at det oppstår temperaturgradiente mellom gate og tak i et gaterom som tyder på stabil sjiktning fra bakken og opp til tak. For eksempel i Rådhusgaten i Oslo skjer dette med en viss frekvens i vintermånedene (f.eks. 39% av tiden i februar 1979).

Normalisert CO-konsentrasjon som funksjon av temperaturgradienten ΔT viser stor spredning på datapunktene. Enkeltobservasjoner viser imidlertid at ved lav trafikk har en ved stabil sjiktning en tendens til å få svært høye normaliserte CO-verdier, spesielt når vinden blåser langs gaten. Det absolutte forurensningsnivå er imidlertid lavt da, siden trafikken, og dermed utslippet, er lite. Ved lav trafikk er ikke bilturbulensen utpreget, og sannsynligvis da ikke sterk nok til å bryte opp tendensen til temperaturstabilisering av bakkesjiktet. Ved en viss trafikketthet, som i Rådhusgaten kan være nær 500 biler/time, er bilturbulensen oftest intens nok til å bryte opp stabile bakkesjikt.

Plott fra Rådhusgaten og Øvre Baklandet av normalisert CO-nivå mot ΔT i gaterommet viser, når en ser bort fra ekstrem-verdiene ved lav trafikketthet, en tendens til økning ved til-takende stabilisering. Dette ser en spesielt når vinden blåser langs gateretningen. Økningen er begrenset, anslagsvis 10-15% pr $+1^\circ C$ temperaturforskjell mellom målerne, som hadde høydeforskjell 15 m i Rådhusgaten og 18 m i Øvre Baklandet. En temperaturforskjell i gaterommet så stor som $+1^\circ C$ fra gate- til taknivå opptrer meget sjeldent om dagen. Temperatursjiktningen i gaterommet er derfor ingen vesentlig faktor for konsentrasjonsnivået i gaten, bortsett fra når bilturbulensen er liten. Det er den når trafikkettheten er lav, og også under trafikkorkssituasjoner.

Når vinden har en vesentlig komponent på tvers av gaten, ser en ikke så tydelig denne tendensen til økte CO-konsentrasjoner ved økt temperaturforskjell mellom tak- og gatenivå. Det skyldes sannsynligvis at vindturbulensen som da genereres i gaterommet i tillegg til bilturbulensen, er sterk nok til å bryte opp stabiliseringen av bakkesjiktet.

Temperaturgradienten over et byområde generelt er med å bestemme det generelle forurensningsnivå i lufta over byen. Den er dermed med og bestemmer "bakgrunnsnivået" av forurensning i lufta som lufter ut et gaterom. Dette bakgrunnsnivå er oftest lite i forhold til det bidraget som utslippet i gaten selv gir. Stabili-

teten av luftlaget over byområdet generelt vil derfor heller ikke være en sterk parameter som har vesentlig betydning for forurensningsnivået i et gaterom. Plott av normaliserte CO-verdier i gaterom i Oslo som funksjon av temperaturgradienten i luftlaget over byen viser stor dataspredning og ingen tydelig sammenheng mellom de to, selv om luft over Oslo om vinteren kan være sterkt stabil i perioder på flere døgn.

1.5 Variasjon med trafikkettetheten

Utsippet, og derved forurensningsnivået i gaterommet, øker med trafikkettetheten. Ved uendrede kjøreforhold vil konsentrasjonen øke proporsjonalt med trafikkettetheten. I mange bygater ligger maksimal trafikkbelastning høyere enn gatens kapasitet, slik at frekvensen av kødannelser og stillestående trafikk øker vesentlig ved de høyeste trafikkettether. I hvilken grad en da får et endret middelutslipp pr kjørerøy i trafikken, regnet som utslipp pr meter gatelengde, er uklart, og vil variere etter de aktuelle kjøreforhold i den enkelte gate.

Figurene 1.12-1.14 viser normalisert CO-konsentrasjon i Rådhusgaten, Oslo, Øvre Baklandet, Trondheim og Langgaten, Holmestrand som funksjon av trafikkettetheten. Det er valgt flere ulike vindsektorer. Normaliseringen med hensyn på vindhastighet er gjort ifølge de sammenhenger en kom fram til i seksjon 1.1.

Ekstremverdier opptrer stort sett i to grupper, én ved relativt lav trafikkettethet (500-1000 kjt/time i Rådhusgaten og 250-750 kjt/time i Øvre Baklandet) og én ved høy trafikkettethet. Ekstremverdiene ved lav trafikk opptrer ofte ved temperaturstabilisering i gaterommet, som beskrevet i seksjon 6.4. Ved høy trafikk opptrer ekstremverdiene oftest i rushtiden om ettermiddagen. De skyldes da sannsynligvis høyt CO-utslipp på grunn av dårlig trafikkavvikling.

Figurene viser at spredningen omkring regresjonslinjen er stor. Typisk ligger ekstremverdiene en faktor 2.5-3.5 høyere enn middelverdien.

Lineære regresjonslinjer er inntegnet på figurene. I Rådhusgaten er de nær vannrette, noe som betyr at utsippet her i middel er nær uavhengig av trafikkettettheten, helt opp til maksimal trafikkettetthet. Kødannelsen i rushtiden fører altså normalt ikke til økt middelutslipp, bortsett fra i enkelte tilfeller med svært dårlig trafikkavvikling, som gir ekstremverdier i plottene.

I Øvre Baklandet er regresjonslinjen nær vannrett for vinterperioden, mens den for sommerperioden stiger mot økende trafikkettetthet. I følge regresjonslinjen ligger da om sommeren middelutslippet ved 1500 kjørerøy/time 40% høyere enn ved 500 kjørerøy/time. Dette kan tyde på en større tendens til kødannelse ved målestedet i sommerperioden enn i vinterperioden, ved en gitt trafikkettetthet.

I Langgaten i Holmestrand øker normalisert CO-nivå sterkt mot de høye trafikkettetheter. Dette skyldes hovedsakelig at målestedet er ca 15 m bak et trafikklys. Ved økt trafikk øker frekvensen av kø ved målestasjonen. Et medvirkende forhold er også at ved de ekstreme belastninger overskrides gatens trafikk-kapasitet vesentlig med svært lange køer som resultat.

Forurensningens avhengighet av trafikkettettheten kan altså variere svært for ulike gater og ulike plasseringer i kvartalet.

1.6 Variasjon i konsentrasjon langs et kvartal

Spredningsforsøkene med tracer-gass (SF_6) som ble utført i Rådhusgaten i januar-februar 1979 indikerte at forurensningsnivået ikke er konstant langs kvartalet. Det ble gjort målinger i to snitt på tvers av veien, ca 25 m (snitt B) og ca 50 m (snitt C) fra det nærmeste kryss mot kjøreretningen, som vist i figur 1.15.

Tabell 1.1 viser forholdet mellom middelkonsentrasjonen av SF₆ i snitt B og snitt C. Middelverdien er beregnet fra punktene 2,5,11 og 17 m over bakken på begge sider. SF₆-utsippet ble som tidligere nevnt foretatt ved eksosrøret på biler som fulgte med i trafikken, og tracer-gassen ble sluppet ut i hele gatens lengde.

*Tabell 1.1: Resultater av SF₆-målinger i Rådhusgaten.
Forholdet mellom SF₆-konsentrasjonen i snitt C og
snitt B.*

Tid	<u>Snitt C</u> <u>Snitt B</u>	Vindhast. gate m/s	Vindhast. tak m/s	Vindretn. tak i forhold til gate
6.2.79 kl 0810-0830	1.75	1.35	1.6	20°
6.2.79 " 1100-1115	1.34	1.35	0.9	50°
6.2.79 " 1430-1445	1.36	1.35	1.0	90°

Resultatene indikerer en betydelig økning i konsentrasjon fra krysset og nedover i kvartalet i kjøreretningen. Økningen var størst i første test, da vinden blåste nesten parallelt med gaten. Krysset representerer en mulighet for utlufting som reduserer konsentrasjonen ved inngangen til kvartalet. Konsentrasjonen bygger seg så opp langs kvartalet mot neste kryss. Dette gjelder SF₆. Variasjonen av CO og andre utslippskomponenter vil sannsynligvis være noe forskjellig, fordi krysset i tillegg til utlufting, også gir mulighet for tilskudd av forurensning fra sidegatene.

Overlagret den beskrevne variasjonen langs kvartalet vil være den variasjonen som skyldes kødannelser ved trafikklys i gaten. I SF₆-eksperimentet i Rådhusgaten fulgte utslippsbilene med trafikken som er "grønn bølge"-regulert, slik at SF₆-bilene aldri ble stående for rødt lys ved kryssene.

Dette er et eksempel på hvordan forurensningsnivået kan variere langs kvartalet i en enveiskjørt gate, der vindretningen i gaterommet nesten alltid er i retning av trafikken. Se forøvrig Del I, kapittel 6.

1.7 Variasjon med gaterommets dimensjoner

I et gaterom hindres utluftingen av forurensningsutslippen i gaten av husfasadene langs gaten. Gaterommets to viktige dimensjoner er gateromsbredden og fasadehøyden.

I ellers like gater er det rimelig å tro at konsentrasjonen av forurensning nær bakken blir mindre, jo større gateromsbredden er. Bilturbulensen blander bakkesjiktet mer eller mindre effektivt og luftvolumet av bakkesjiktet er proporsjonalt med bredden. I første tilnærming kan en derfor sette at forurensningen i bakkesjiktet i et gaterom er omvendt proporsjonal med gateromsbredden.

Stanford-modellen forutsetter at utluftingen av gaterommet i hovedsak skjer ved hjelp av den beskrevne virvel i gaterommet. I første tilnærming vil ikke da fasadehøyden være av vesentlig betydning, forutsatt at virvelen settes opp. Om man istedet antar at utluftingen av gaterommet mellom kryss skjer ved turbulent diffusjon opp og utlufting over tak, vil fasadehøyden være med å bestemme konsentrasjonen i gaterommet.

I figur 1.16 er normaliserte CO-verdier for ulike gater plottet som funksjon av gaterommets høyde/bredde-forhold. CO-konsentrasjonen er normalisert med hensyn på vindstyrke, gateromsbredde og trafikktetthet. Det er bare tatt med gater, der målepunktet lå nær midt i kvartalet. En har også begrenset seg til gater med nær samme middelutslipp pr kjøretøy for best mulig å isolere den effekt som H/B-forholdet representerer. En har ikke da et omfattende nok sett av norske målesteder. En har derfor valgt å antyde H/B-forholdets betydning ved hjelp av data fra Øvre Bakklandet i Trondheim, og fra Sveavägen (SVEA) og Döbelnsgatan (DB) i Stockholm (2). Punktene i figuren representerer alle april-måned. For SVEA og DB representerer nedre punkt for gatens vind-side og øvre punkt for gatens leside. En har antatt samme midlere CO-utslipp pr kjøretøy i alle gatene.

Figuren antyder et økende forurensningsnivå med økende H/B-forhold. I første tilnærming kan en sette $CO \propto 1+a \cdot H/B$, hvor a har en verdi i underkant av 1.0. Dette data-settet er svakt, og verdien på a kan ikke sies å ha blitt godt bestemt.

1.8 Variasjon med høyden over gatenivå

Under SF_6 -eksperimentene i Rådhusgaten ble det utført målinger av SF_6 i fire ulike høyder over gaten mellom 2 meters og 17 meters høyde. Figur 1.17 viser resultatene av SF_6 -målingene som funksjon av høyden. I figurene er også plottet inn Stanford-modellens prediksjon. Verdiene er justert slik at målingene faller sammen med Stanford-modellen ved 2 meters høyde. SF_6 -verdiene er 15-minutters middelverdier.

Målingene ga en høydefordeling som ofte stemmer ganske godt overens med Stanford-modellen, spesielt på vindsiden, og når vinden blåser langs gaten. På lesiden kan det være større uoverensstemmelser. Målingene gir ofte en raskere reduksjon med høyden, spesielt fra 2 til 5 meter, men det motsatte kan også være tilfelle. Uoverensstemmelsen på lesiden synes å være like stor både ved lav og høy vindhastighet.

Stanford-modellen predikterer en mindre reduksjon med høyden på lesiden enn på vindsiden. Forskjellen øker med økende vindhastighet over tak. Resultatene i figuren viser at den lineære reduksjon med høyden på vindsiden som modellen predikterer, ($C \propto 1-Z/H$, hvor Z er målepunktets høyde og H er fasadehøyden), ofte også passer bedre på lesiden enn modellens leside-formel. I første tilnærming synes det derfor rimelig å anvende vindside-formelen generelt til å prediktere forurensningens reduksjon med høyden over gaten i et gaterom.

I Stockholm ble det i 1976 utført CO-målinger i tre høyder (3, 10 og 30 meter over gaten) i to ulike gaterom (2). Figurene 1.18 og 1.19 gir resultatene, som er plottet på basis av tall presentert i referansen. Stanford-modellens vindside-formel er plottet inn. En ser at på Sveavägen klarer ikke Stanford-modellen

å prediktere vindsiden godt. Også i Döbelnsgatan er det relativt stort avvik på vindsiden, spesielt når en ser på gatens østside. For lesiden, og når vinden blåser langs veien, predikterer Stanford-modellens vindsideformel reduksjonen med høyden ganske bra, når en ser på den nedre halvdel av gaterommet.

Det er utført bare få målinger ved høyder lavere enn 2-3 meter. I februar-mars 1980 ble det utført samtidige døgnmålinger av sot og bly 1 meter og 2 meter over gatenivå i St.Olavs gate i Oslo. I middel over en 28-dagers periode var sotnivået i 1 meters høyde 11% høyere enn i 2 meter, mens tilsvarende økning for bly var 4%.

1.9 Ekstremverdier

De høyeste absolutte forurensningskonsentrasjoner i gaterom opptrer ved alle målesteder når trafikkbelastningen er størst, og trafikkavviklingen dårligst, det vil si under rushtrafiktidene, og når spredningsforholdene samtidig er ugunstige.

Det er av interesse å få en kvantitativ oversikt over hvilke trafikkforhold og værforhold som er assosiert med ekstreme forurensningsverdier ved de ulike målesteder. Tabell 6.2 viser 95-, 98- og 99-prosentiler samt middelverdien av CO ved flere målesteder og perioder med samhørende verdier av trafikketthet (TT) og vindstyrke (VV). Verdiene er beregnet ved å rangere CO-verdiene for en viss periode fra høyeste verdi og nedover. En har beregnet middelverdien av CO, TT og VV for de 6-10 tilfeller som grupperer seg rundt hver prosentil, istedet for å gå rett på den enkelte observasjon som eksakt representerer prosentilen. De verdier som er gitt i tabell 1.2 er derved bedre egnet til prediksjon enn de enkelttilfeller som eksakt representerer en prosentil.

Ved alle målestedene opptrer 98- og 99-prosentilene ved timestrafikk nær eller i underkant av 10% av midlere døgntrafikk for perioden. O.H.gt i Sarpsborg skiller seg noe ut fra de andre med timestrafikk på bare 7-8% av døgntrafikken.

Tabell 2: Middelverdi og prosentiler av CO sammen med tilhørende verdier av trafikksettet (TT^2) og vindstyrke (VV).

Målesteds Periode	Middelverdier			95-prosentil			98-prosentil			99-prosentil		
	CO	VV	TT^1	CO	VV	TT^2	CO	VV	TT^2	CO	VV	TT^2
<u>Rådhussgt, Oslo</u>												
Jan 1979	6.7	2.2	26900	17.0	2.1	2150	20.9	2.2	2440	23.4	1.9	\simeq 2300
Feb 1979	7.4	2.1	26900	18.9	1.7	1970	23.1	1.8	2170	28.8	1.3	2170
Mar 1979	4.7	3.3	26900	14.3	2.0	\simeq 2300	18.0	2.1	2390	19.8	2.6	\simeq 2450
<u>Øvre Bakklandet, Trondheim</u>												
Jan-feb 1978	7.3	\simeq 1.5	15100	20.6	0.7	1260	24.4	0.95	1390	27.3	1.0	1510
Mar 1978	4.8	\simeq 2.0	15100	13.6	0.4	1010	17.9	0.35	1170	19.7	0.35	1290
Jun 1978	4.9	1.4	16800	-	-	-	17.3	1.0	1450	19.7	1.2	1470
<u>O.H.qt, Sarpsborg</u>												
Jan-mar 1978	2.2	\simeq 2.4	8900	5.7	1.8	550	7.6	1.9	600	9.5	2.1	620
Jun 1978	1.7	\simeq 2.6	14200	4.1	1.3	840	6.2	1.9	1000	7.2	2.6	1100
<u>Langtg. Holmestrand</u>												
Aug 1974	3.9	1.4	11800	11.5	1.7	1100	17.9	1.4	1120	22.0	1.0	1200

CO - mg/m³
 VV - m/s
 TT^1 - kjøreretøy/døgn
 TT^2 - kjøreretøy/time

Vindstyrken for 98- og 99-prosentilen er generelt lavere enn midlere vindstyrke. Hvor mye lavere varierer imidlertid ganske mye fra sted til sted. I Sarpsborg er det nesten ingen forskjell mellom midlere vindstyrke og vinden ved 98- og 99-prosentilene for forurensning, mens den om vinteren ved Bakklandet i Trondheim er vesentlig lavere enn middelverdien.

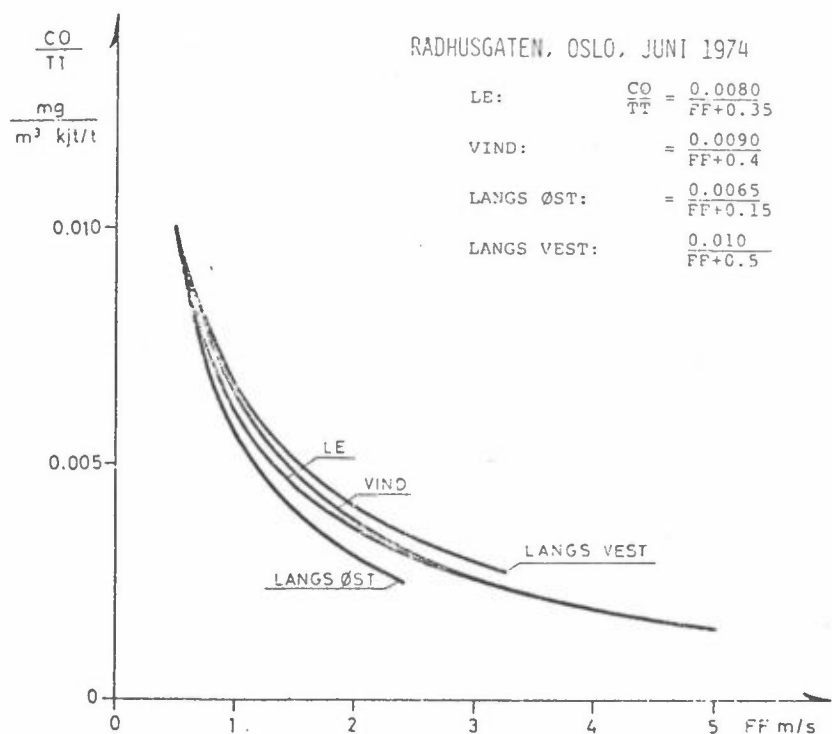
Disse kombinasjonene av trafikk og vind gir da de forhold mellom prosentilene og middelverdien for CO ved de ulike målesteder som er gitt i tabell 1.3.

Tabell 1.3: Forholdet mellom prosentiler og middelverdi, CO.

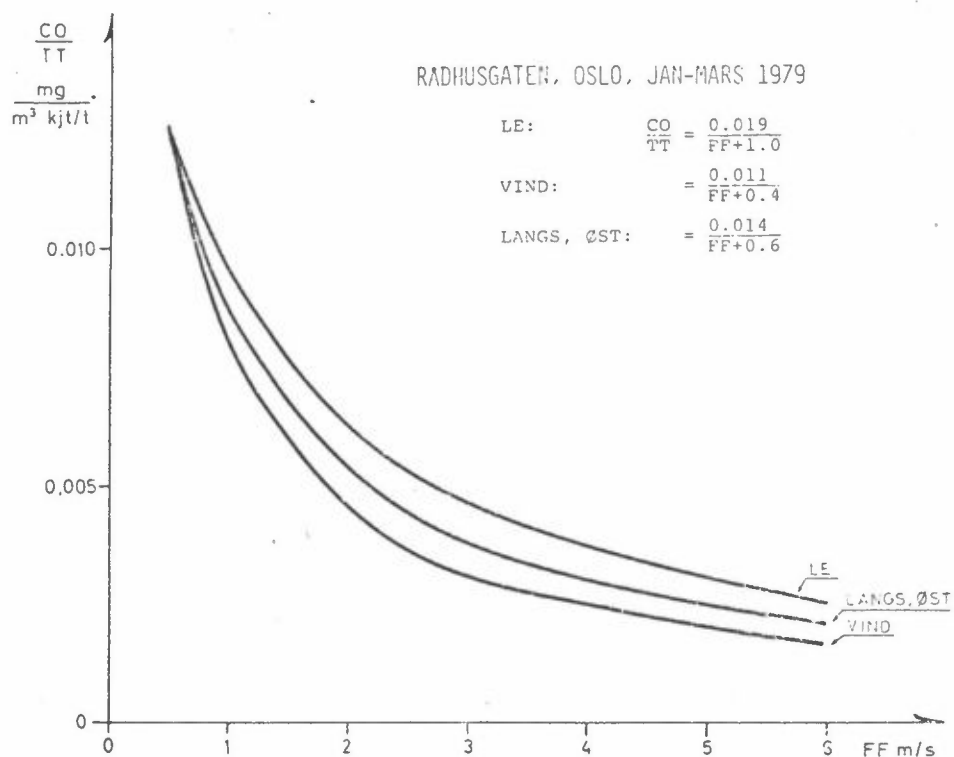
	95% middel	98% middel	99% middel
<u>Rådhusgaten</u>			
Jan 79	2.5	3.1	3.5
Feb 79	2.6	3.1	3.9
Mar 79	3.0	3.8	4.2
<u>Øvre Bakklandet</u>			
Jan-feb 78	2.8	3.3	3.7
Mar 78	2.8	3.7	4.1
Jun 78	-	3.5	3.9
<u>O.H.gt</u>			
Jan-mar 78	2.6	3.5	4.3
Jun 78	2.4	3.6	4.2
<u>Langgaten</u>			
Aug 74	2.9	4.6	5.6

Langgaten, Holmestrand skiller seg ut med høye ekstremverdier i forhold til middelverdien. Årsaken ligger i trafikkforløpet på dette målestedet. Om sommeren er det her trafikktopper som langt overstiger gatens kapasitet. De opptrer i helgene som gjennomfarts-trafikk i forbindelse med ferie og weekendturer.

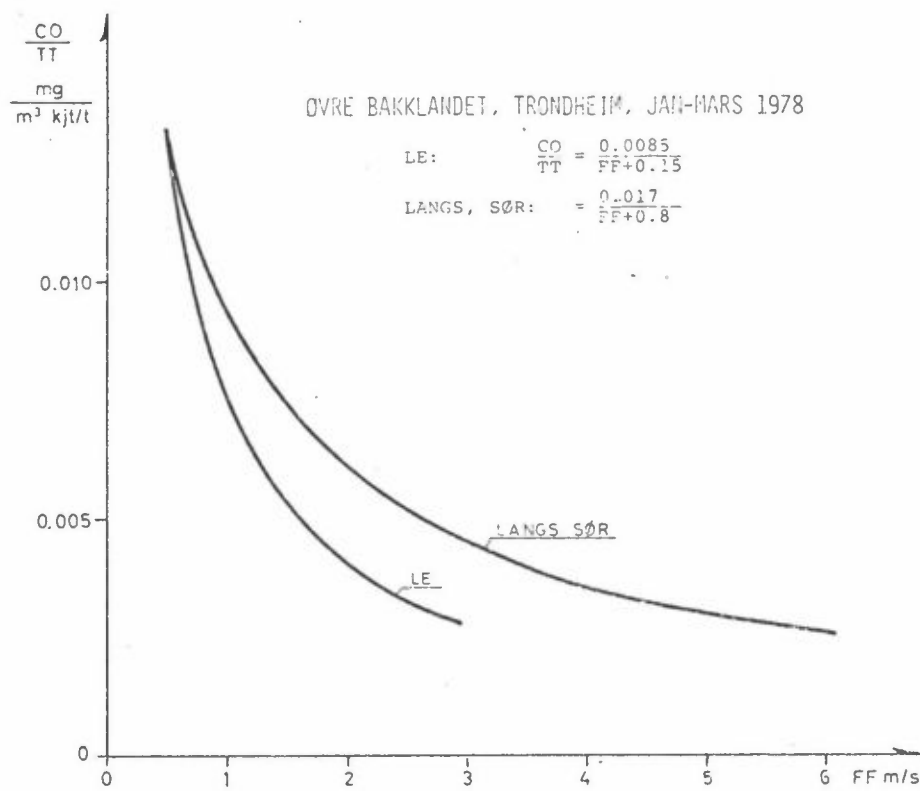
Analysen antyder at man kan prediktere ved hvilken trafikktethet, i forhold til middeltrafikk, ekstremprosentilene av forurensning opptrer. Det er ikke så stor regularitet i vindstyrken når det gjelder muligheten til å prediktere ved hvilken vindstyrke ekstremprosentilene opptrer. Sannsynligvis er det ofte i større grad dårlig trafikkavvikling enn lav vindstyrke som gir ekstremkonsentrasjonene, men de to effekter virker selvfølgelig sammen. Windstyrken ved ekstremprosentilene er da også oftest mindre enn midlere vindstyrke, som vist i tabell 1.2. Det er imidlertid ikke åpenbart hvilken parameter en skal benytte til å prediktere den vindstyrke en har ved ekstremprosentilene for forurensning, for ulike perioder og gater. Den beste muligheten ligger kanskje ganske enkelt i at en kan estimere en typisk verdi for de laveste vindstyrker som opptrer i den periode av dagen da de største trafikktopper opptrer. Denne verdi vil åpenbart variere mye fra sted til sted og årstid, avhengig av geografisk lokalitet, topografi på stedet og trafikkmønstret.



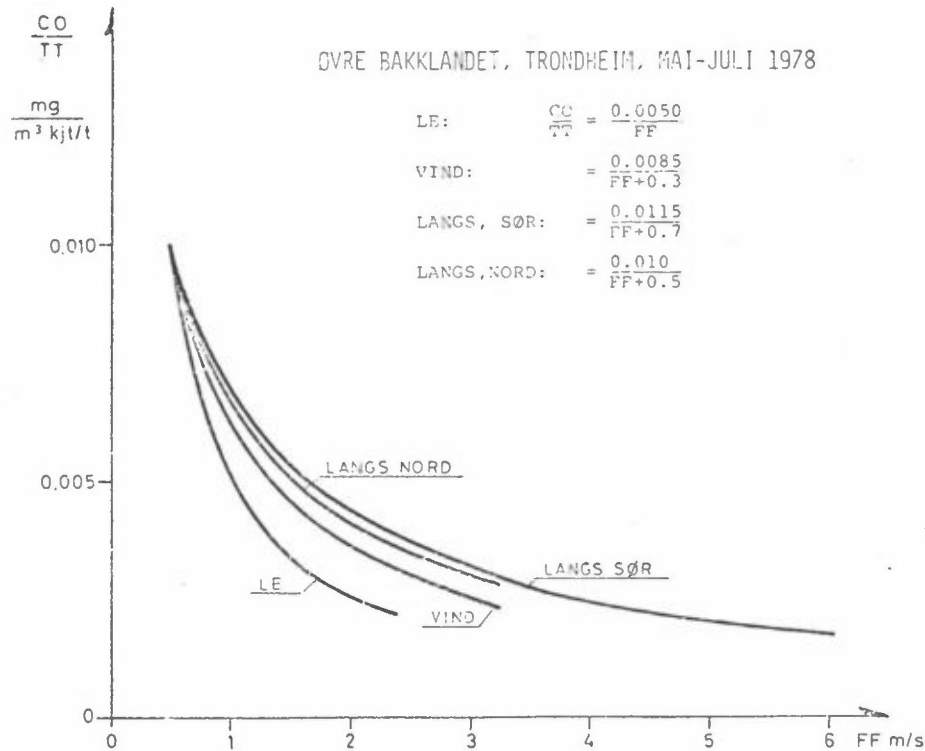
Figur 1.1: Målt variasjon av CO/TT med vindstyrke over tak (FF) og vindretningssektor.
Sammendrag av figurer 1a-d i vedlegget.



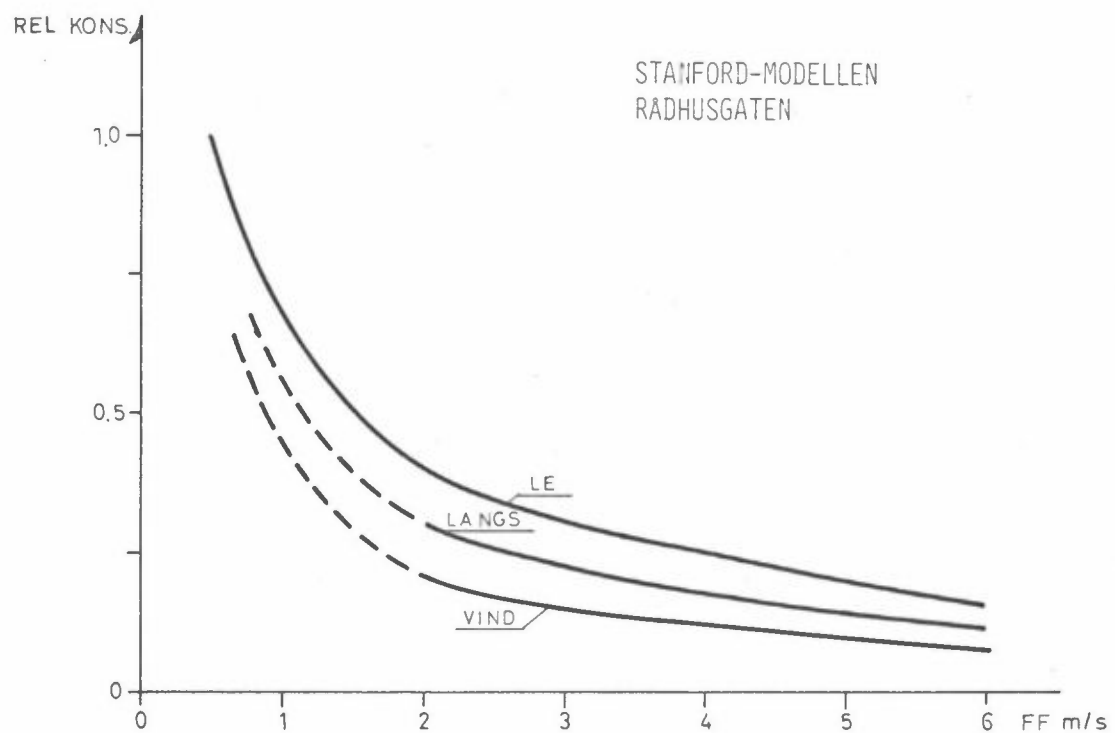
Figur 1.2: Målt variasjon av CO/TT med vindstyrke over tak (FF) og vindretningssektor.
Sammendrag av figurer 2a-c.



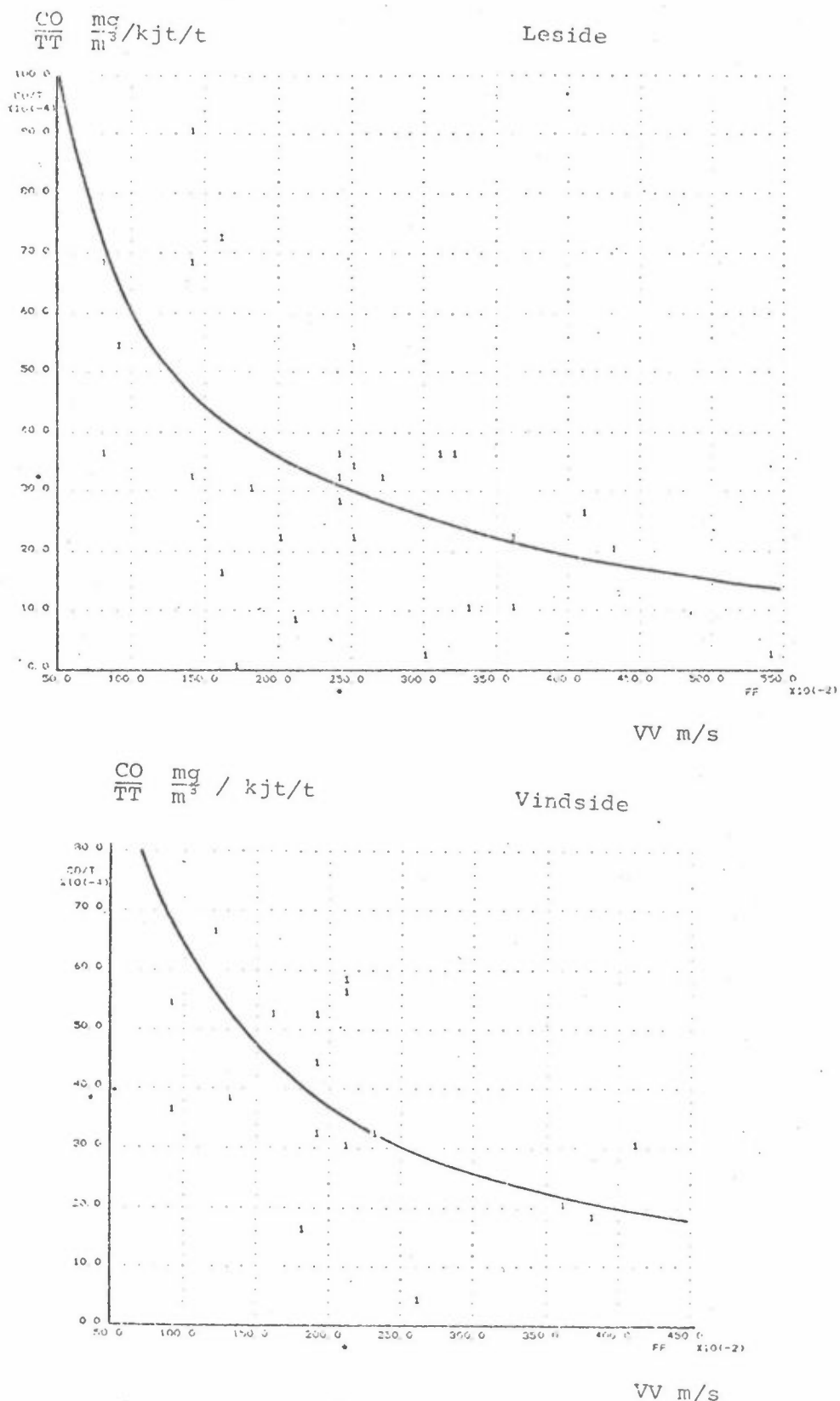
Figur 1.3: Målt variasjon av CO/TT med vindstyrke over tak (FF) og vindretningssektor.
Sammendrag av figurer 3a-b.



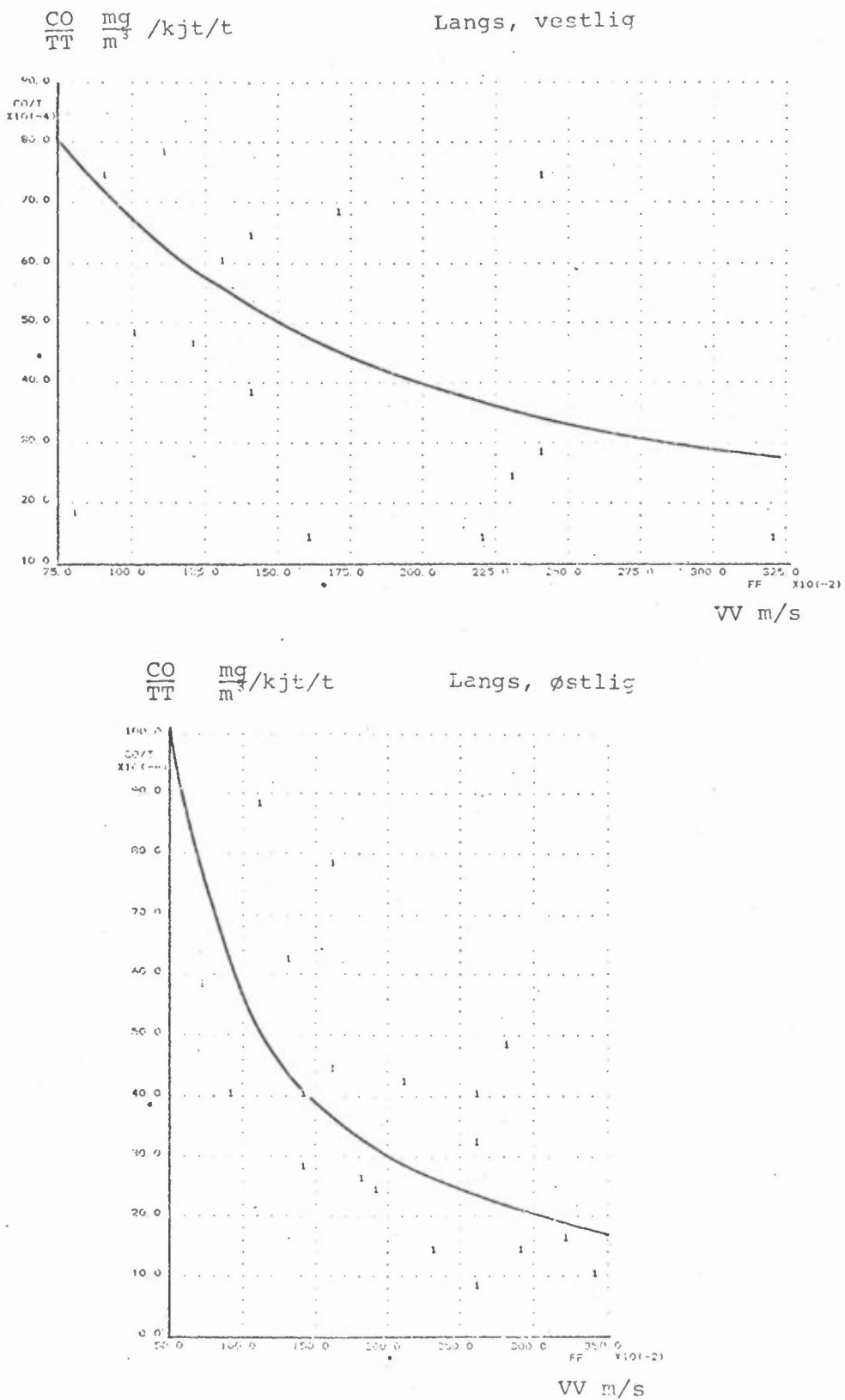
Figur 1.4: Målt variasjon av CO/TT med vindstyrke over tak (FF) og vindretningssektor.
Sammendrag av figurer 4a-d.



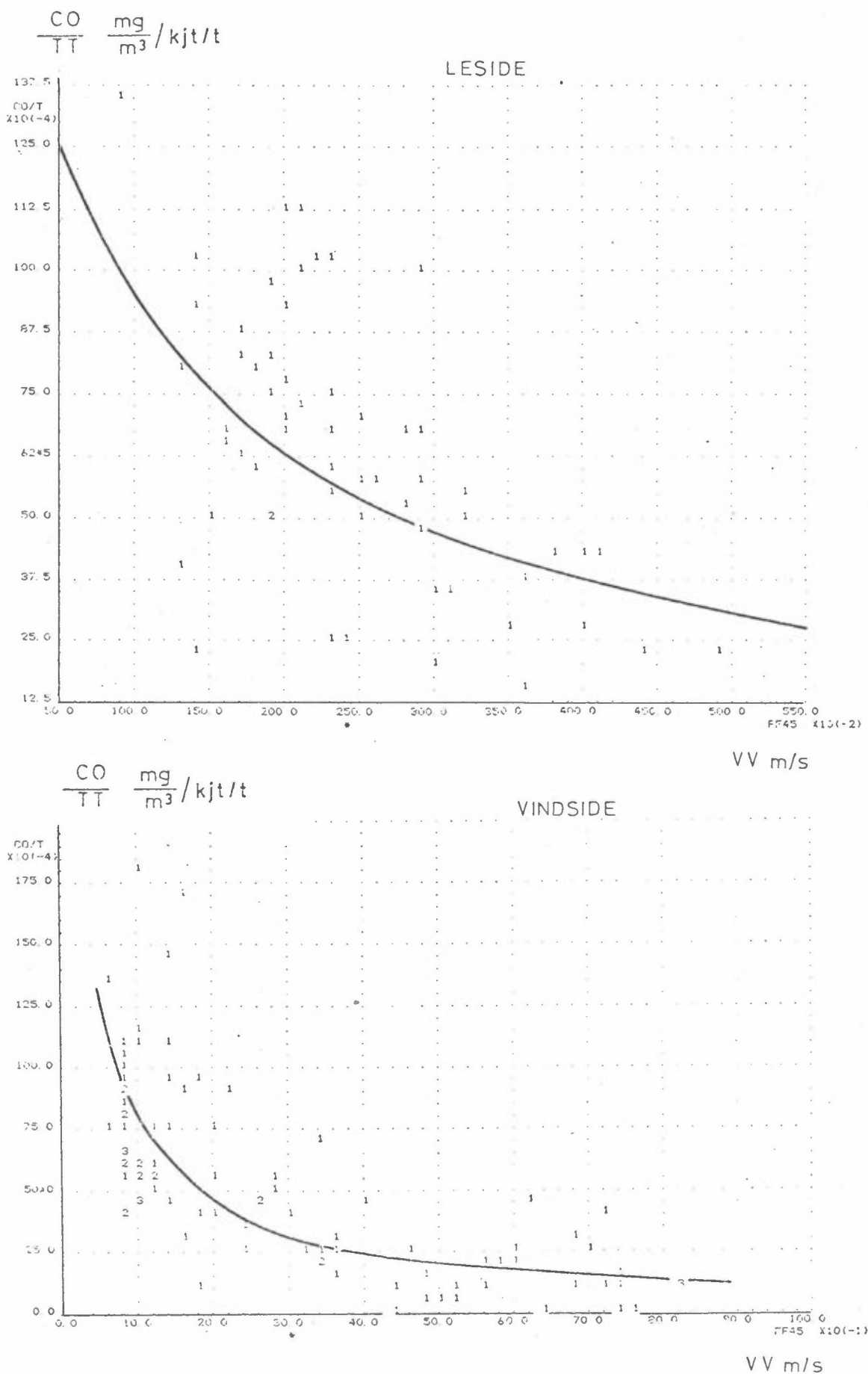
Figur 1.5: Stanford-modellens prediksjon for konsentrasjonens variasjon i Rådhustgata med vindstyrke over tak (FF) og vindretningssektor.



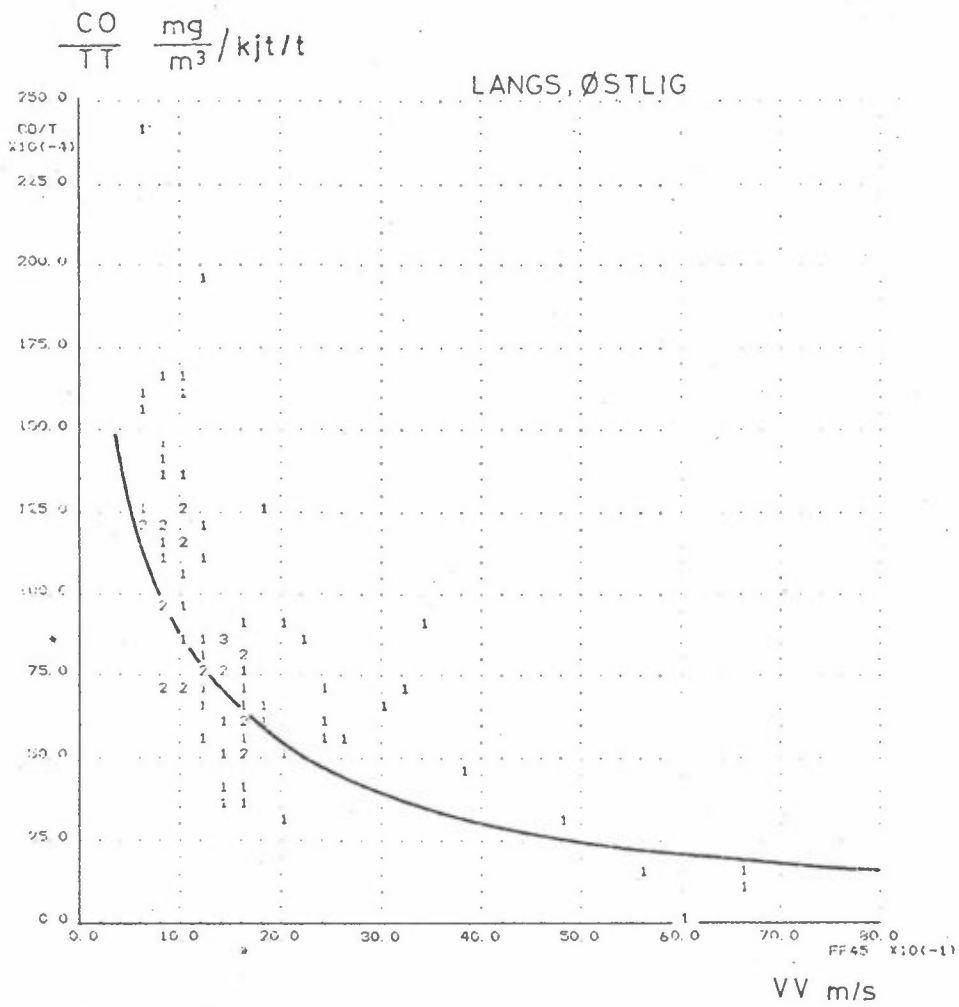
Figur 1.6: Normalisert CO-konsentrasjon (CO/TT) plottet mot vindhastighet (VV) over tak for ulike vindretningssektorer, Rådhusgaten, Oslo, juni 1974.



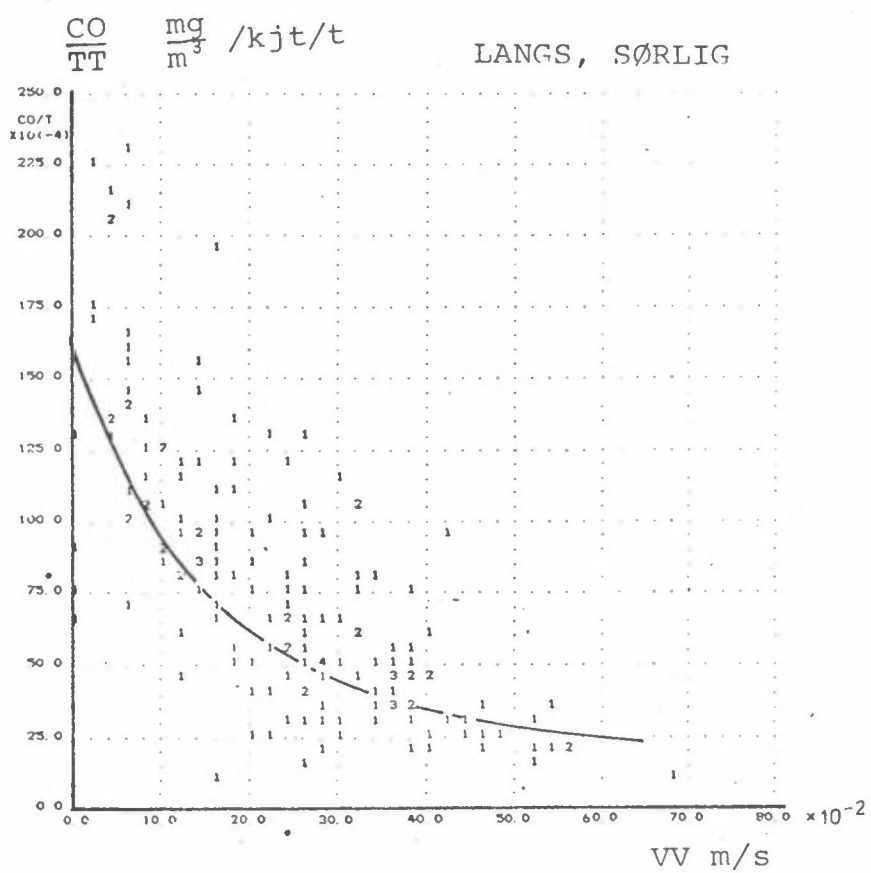
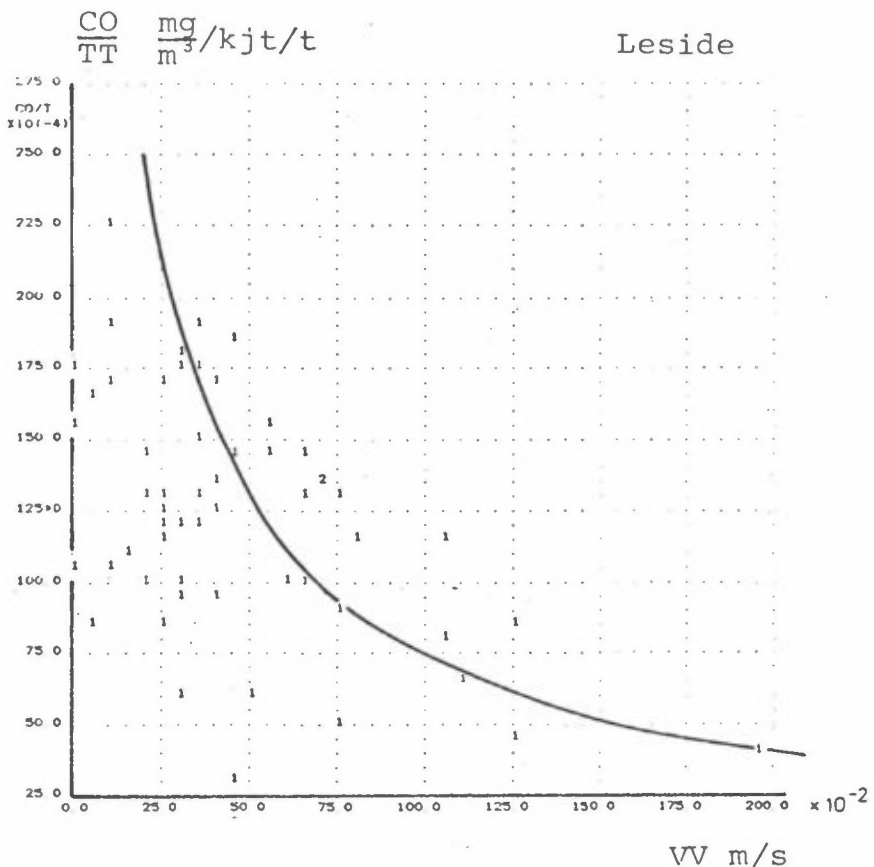
Figur 1.6: forte.



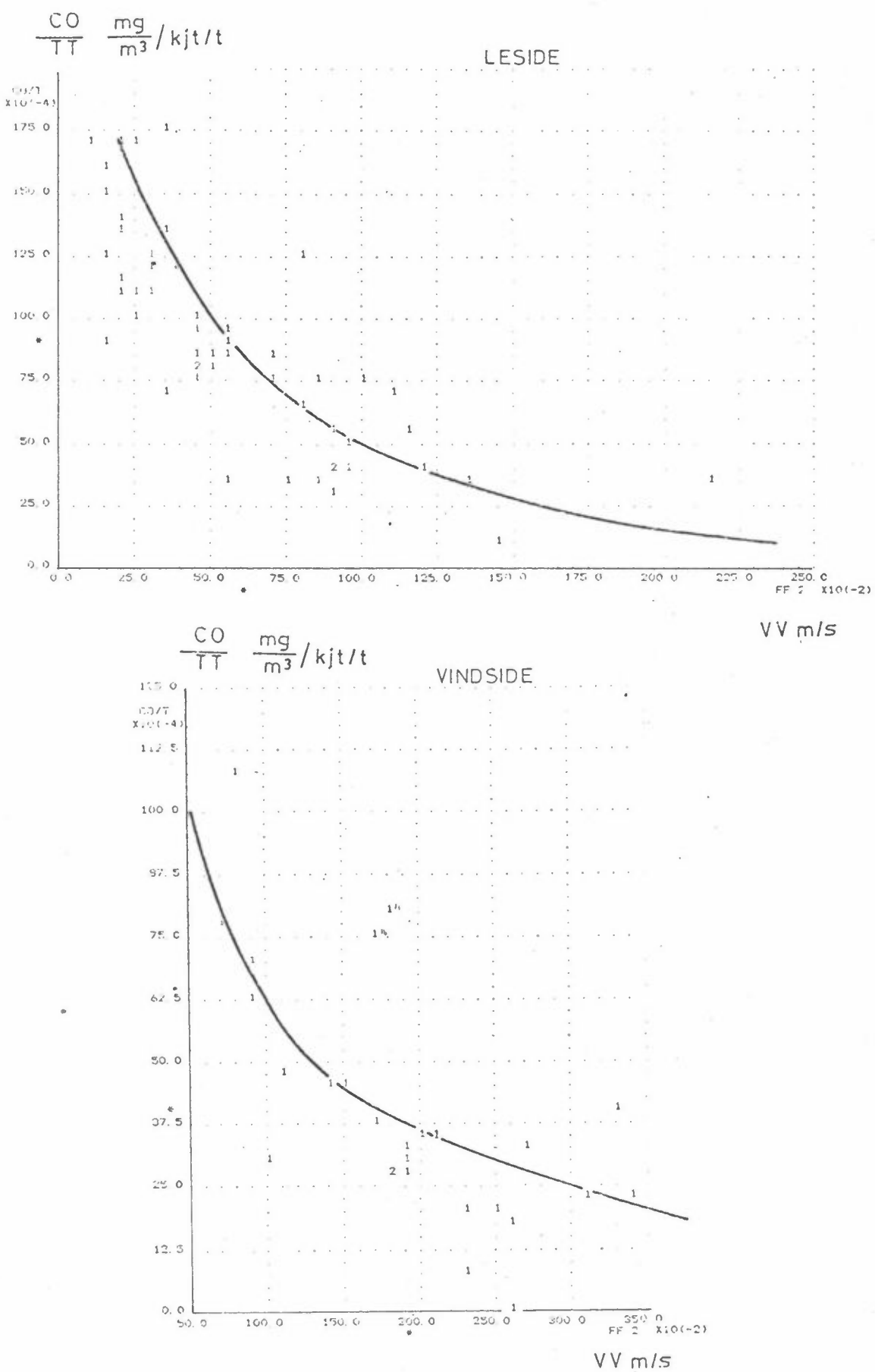
Figur 1.7: Normalisert CO-konsentrasjon ($\frac{CO}{TT}$) plottet mot vindhastighet (VV) over tak for ulike vindretningsektoer, Rådhusgaten, Oslo, januar-mars 1979.



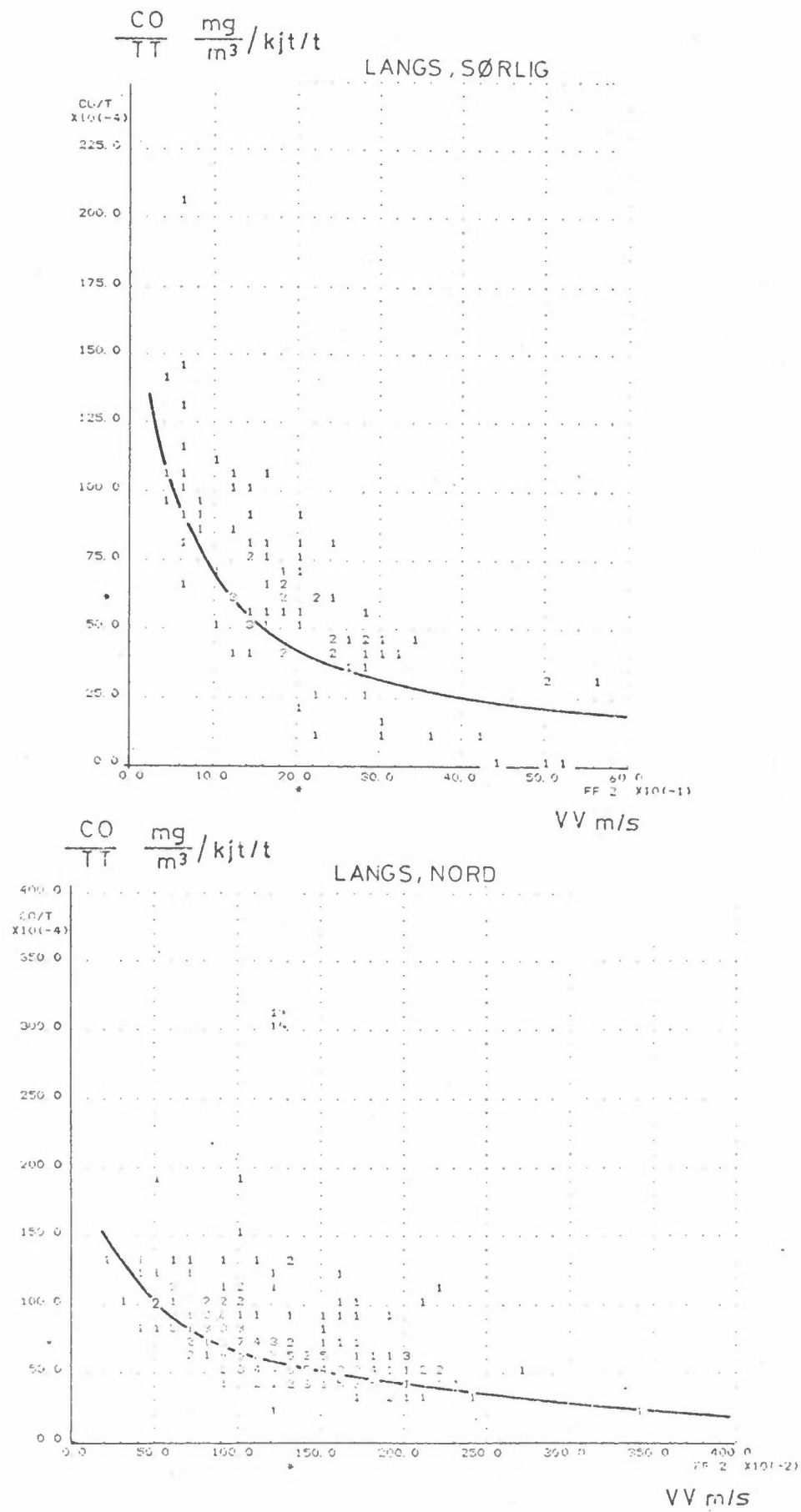
Figur 1.7 forts.



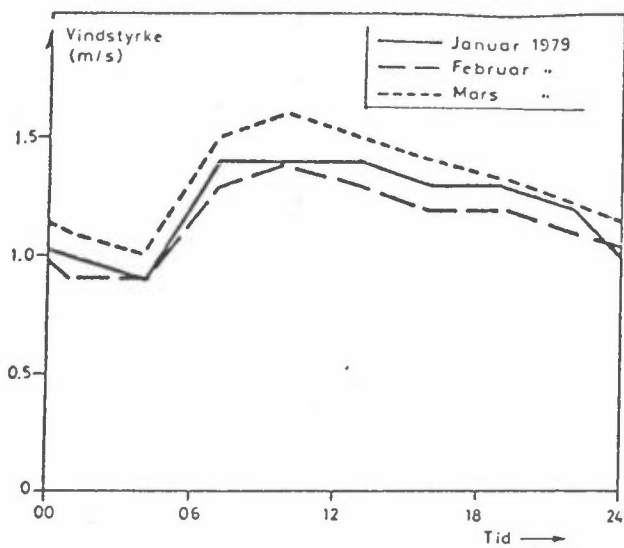
Figur 1.8 : Normalisert CO-konsentrasjon (CO/TT) plottet mot vindhastighet (VV) over tak for ulike vindretningsektorer, Øvre Bakkelandet, Trondheim, januar – mars 1978.



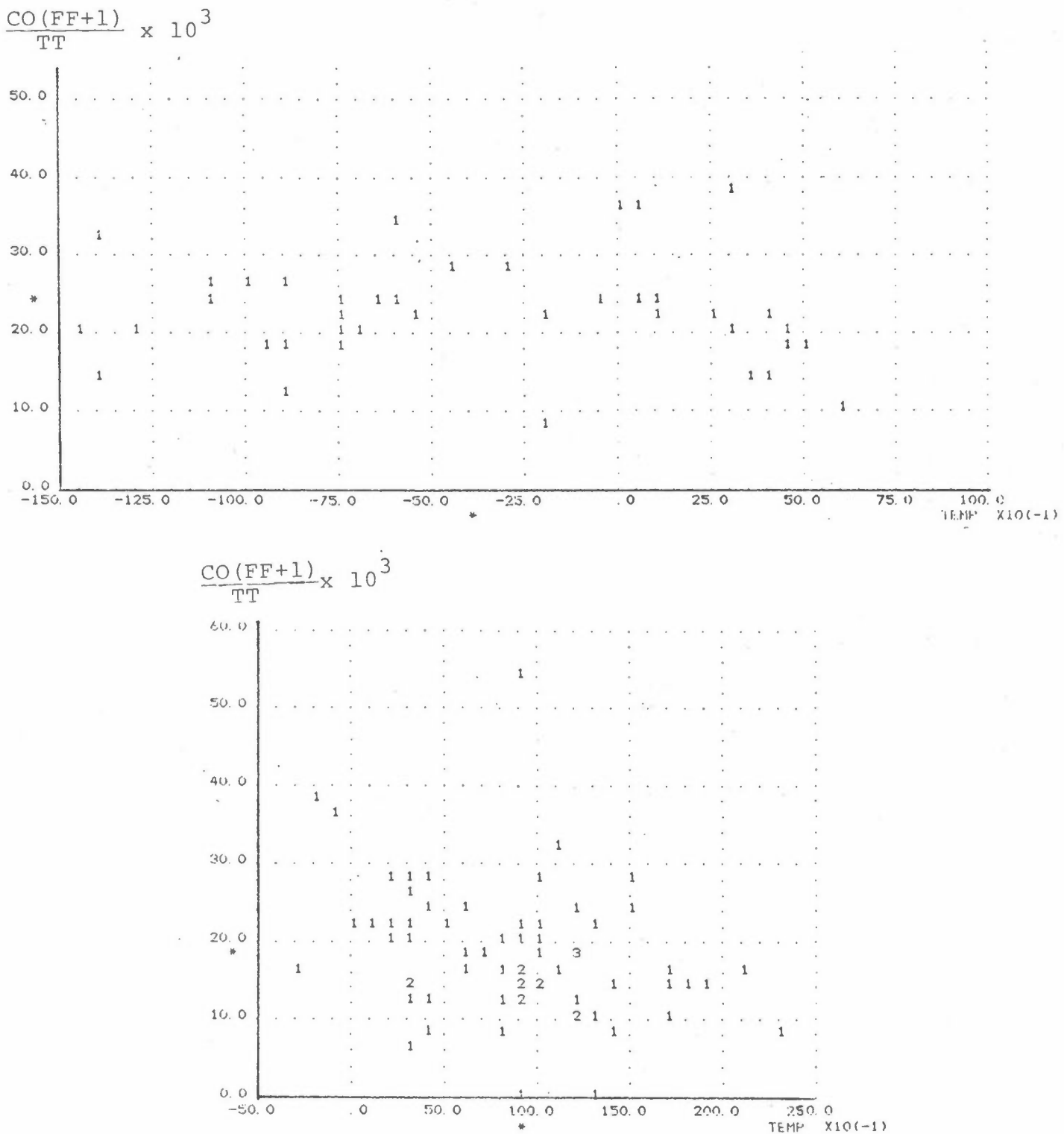
Figur 1.9: Normalisert CO-konsentrasjon (CO/TT) plottet mot vindhastighet (VV) over tak for ulike vindretningsektoerer, Øvre Bakklandet, Trondheim, mai-juli 1978.



Figur 1.9 fortss.



Figur 1.10: Rådhustsgata 3 m. Vindstyrke som funksjon av tid på døgnet.

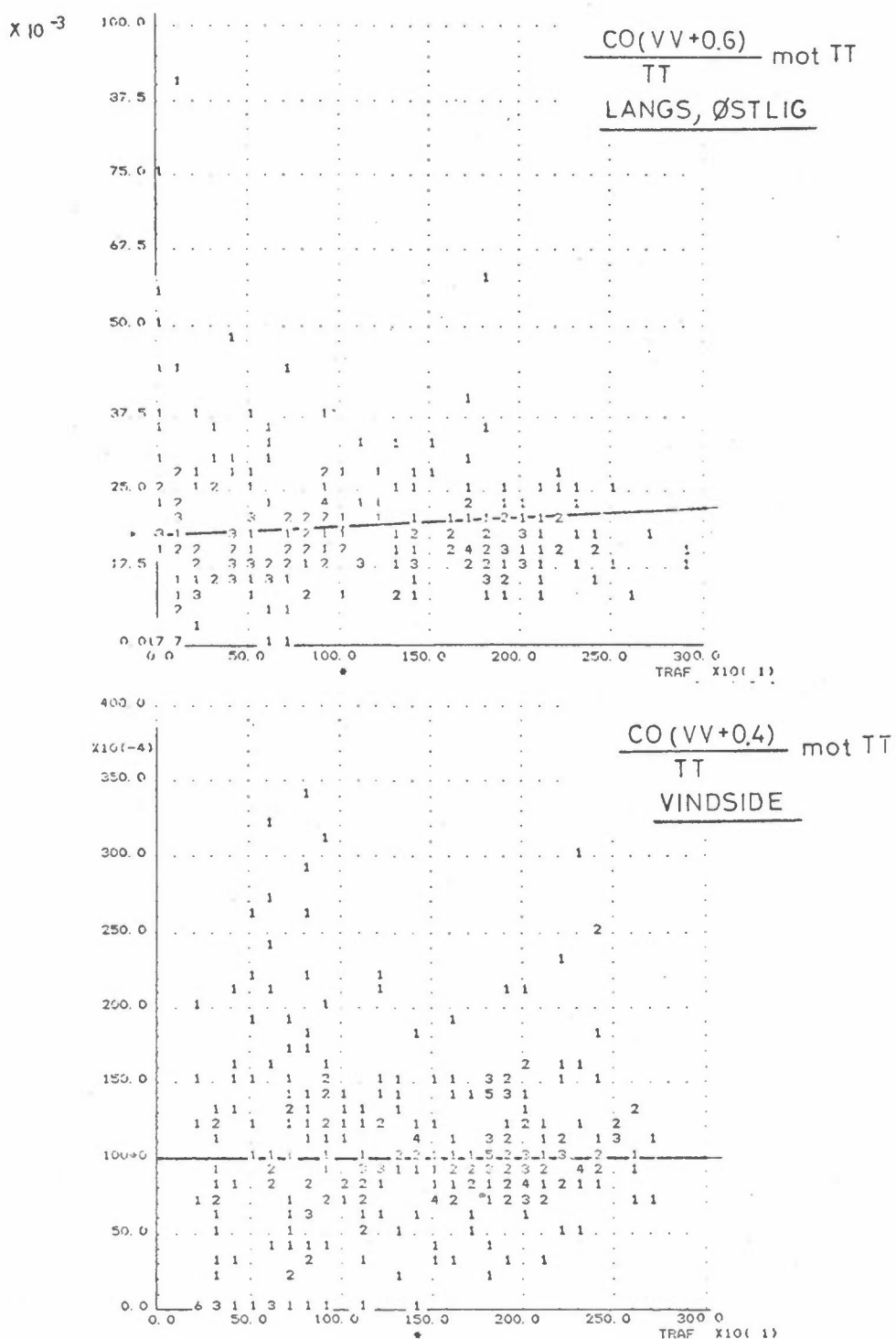


Figur 1.11: Plott av normalisert CO-konsentrasjon mot luft-temperaturen,
Øvre Bakklandet, Trondheim januar-juni 1978.

CO-konsentrasjon mg/m³

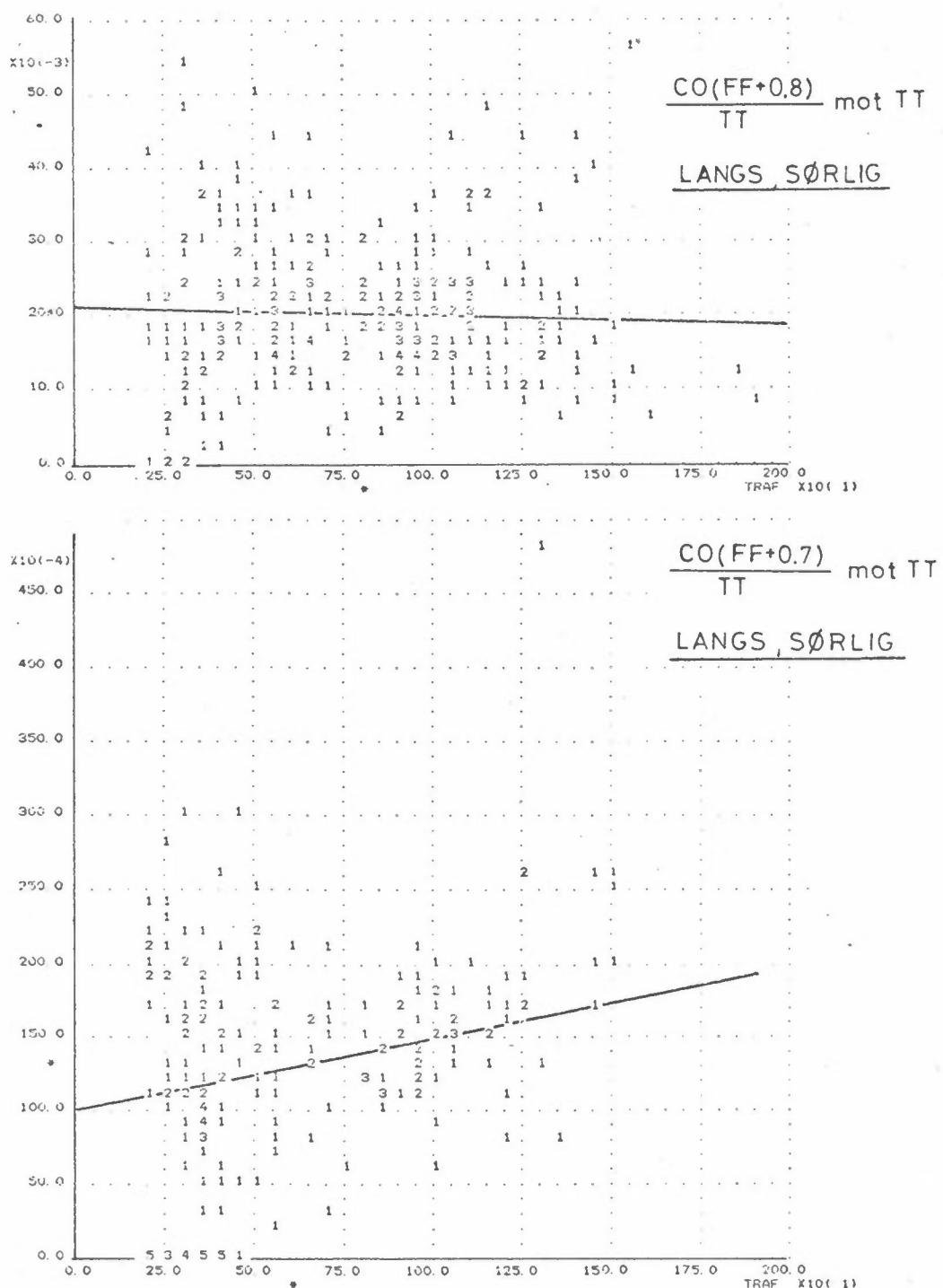
FF-vind over tak, m/s

TT-trafikksettethet, kjt/time

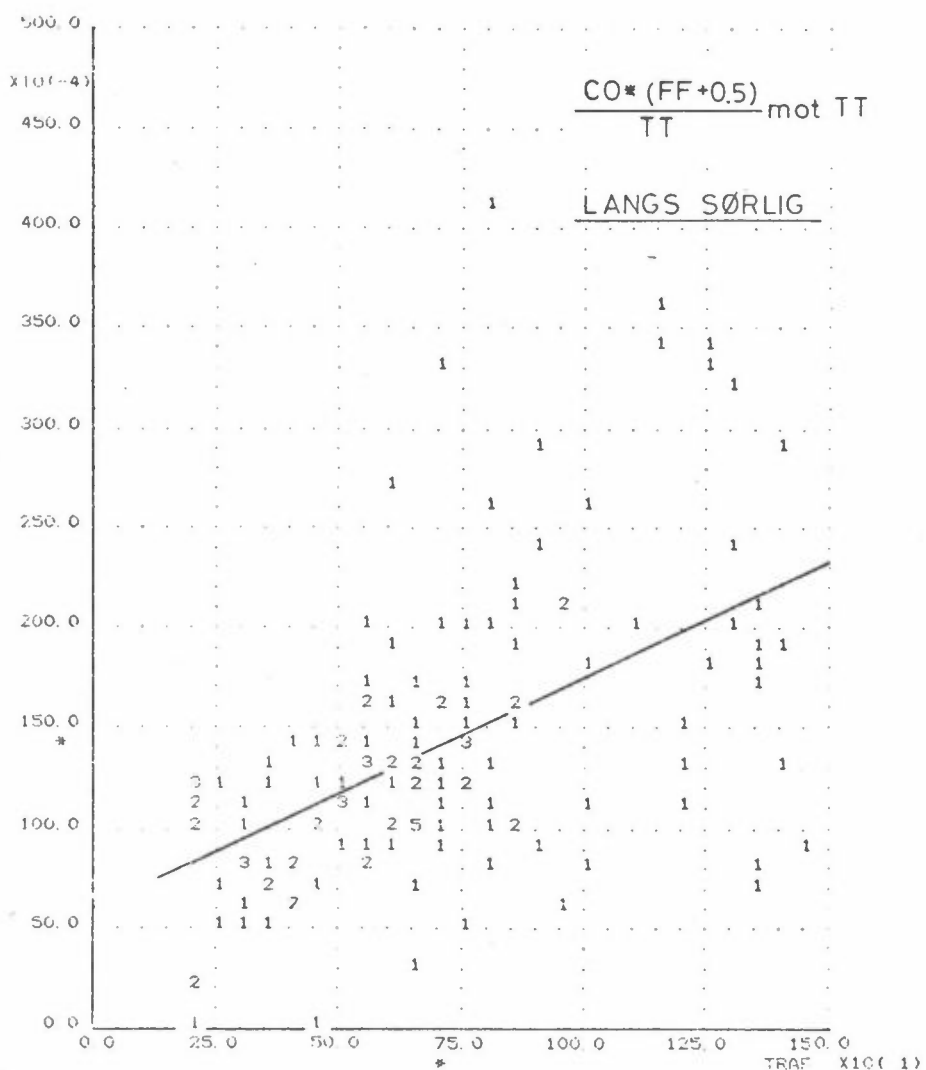


Figur 1.12: Plott av normalisert CO-konsentrasjon mot trafikketetthet. Rådhusgata, Oslo, januar-mars 1979.

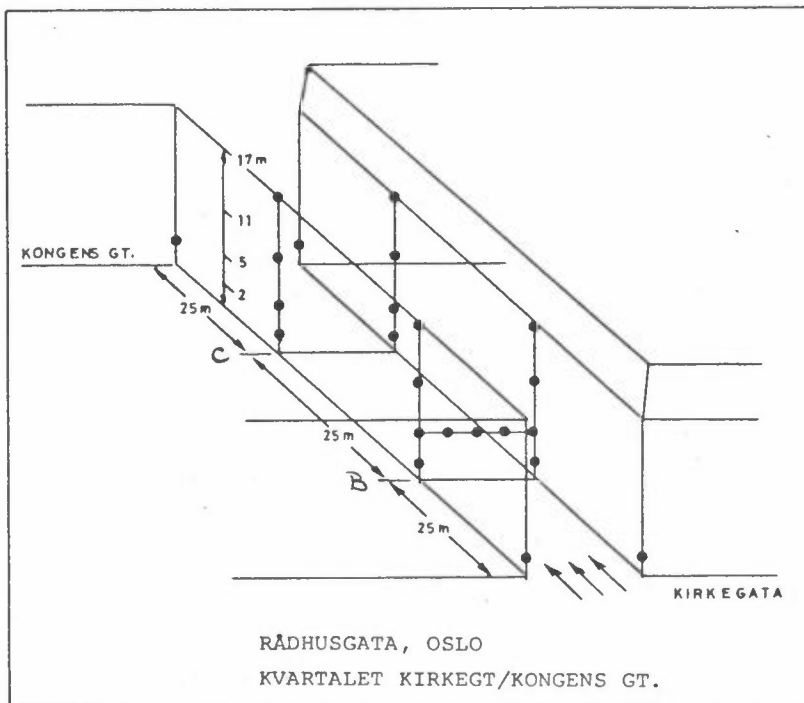
CO-konsentrasjon, mg/m³
VV-vind over tak, m/s
TT-trafikketetthet, kjt/t



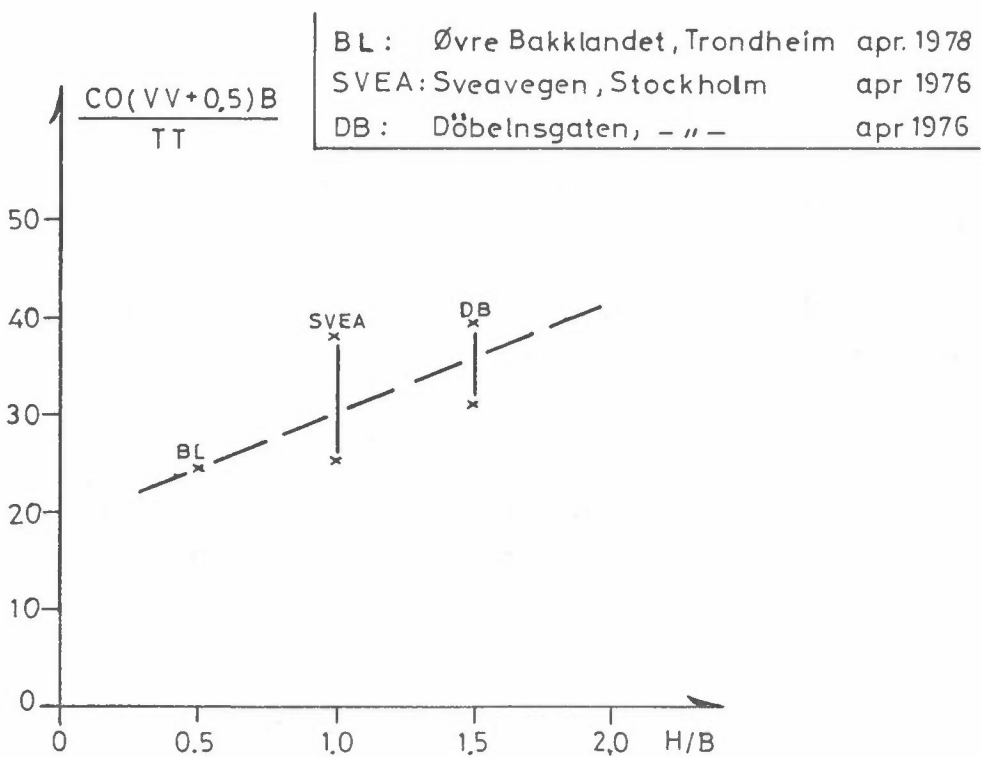
Figur 1.13: Plott av normalisert CO-konsentrasjon mot trafikksettethet. Øvre Bakklandet, Trondheim, januar-mars 1978.



Figur 1.14: Plott av normalisert CO-konsentrasjon mot
trafikkettethet. Langgaten, Holmestrand,
august 1974.

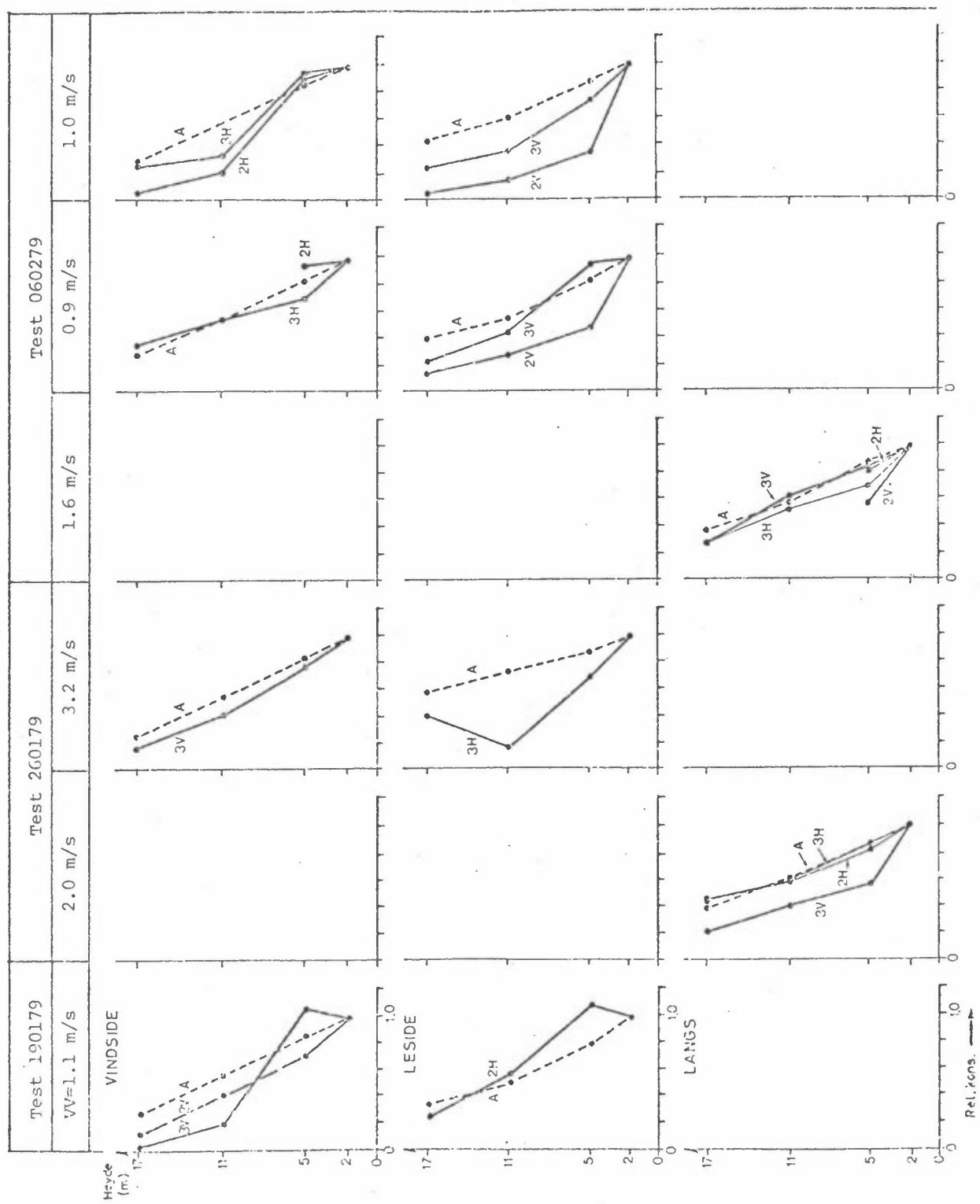


Figur 1.15: Plassering av målepunkter for prøvetaking av SF_6 og CO i 25/50 ml automatiserte plastsprøyter. (Punktene var ca 0.5 m fra veggen, bortsett fra hjørnepunktene, som var montert på trafikklys-stolper på hjørnet av fortau).



Figur 1.16: Normalisert CO-konsentrasjon plottet for tre gater som funksjon av gaterommets høyde/bredde-forhold

VV - vindstyrke, m/s
 B - gateromsbredd, m
 TT - trafikktetthet, kjøretøy/time
 CO - mg/m³.

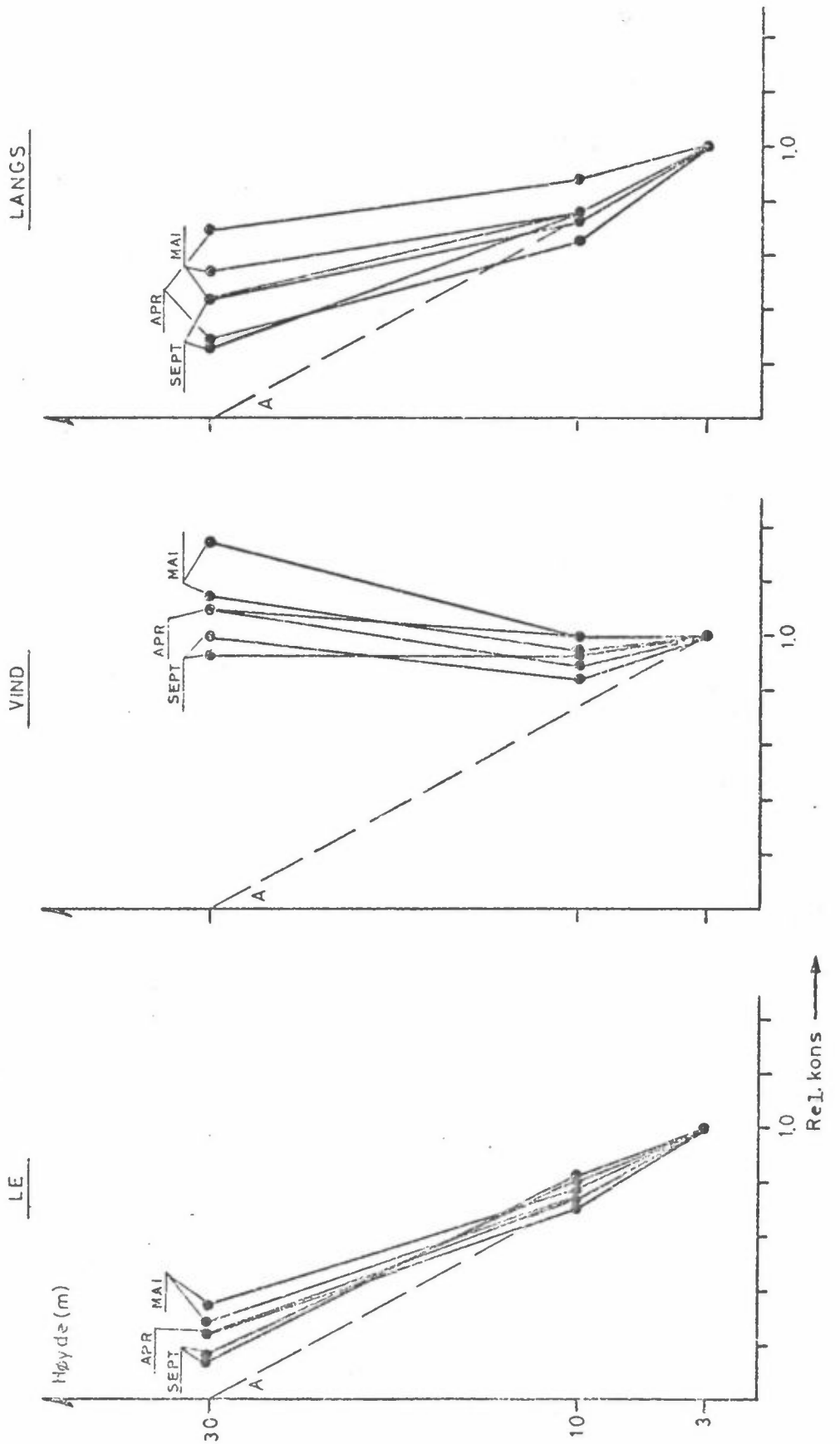


Figur 1.17: Resultater av spredningsmålinger med SF₆ tracergass i Rådhusgata 1979. Forurensningens fordeling med høyden.

2,3: Snitt 2 og snitt 3, hhv. 25 og 50 meter fra krysset med Kirkegata.

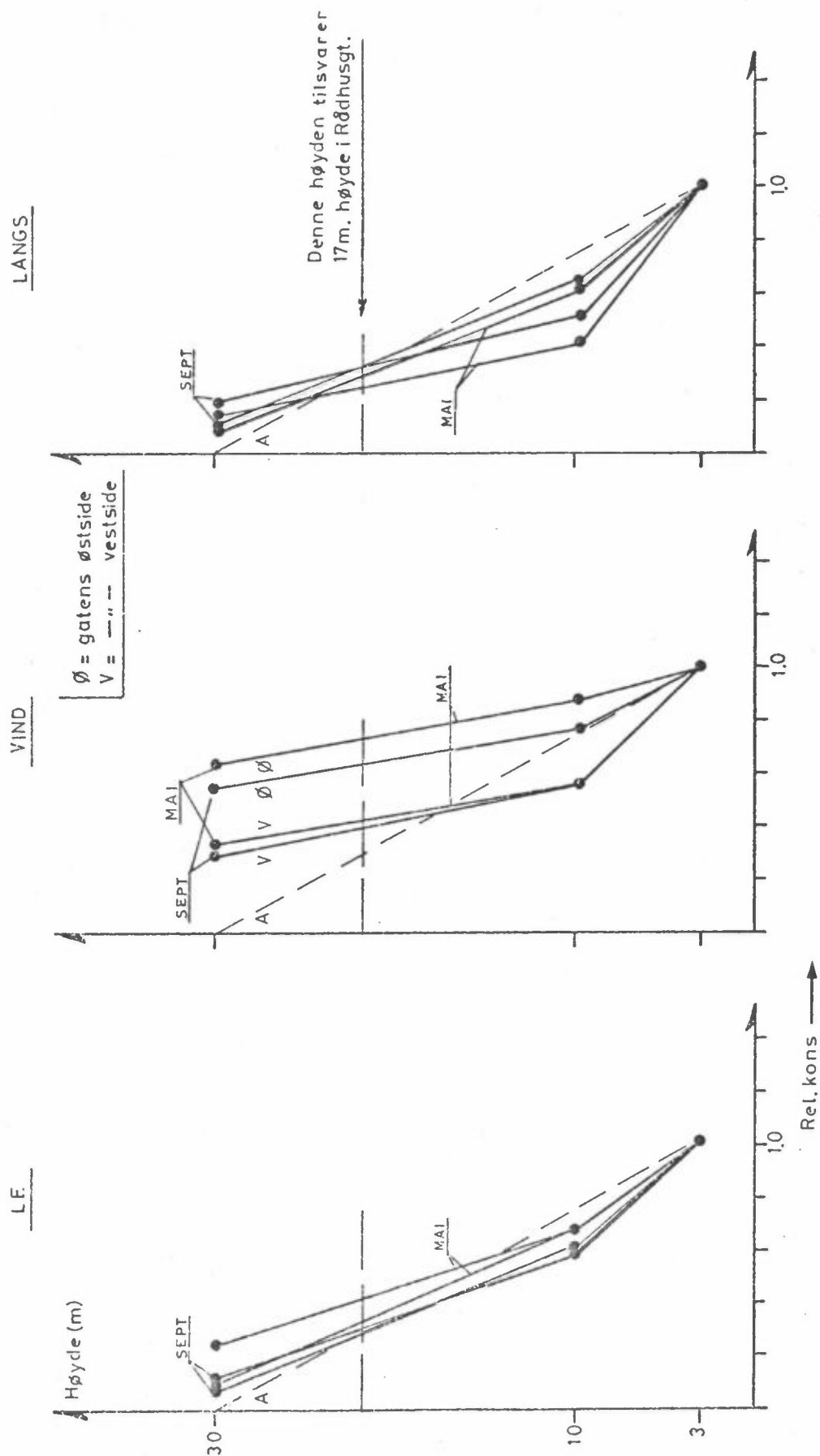
V,H: Gatens venstre- og høyreside, sett i trafikkens kjøreretning.

A : Prediksjon fra Stanford (ΔPRAC)-modellen.



A: Stanford (APRAC)-modellens vindsideformel

Figur 1.18: Forurensningens fördelning med höjden i Sveavägen, Stockholm.
Baserat på månedsmeddelvärder av CO, 1976. Fra ref. (2).



Figur 1.19: Formrænsningens fordeling med høyden, Döbelnsgatan, Stockholm.
Baseret på månedsmeddele verdier av CO, 1976. Fra ref. (2).

2 CO OG ANDRE FORURENSNINGSSTOFFER - SAMMENHENGB

2.1 NO

NO skiller seg fra CO først og fremst på grunn av følgende forhold:

- andre kilder enn biltrafikken gir betydelige utslipp av NO i byområder. Dette gjelder først og fremst oljefyring i vinterhalvåret.
- NO er ikke inert som CO, men det er kjemisk overgang først og fremst fra NO til NO₂.
- Utslippet av NO fra biler varierer med biltypen, hastighet etc. på en annen måte enn det CO gjør.

Analyse av samtidige CO- og NO-målinger ved gater i sommerperioder, da biltrafikken i praksis er den eneste NO-kilde ved de målestedene som er benyttet, viser at det er en god korrelasjon mellom CO og NO eller NO_x. Figurene 2.1 og 2.2 viser eksempler på slike sammenhenger, basert på samhørende timesmiddelverdier. Ved hvert målestedssted er det en nært linjet sammenheng over hele måleområdet. Plott fra andre gater viser det samme.

For å kunne sammenligne konsentrasjoner av CO og NO_x ved forskjellige veier, må en ta hensyn til andelen av tunge dieseldieselkjøretøy. Ved å gå ut fra STI's foreslalte utslippstall for bykjøring i Midtbyen (se Del I, tabell 5.1) får en at følgende andel av det totale CO- og NO_x-utslippen skyldes utslipp fra tunge dieseldieselkjøretøy:

Andel tunge dieseldieselkjøretøy	Dieselkjøretøyers andel av CO-utslipps	NO _x -utslipps
5%	≈ 4%	≈ 25%
10%	≈ 8%	≈ 48%
20%	≈ 15%	≈ 67%

Ved 10% tunge kjøretøy som er en typisk verdi, er disse ansvarlig for nært halve NO_x-utslippet fra trafikken samlet. Dette er

tall som gjelder for midlere bykjøring. I bestemte gater med definerte trafikkavviklingsforhold, kan dieselandelen være større eller mindre enn dette.

Figur 2.3 og 2.4 viser plott av forholdet CO/NO eller CO/NO_x som funksjon av trafikkettheten ved de samme målesteder. Disse plottene viser en tendens til større CO/NO(NO_x)-forhold, når trafikkettheten går mot den maksimale verdi. Dette er i overensstemmelse med dårligere trafikkavvikling i rushtidene, med noe større økning i CO-utsippet enn i NO_x-utsippet. Plott fra andre gater viser tilsvarende tendens.

Tabell 2.1 gir resultater av regresjonsanalyse mellom CO og NO og NO_x for de ulike målesteder.

Tabell 2.1: Regresjonsanalyse mellom samtidige timesverdier av CO og NO, NO₂, NO_x. regnet som NO).
Tall i mg/m³.

Målested	Periode	Regresjon	Korr. koeff.	Antall data	Andel tungtr. %
E18, Lysaker,	sept-okt 74	NO = 0.115CO + 0.024 NO ₂ = 0.027CO - 0.057 NO _x = 0.142CO - 0.033	0.84 0.45 -	305 272 -	10
Oslo, Torggt	Juni 1974	NO _x = 0.028CO + 0.005	0.90	137	<5
Langgaten, Holmestrand	Aug. 1974	NO _x = 0.078CO + 0.095	0.80	277	12
Rådhusgaten Oslo	Jan-mars 79	NO = 0.081CO - 0.19	0.72	715	10

Målingene fra E18, Torggaten og Langgaten er fra sommer-høst-perioder, da biltrafikken er den helt overveiende NO_x-kilden. Ved E18 ble NO og NO₂ målt samtidig. NO-andelen av NO_x lå da på ca. 80%. Om en antar samme NO-andel også i Torggaten og i Langgaten, kan resultatene fra de tre målesteder sammenlignes.

El8 og Langgaten har nær samme tungtrafikkandel. Ved El8 er trafikkflyten god, hastighet 40-50 km/t. I Langgaten er målestedet ved trafikklys. Dette gir en vesentlig mindre NO_x -konsentrasjon i Langgaten enn ved El8 for et gitt CO-nivå. Dette stemmer med at CO-utslippet øker vesentlig mere enn NO_x -utslippet ved lavere middelhastighet og økt akselerasjon. CO/NO_x -forholdet i utslipp er ca. dobbelt så stort ved trafikklyset i Langgaten som ved trafikkflyt ved El8.

Torggaten har en vesentlig lavere tungtrafikkandel, og derved også vesentlig lavere NO_x -nivå i forhold til CO. Også her er målestedet ved trafikklys. CO/NO_x -forholdet er ca. 1/3 av det en har ved trafikklyset i Langgaten, i nær overensstemmelse med forskjellen i tungtrafikkandel.

En har også inkludert en regresjon mellom CO og NO i Rådhusgaten i en vinterperiode (1979). Sammenlignet med El8 om høsten er det mindre NO i Rådhusgaten for en gitt CO-verdi. Rådhusgaten har lavere middelhastighet (ca 30 km/t) enn El8 (40-50 km/t), og også mere ujevn kjøring. Dette fører til et større CO/NO_x -forhold i utslippet i Rådhusgaten som reflekteres i regresjonen.

De høye korrelasjonskoeffisienter en har mellom samtidige CO- og NO/NO_x -verdier viser at det på hvert målested er stor grad av samvariasjon mellom CO og NO/NO_x . Dette gjør det mulig å overføre de fleste sammenhenger en utledet for CO i kapittel 1 her også til NO/NO_x -konsentrasjoner i gaterom.

2.2 NO_2

Primærutslippet av nitrøse gasser fra biltrafikk skjer hovedsakelig som NO. Den NO_2 som finnes nær gater og som skyldes utslipp fra biltrafikken, skyldes oksydasjon fra NO til NO_2 . Oljefyring som i byområder er en viktig NO_x -kilde, gir bidrag til NO_2 nær gater. Også her er overgangen fra NO til NO_2 viktig.

Denne overgangen er avhengig av parametre som for eksempel strålingsintensiteten, temperaturen og mengden ozon i lufta. En vil derfor ikke vente en like god sammenheng mellom CO og NO₂ ved gater som det en fant for CO og NO, selv om sommeren, da biltrafikken er hovedkilden.

Figurene 2.5 - 2.7 viser eksempler på sammenhenger mellom CO og NO₂. Det er stor spredning omkring regresjonsligningene. Figurene 2.8 og 2.9 viser hvordan CO/NO₂ i Rådhusgaten (gaterom) og på Lysaker (åpen vei) varierer med trafikkettetheten.

Det bør knyttes kommentarer til plottet for Lysaker i januar-februar 1975. Gruppen av punkter med høye NO₂-verdier (NO₂ > 0.2) og samtidig lave CO-verdier (CO < 5) opptrer når det er lav trafikk, oftest om natten. NO₂-nivået da må skyldes hovedsakelig andre kilder, sannsynligvis oljeforbrenning i nærheten. De hører derfor ikke naturlig med i regresjonen. Linjen i figur 2.6 er trukket på skjønn, når en ser bort fra de nevnte verdier. "Regresjonen" i tabell 2.2 for Lysaker, januar-februar 75 er ligningen for den linjen.

Tabell 2.2 gir regresjonslinjene for CO/NO₂.

Tabell 2.2: Regresjonsanalyse mellom samtidige CO- og NO₂-verdier (timesmidler). Tall i mg/m³. (NO₂ regnes som NO₂).

Målested	Periode	Regresjon	Korr. koeff.	Antall data
E-18 Lysaker Bærum	Sept-okt 74	NO ₂ ≈ 0.014 CO	0.45	272
	jan-feb 75	(NO ₂ ≈ 0.014CO+0.075)	0.49	535
Rådhusgt. Oslo	juni 74	NO ₂ ≈ 0.028 CO	0.57	286

En ser at CO/NO₂-korrelasjonen som ventet er vesentlig dårligere enn CO/NO-korrelasjonen.

I Rådhusgaten om sommeren var NO₂/CO-koeffisienten vesentlig høyere enn ved E18, Lysaker, i september-oktober. Dette kan skyldes at større solintensitet i juni gir større overgang til NO₂. Det kan også skyldes andre kilder til NO₂ ved Rådhusgaten.

Ved Lysaker om vinteren ga andre kilder enn biltrafikken en "bakgrunnskonsentrasjon" som i regresjon er lik $0.075 \text{ mg NO}_2/\text{m}^3$. Forøvrig var regresjonskoeffisienten mellom CO og NO₂ den samme som om sommeren, slik at en gitt CO-konsentrasjon ga i middel den samme økning i NO₂-konsentrasjonen vinter som sommer.

Det viser seg at det norske datamaterialet for NO₂ ikke på det nåværende tidspunkt er omfattende nok til å kunne prediktere NO₂-konsentrasjonen i gaterom med rimelig sikkerhet, når utslippet av CO og NO_x er gitt.

2.3 Bly

Det bly en finner på partikler i luft i gaterom skyldes hovedsakelig utslipp fra bensinbiler. Det er ikke bly i dieseloljen.

En kjenner ikke så godt utslippsmønstret for bly, hvordan utslippet varierer med kjøreforholdene. I og med at det er blyet som allerede finnes i bensinen som går gjennom motoren og ut med eksosen, skulle en i første tilnærminge kunne sette at blyutslippet er direkte proporsjonalt med bensinforbruket. Bly kan imidlertid avsettes i varierende grad i motor og eksosanlegg. Den nevnte proporsjonalitet er derfor ikke nødvendigvis gyldig uavhengig av hastighet i akselerasjon og andre forhold. Det er utført samtidige målinger av uorganisk bly og CO ved en rekke av målestedene. Bly er målt som døgnmiddelverdier. Prøvene er tatt med NILUs automatiske luftpøretaker. Prøvene representerer partikler som er mindre enn 5-10 μm , og er en første ordens tilnærming til respirabelt støv.

Figurene 2.10 - 2.12 viser samhørende døgnverdier av CO og bly fra tre målesteder. Det er god samvariasjon mellom CO og bly på hvert av de tre målestedene.

Tabell 2.3 viser det midlere forhold mellom døgnverdier av CO og bly fra alle målesteder der målinger er foretatt i Norge.

Tabell 2.3: Oversikt over midlere forhold mellom bly og CO (døgnverdier) ved målesteder i Norge ($\mu\text{g}/\text{mg}$).

	Jan	feb	mar	apr	mai	jun	jul	aug	sept/okt
<u>Rådhusgt, Oslo</u>									
1974			0.90			0.55			
1979			0.45	0.45					
<u>E18, Lysaker</u>									
1974/75			0.25						0.70
<u>Langgt. Holmestrand</u>									
1974								0.45	
<u>Bakklandet, Trondheim</u>									
1978	0.35								
<u>Strandgt. Bergen</u>									
1978		0.40							
<u>O.H.gt, Sarpsborg</u>									
1978			0.45						

Et vedtak om reduksjon i blyinnholdet i bensin fra ca 0.7 g/l til maksimum 0.4 g/l ble innført 1.1.1974. En kan regne med det tok noe tid før reduksjonen ble effektiv. Det forklarer den høye bly/CO-verdien for Rådhusgaten i mars 1974.

Når en ser bort fra denne verdien, og verdiene for E18, Lysaker, er bly/CO-forholdet ved de andre stasjonene ganske likt, selv om kjøreforholdene er nokså forskjellige fra målesteds til målested. Et representativt tall for bly/CO-forholdet i disse gatene synes å være nær 0.45.

I alle gatene i tabellen er dieselandelen i nærheten av 10%. Justert til en gate med 0% dieselandel, vil bly/CO-forholdet da være nær 0.50.

I Rådhusgaten, Øvre Baklandet og Strandgaten er CO-utsippet om vinteren anslått til 41 mg/m³•kjt. Om en antar at bensinbilene ved kjøring i disse gatene i gjennomsnitt har et bensinforbruk på 0.1 l/km inneholdende 0.4 g bly/l, vil det gi et blyutslipp på 40 µg/m³•kjt. Forholdet i utsippet er da nær 1.0 (mg/g), mens det i lufta ved veien er nær 0.5 (µg/mg). Dette kan gi grunnlag for å anslå at ca 50% av blyet i bensinen som forbrukes i en gate blir å finne igjen på respirable partikler i gaterommet.

Den gode samvariasjon mellom døgnverdier av CO og bly indikerer at utslippsmessig og spredningsmessig oppfører blypartiklene seg på nær samme måte som CO. Beregningsmetoder som gir god prediksjon av CO-konsentrasjonen i gaterom bør derfor også kunne gi god prediksjon av bly-konsentrasjonen, når utslippsfaktoren for bly velges i samsvar med det ovenstående. Dataene viser at en utslippsfaktor for bly for bensinbiler som er $0.50 \cdot 10^{-3}$ ganger utslippsfaktoren for CO fra samme, gir konsistens mellom CO- og bly-målingene ved alle målesteder bortsett fra ved El8, Lysaker. Det synes ikke å være vesentlig forskjell på bly/CO-forholdet ved trafikklyskøer og på steder der trafikken flyter mer normalt.

2.4 Sot

Sotinnholdet i lufta bestemmes ved en målemetode (OECD-metoden) der svertningsgraden av støv samlet på et filter bestemmes.

Metoden er standardisert når det gjelder prøvetaking og analyse. Prøvetakingen gir en støvprøve som i hovedsak representerer respirable partikler. Analysen gir en svertningsgrad av filtret. Denne overføres til en konsentrasjon, µg sot/m³, ved hjelp av standard kurver. Denne metoden har utstrakt anvendelse, og er foreskrevet brukt i Norge i forbindelse med foreslått retningslinje for sot i luft.

I byområder er det flere kilder til sot og mørkt støv i luft. Eksosutslipp fra biler er en, oljeforbrenning er en annen, og asfaltstøv fra veier kan være en tredje.

Figurene 2.13 - 2.15 viser plott av samhørende døgnmiddelverdier av CO og sot ved tre målesteder i ulike perioder. Korrelasjonen er omtrent like god som mellom CO og bly, (figurene 2.10-2.12).

Tabell 2.4 viser forholdet mellom midlere CO- og sot-konsentrasjon for ulike målesteder og perioder.

Tabell 2.4: Forholdet mellom middelverdier av sot og CO (døgnverdier) fra målesteder i Norge ($\mu\text{g}/\text{mg}$).

	Jan	feb	mars	april	mai	juni	juli	Andel diesel %
Rådhusgt, Oslo, 1979		20						\approx 20
Bakklandet, Trondheim, 1978		16	16		11			\approx 5
Strandgt, Bergen, 1978		20		20	20			\approx 10
O.H.gt. Sarpsborg, 1978			20	20		20		\approx 10

I sommermånedene er eksosutslippet den absolutte hovedkilden til sot i gaterom. Tunge dieselkjøretøy slipper ut vesentlig mer sot enn lette bensinbiler. Det er estimert at dieseltog har et sotutslipp på 6.5 kg/tonn drivstoff, mens bensinbiler har 1.1 kg/tonn drivstoff (9). Når utslippen regnes pr meter vei-lengde i trafikk, blir forskjellen enda vesentlig større, i det dieselforbruket pr veilengde er 3-5 ganger bensinforbruket. Allerede ved 5% tunge dieselkjøretøy vil de utgjøre mer enn halvparten av sotutslippet.

Forskjellen i dieselandel forklarer at Baklandet om sommeren har et sot/CO-forhold på ca halvparten av Strandgaten og O.H.gaten.

I Strandgaten og O.H.gaten er forholdet det samme vinter som sommer, mens det på Baklandet er høyere om vinteren.

Problemet med å sammenligne CO og sot, er at CO i hovedsak skyldes bensinbiler, og sot i hovedsak skyldes tunge dieselbiler. Det tabell 2.4 viser, er at det er et nokså konsistent forhold mellom CO og sot i gater med samme dieselandel i trafikken, og forholdet synes ikke å endre seg med årstiden. En har vist at CO-utsippet fra trafikken er høyere vinter enn sommer. Samtidig er sotbidraget fra oljefyring ubetydelig om sommeren, og av betydning om vinteren. Begge disse ting fører til et ganske konstant sot/CO-forhold vinter og sommer.

Den ganske gode samvariasjonen mellom sot og CO for sommerperioden, da biltrafikken gir hovedbidraget både til sot og CO, viser at innenfor hver gate er det en rimelig antakelse at sot- og CO-konsentrasjonen i gaterom varierer på samme måte med endringer i trafikk- og spredningsforhold. En beregningsmetode som gir god prediksjon av middelverdier av CO vil derfor også gi rimelig god prediksjon av biltrafikkens bidrag til sotkonsentrasjonen. Prediksjonen må baseres på rimelig riktige verdier for sotutsippet i gaten.

2.5 Svevestøv

Kilder til svevestøv i gaterom er eksosutsipp fra trafikken, veistøv og støv fra andre kilder i området (f.eks. fra byggenvirksomhet, bakkestøv, oljefyring). Partiklene som inngår i svevestøvbegrepet har størrelser fra mindre enn en tiendedels μm og opp mot 50-100 μm .

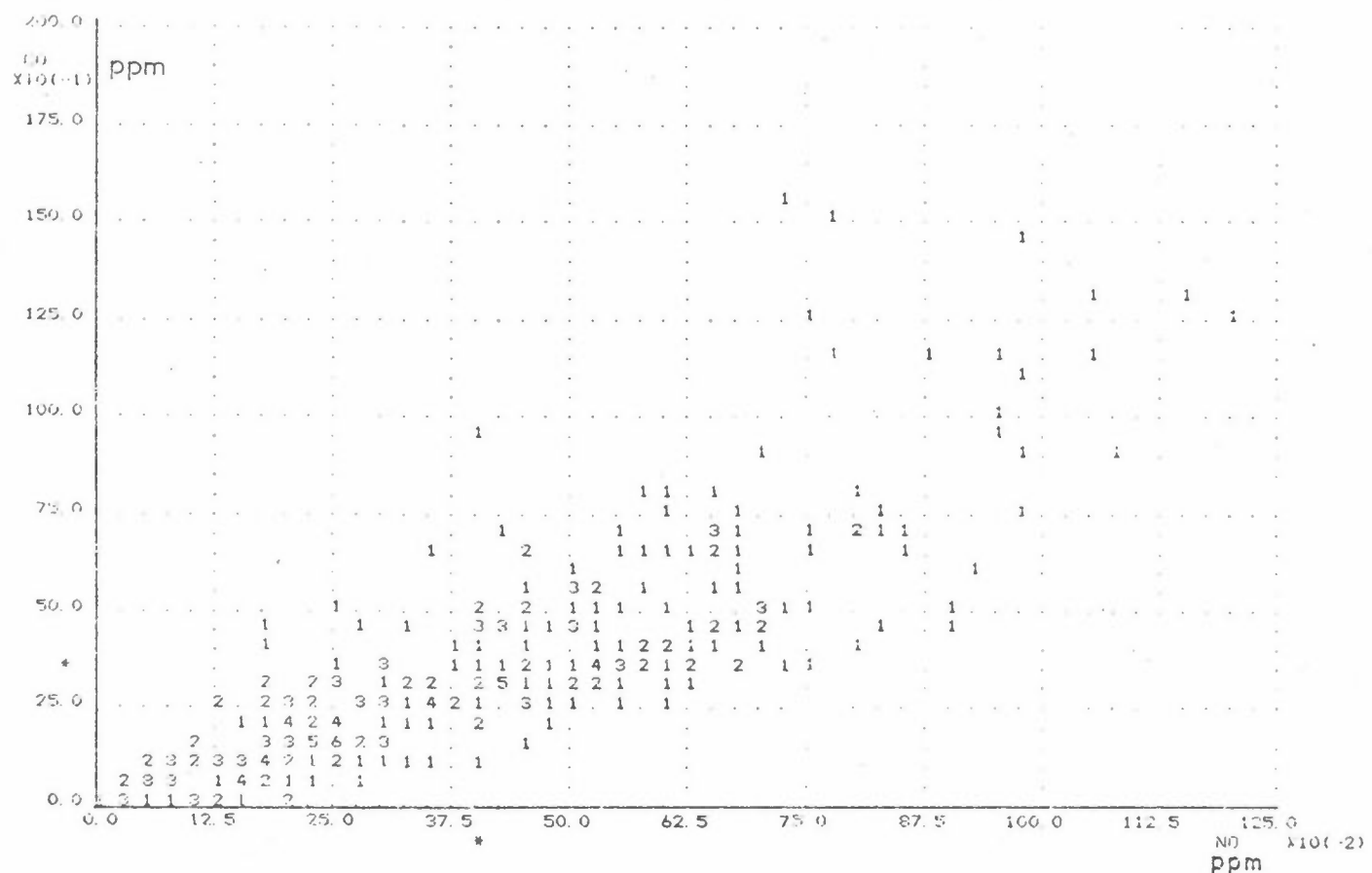
Bidraget fra veistøv generert av trafikken i gaten er sannsynligvis hovedkilden til fraksjonen av store partikler i de laveste nivåer av gaterommet, partikler av størrelse 5-10 μm og større. Konsentrasjonen av slike partikler er svært avhengig av vindstyrke, veidekke, fuktighetsgraden på bakken og trafikkhastigheten. Avhengig av slike forhold kan denne fraksjonen av store partikler utgjøre fra en liten del (0-5%) til en stor del (80-90%) av vekten av samlet svevestøv i gaterommet.

Hovedkilden til fraksjonen av små partikler, partikler mindre enn 5-10 μm er om sommeren eksosutslippet fra biltrafikken. Om vinteren vil oljefyrring i byområder komme inn som en betydelig kilde. Denne fraksjonen, som kan kalles den respirable fraksjonen, skyldes altså i stor grad biltrafikken. Ved riktige estimer av utslipp, bør en kunne prediktere størrelsen av denne fraksjonen i gaterom. I seksjon 2.4 har en behandlet en måte å bestemme denne fraksjonen på, nemlig ved hjelp av sot-innholdet i fraksjonen. Det mest objektive mål for mengden av den respirable fraksjonen er vekten av den. Det er foretatt en del vektbestemmelser av den partikkelfraksjonen som er tilnærmet lik den respirable fraksjonen, ved gater i Norge. Datamaterialet er imidlertid ikke omfattende nok til verifisering av en beregningsmetode.

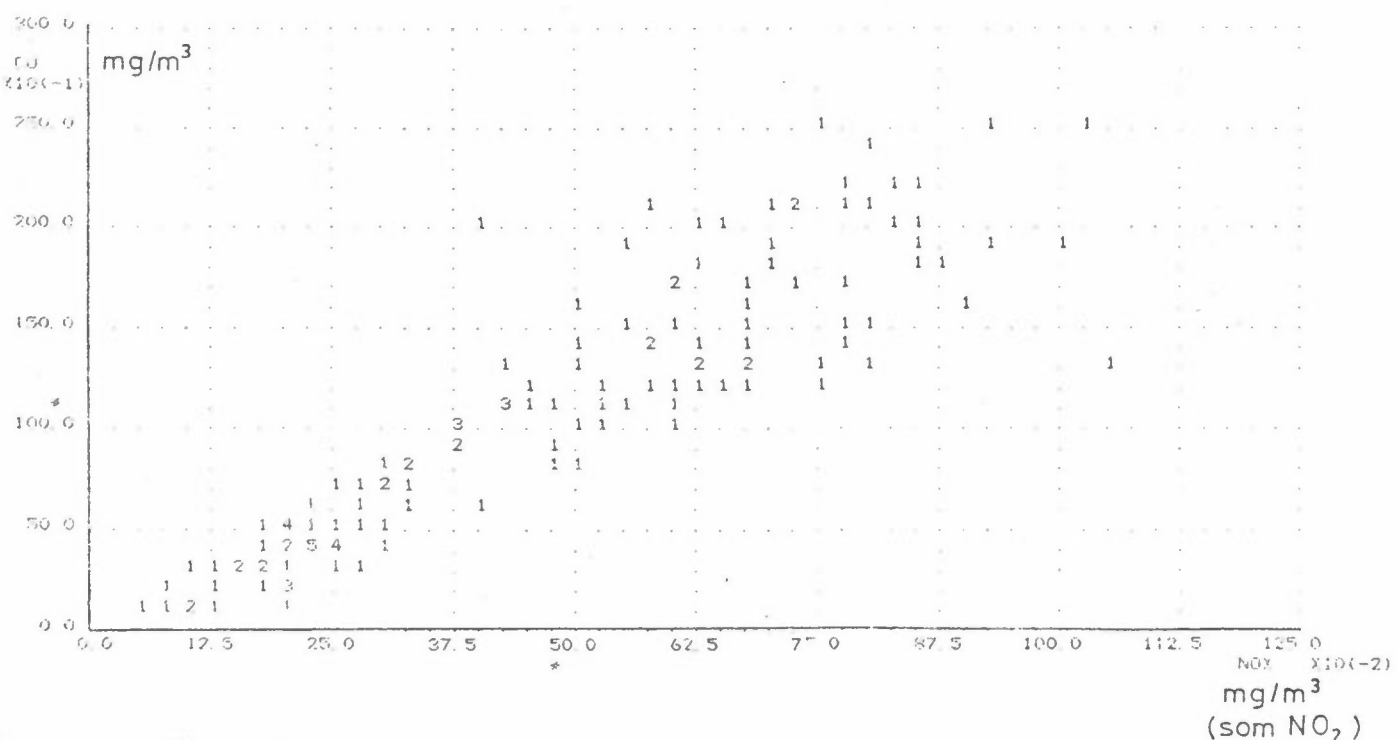
Fraksjonene av store partikler lar seg vanskelig beregne, idet datamaterialet ikke nå er omfattende nok til å sette opp en beregningsmetode, og til å verifisere denne. En beregningsmetode for store partikler vil skille seg fra den en vil benytte for gasser og små partikler, fordi store partikler har en betydelig fallhastighet. Det samme gjelder fraksjonen "inhalabelt" støv, som dekker partikelstørrelser opp til 15 μm i diameter.

2.6 Organiske komponenter

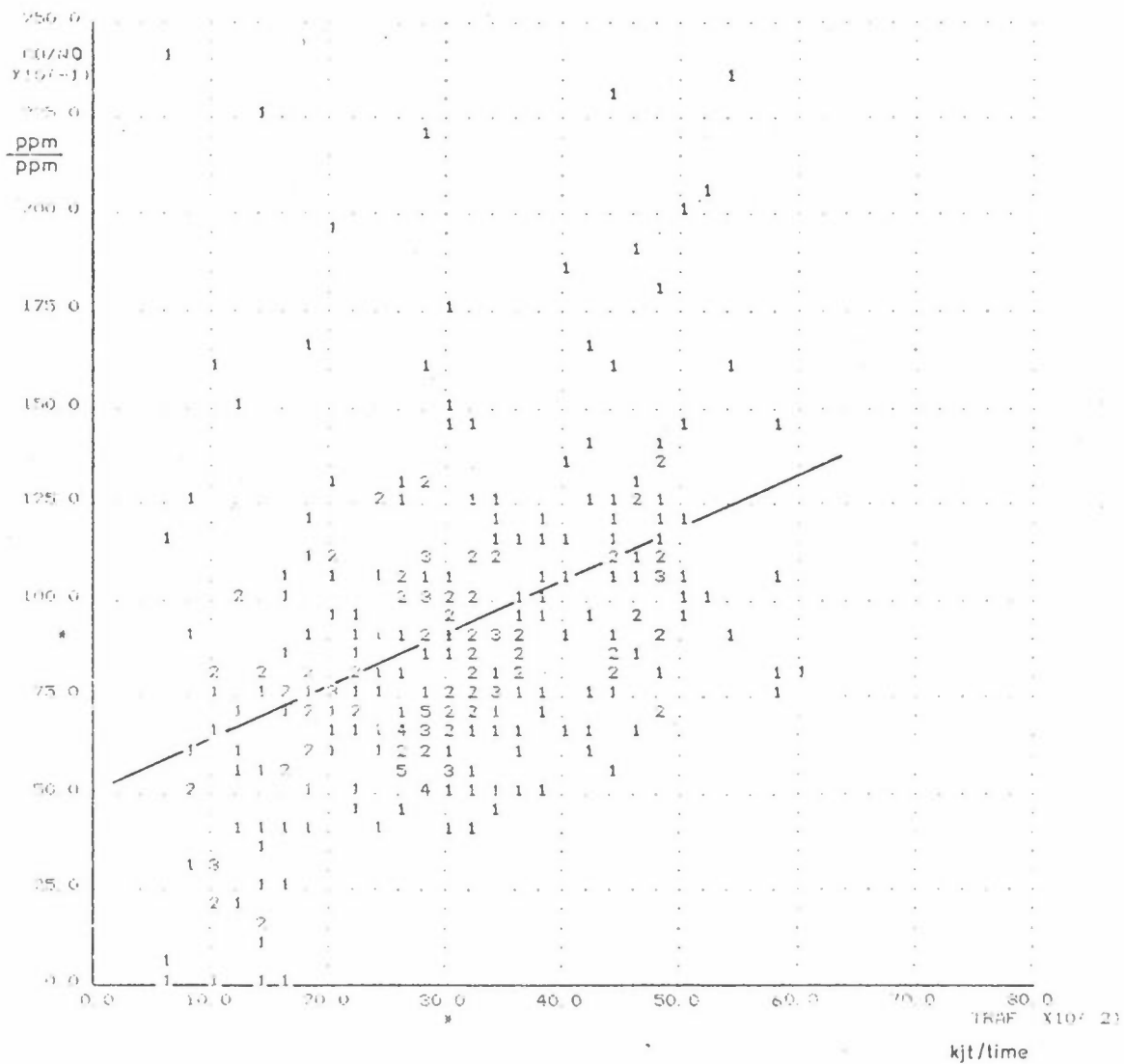
En rekke organiske komponenter i gass- og partikkelfasen forekommer i utslippet fra biltrafikk. En del av de samme forekommer også i utslipp fra oljefyring. Fra disse kildene vil de forekomme i gassform eller på små partikler (i stor grad partikler mindre enn 1 μm). For de komponenter som er stabile kan derfor en beregningsmetode utviklet for CO kunne benyttes til å prediktere bidraget fra biltrafikken til konsentrasjonen av organiske komponenter, når en har estimerer for utslippet. Fra NILUs målinger i Norge foreligger en del data av PAH-komponenter og benzen som har dannet grunnlag for å estimere utslippet av disse stoffer fra biltrafikken.



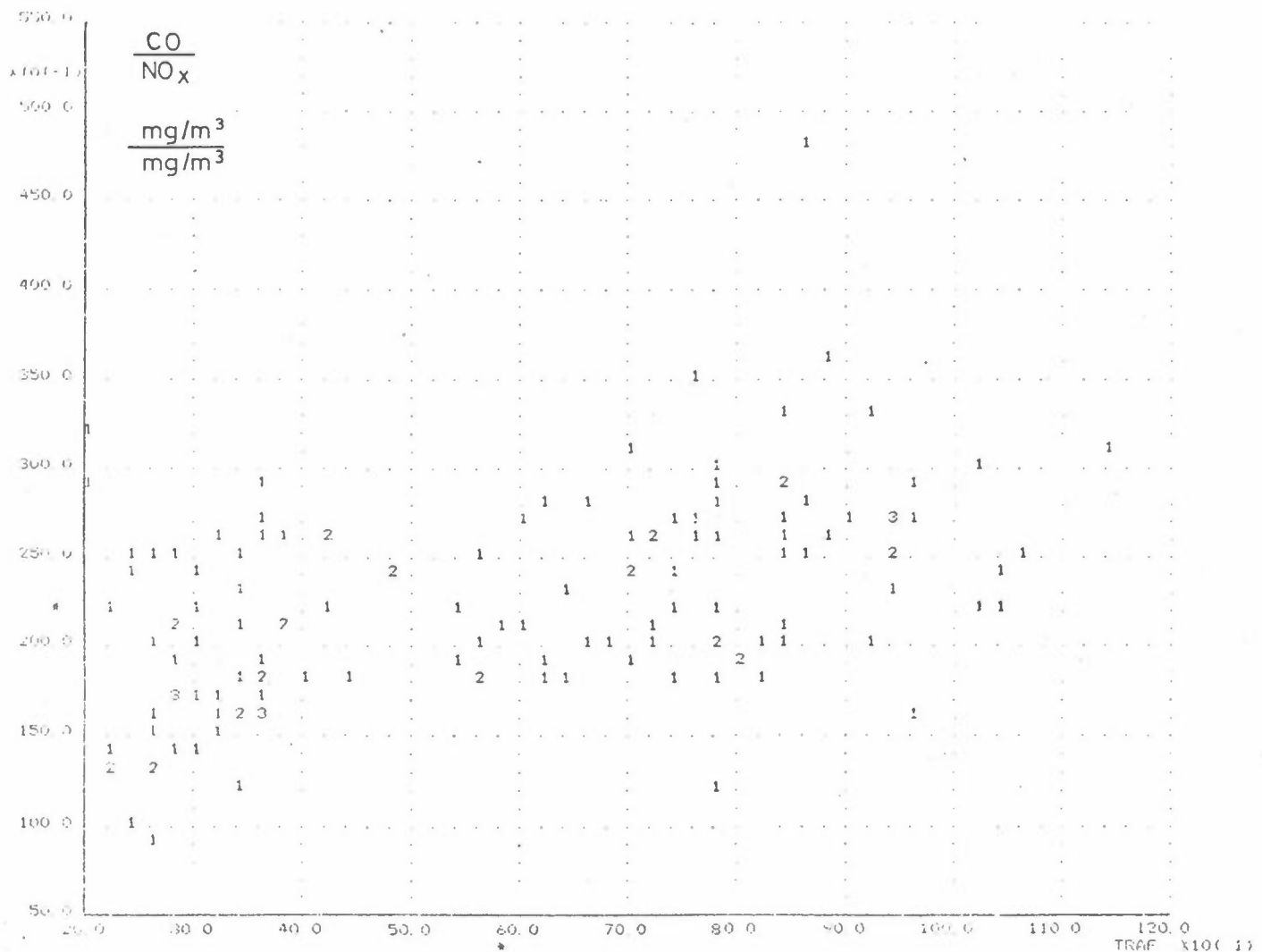
Figur 2.1: Plott av samhørende CO- og NO-verdier (timesmidler).
E18, Lysaker. September-oktober 1974.



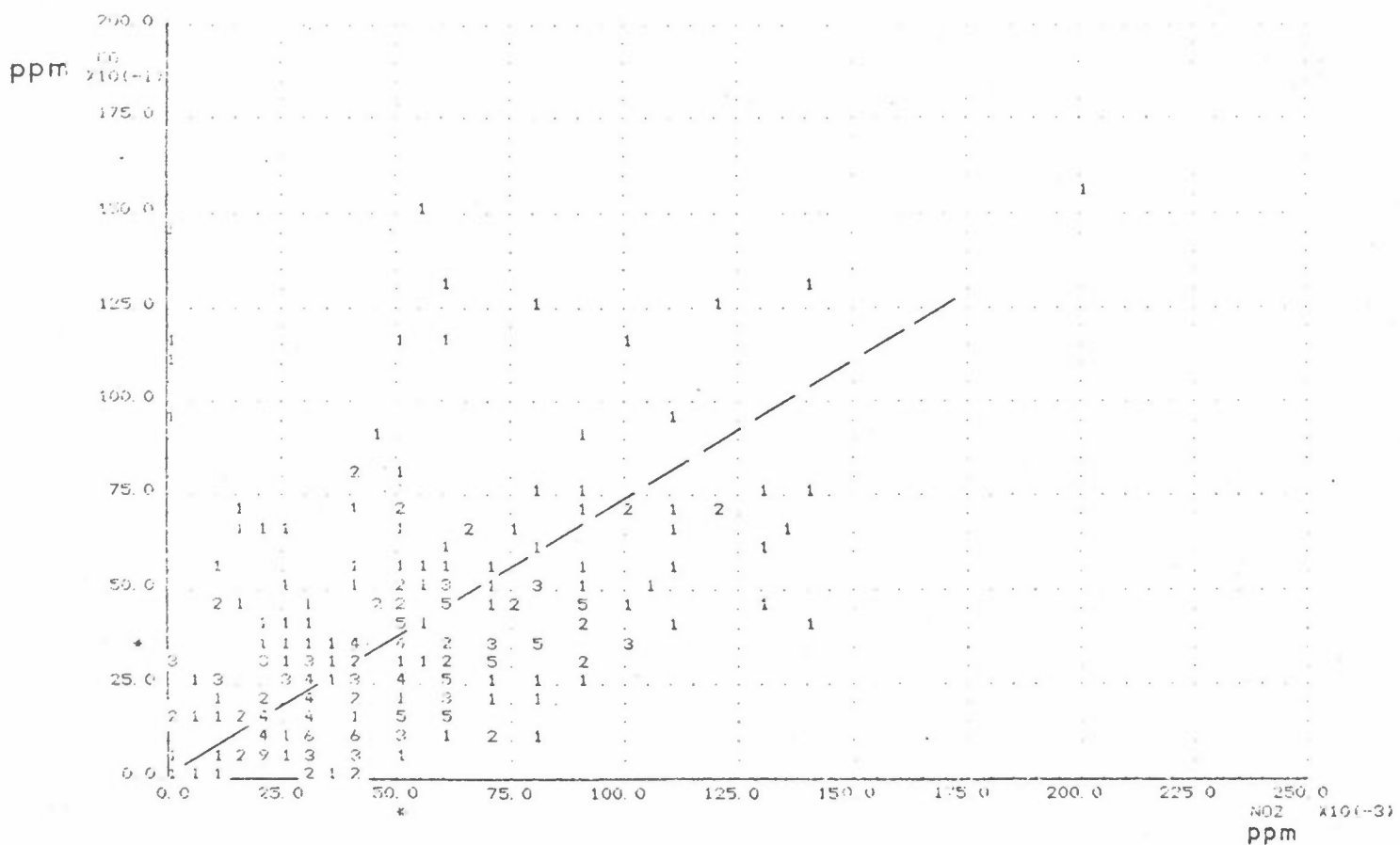
Figur 2.2: Plott av samhørende CO- og NO_x-verdier (timesmidler).
Torggaten, Oslo, juni 1974.



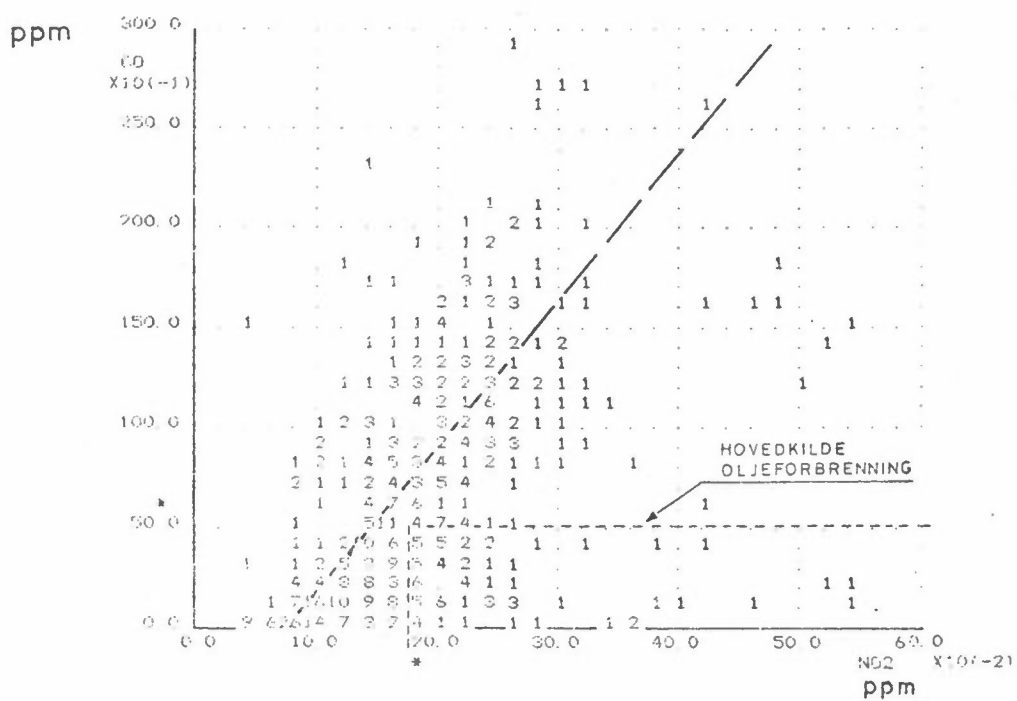
Figur 2.3: Plott av CO/NO mot trafikketthet, E18, Lysaker,
september - oktober 1974.



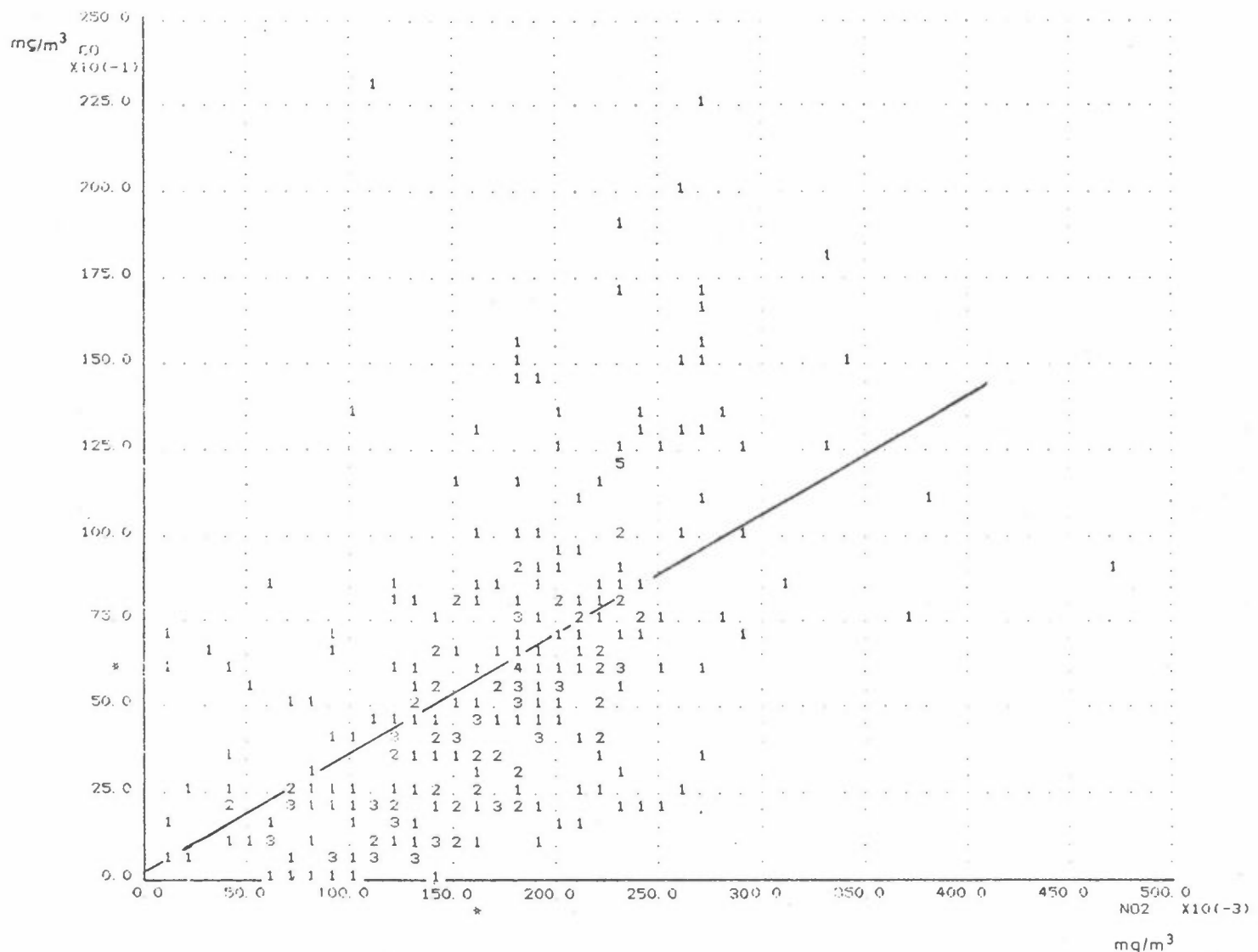
Figur 2.4: Plott av CO/NO_x mot trafikketthet (timesverdier).
Torggaten, Oslo, juni 1974.



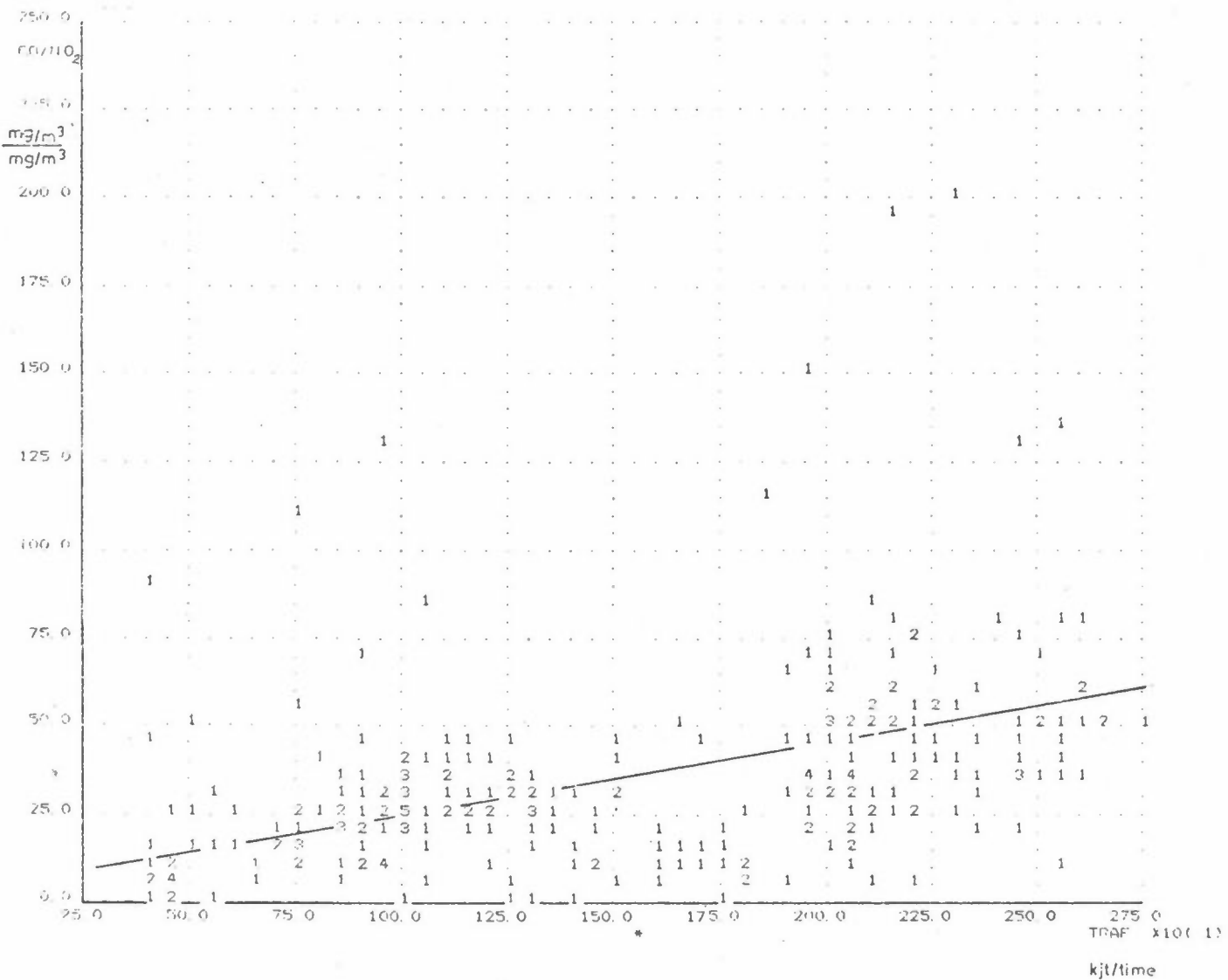
Figur 2.5: Plott av samhørende CO- og NO₂-verdier (timesmidler).
E18 Lysaker, september - oktober 1974.



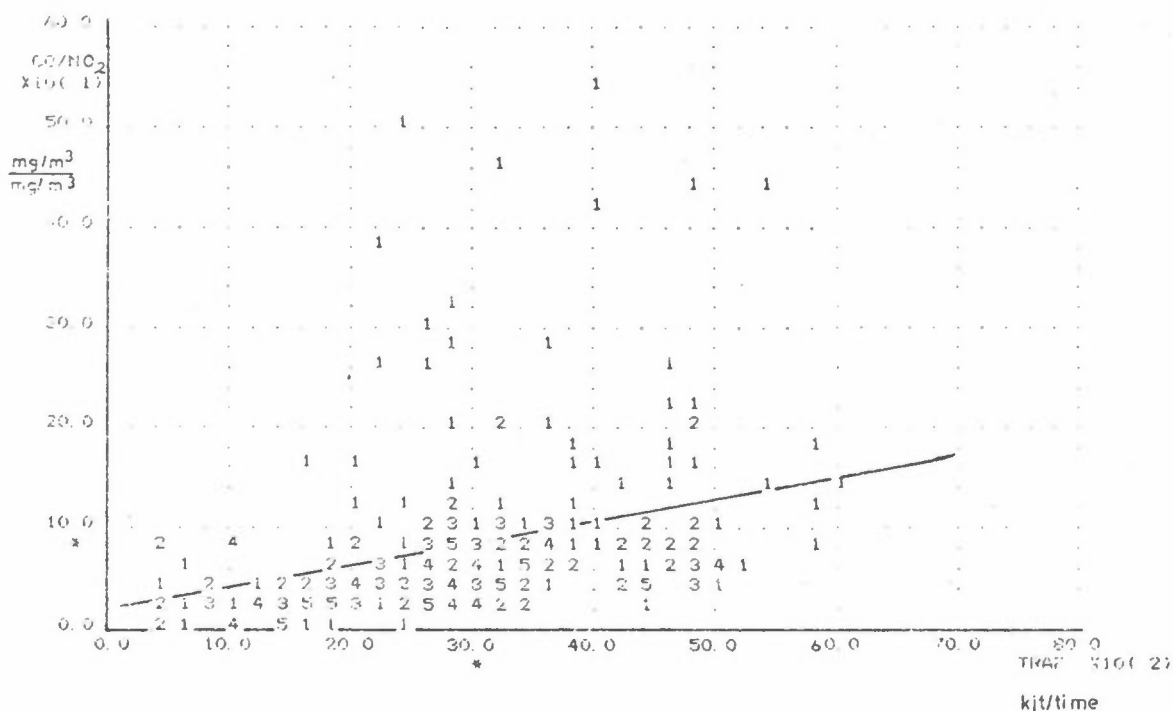
Figur 2.6: Plott av samhørende CO- og NO₂-verdier (timesmidler).
E18 Lysaker, januar - februar 1975.



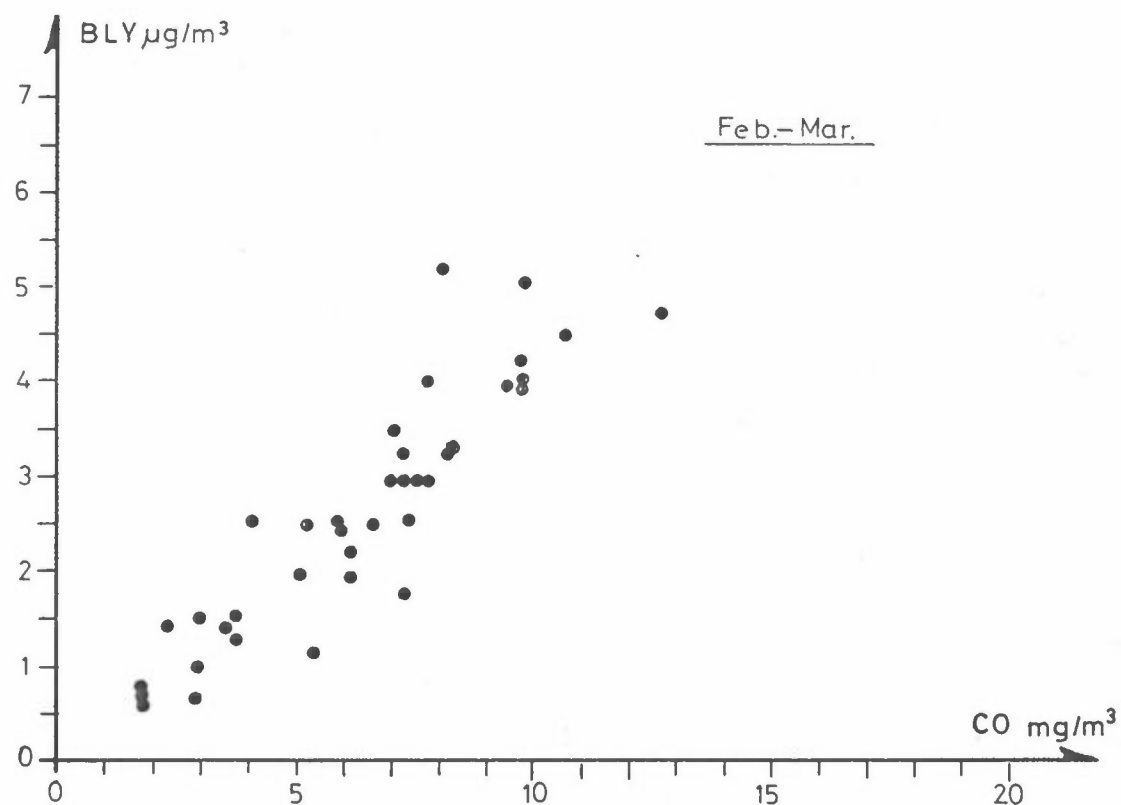
Figur 2.7: Plott av samhørende CO- og NO_2 -verdier (timesmidler)
Rådhusgata, Oslo, juni 1974.



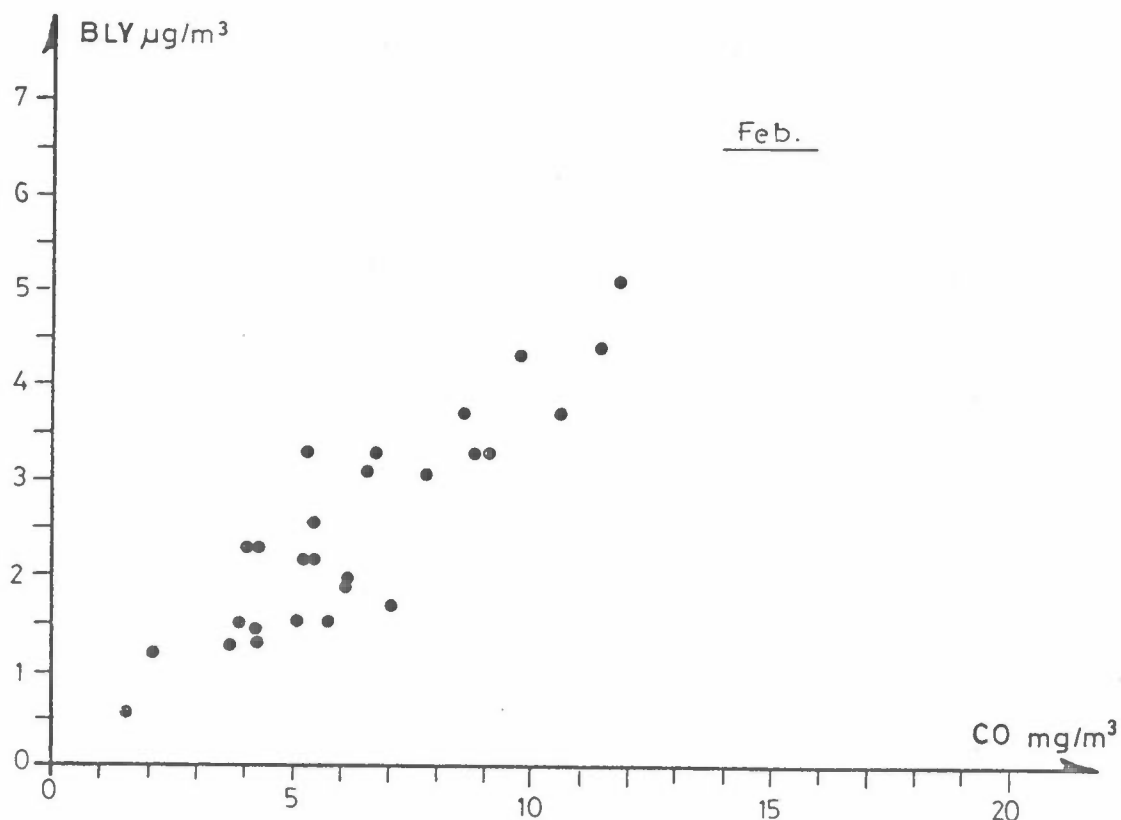
Figur 2.8: Plott av CO/NO₂ mot trafikketetthet (timesmidler).
Rådhusgata, Oslo, juni 1974.



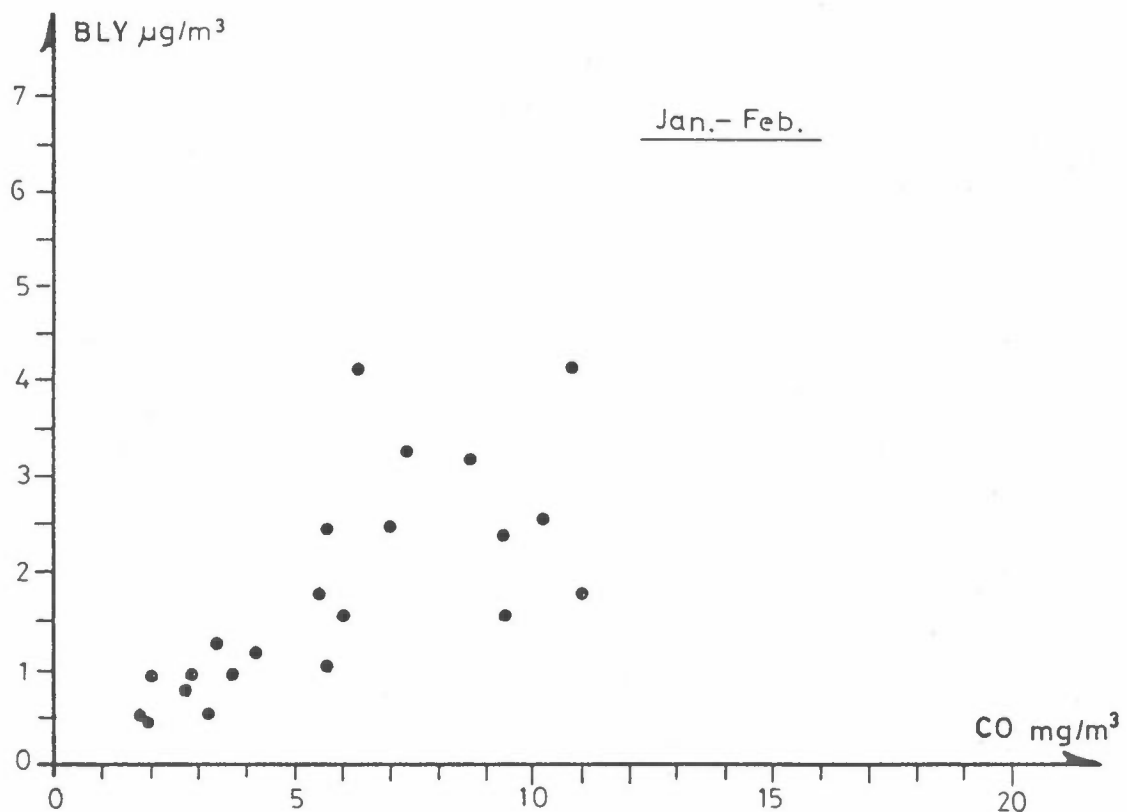
Figur 2.9: Plott av CO/NO₂ mot trafikketthet (timesmidler).
E18, Lysaker, september - oktober 1974.



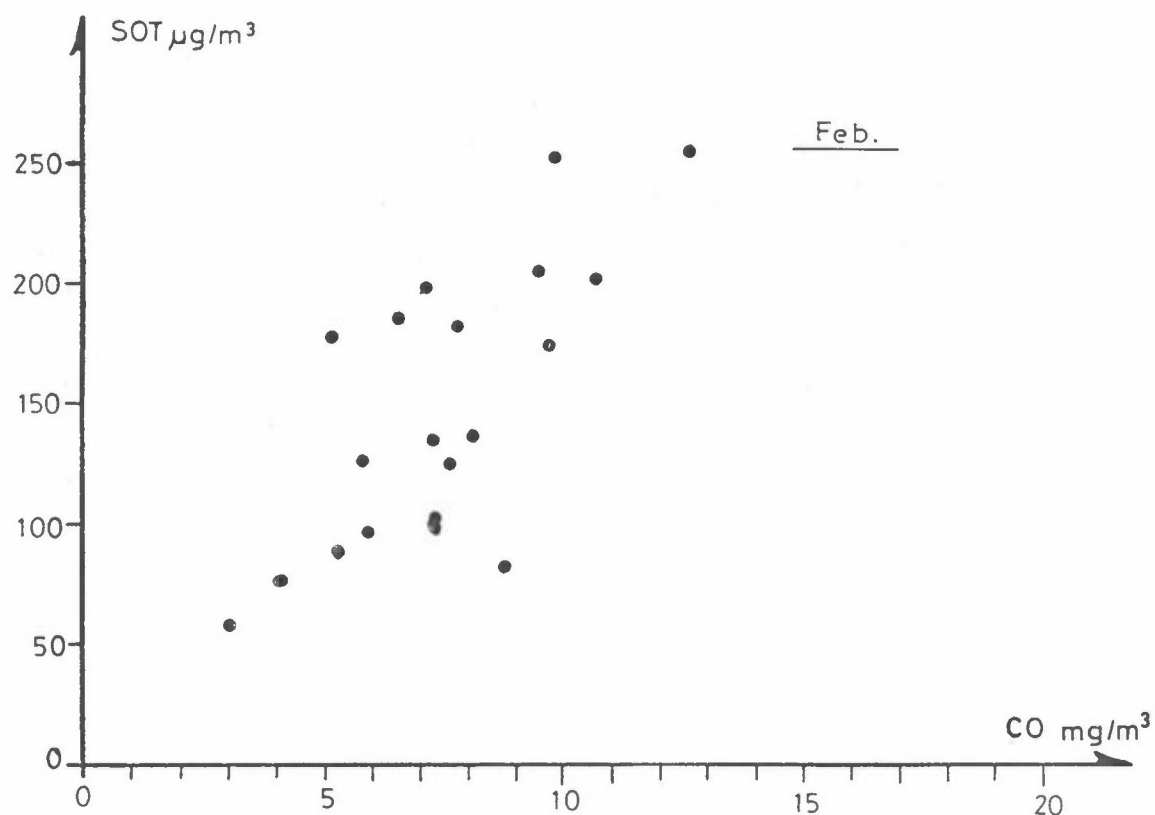
Figur 2.10: Samhørende døgnverdier av bly og CO, Rådhusgaten, Oslo, 1979.



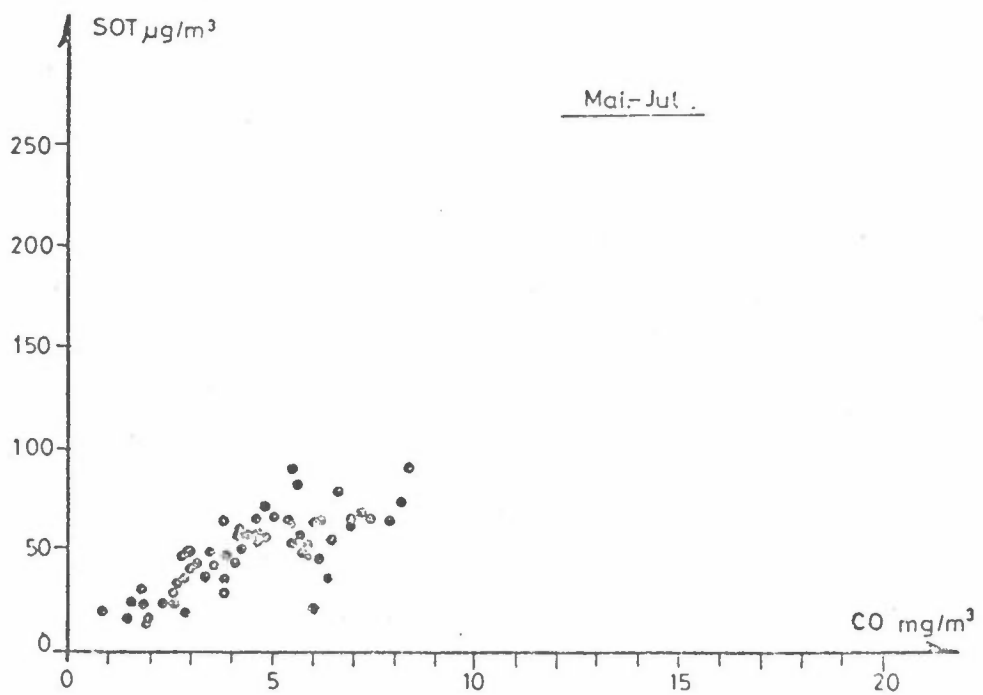
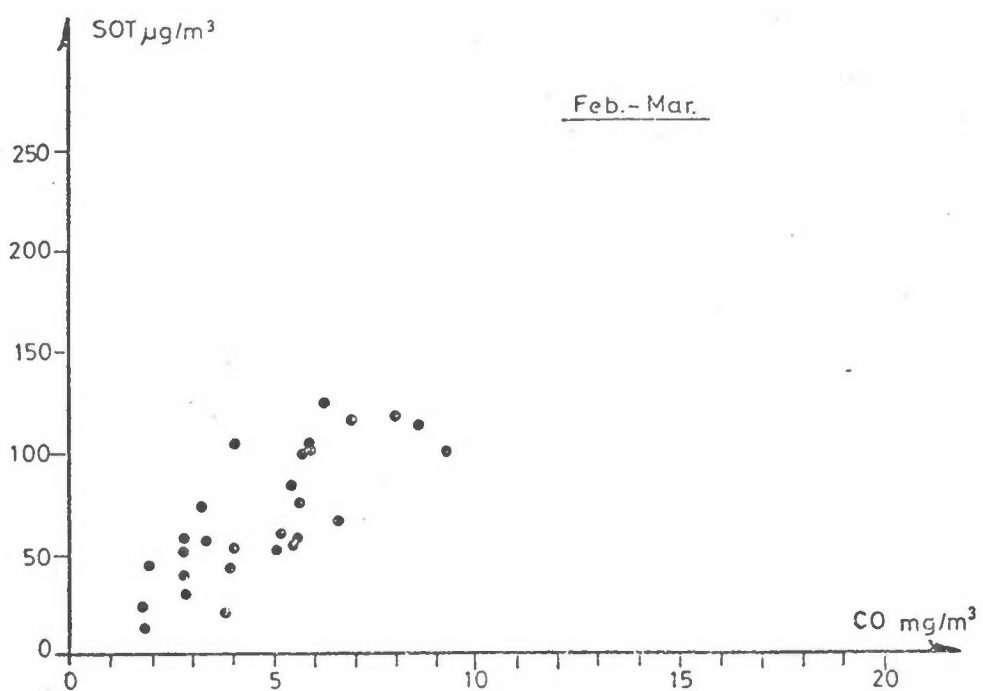
Figur 2.11: Samhørende døgnverdier av bly og CO, Strandgaten, Bergen, 1978.



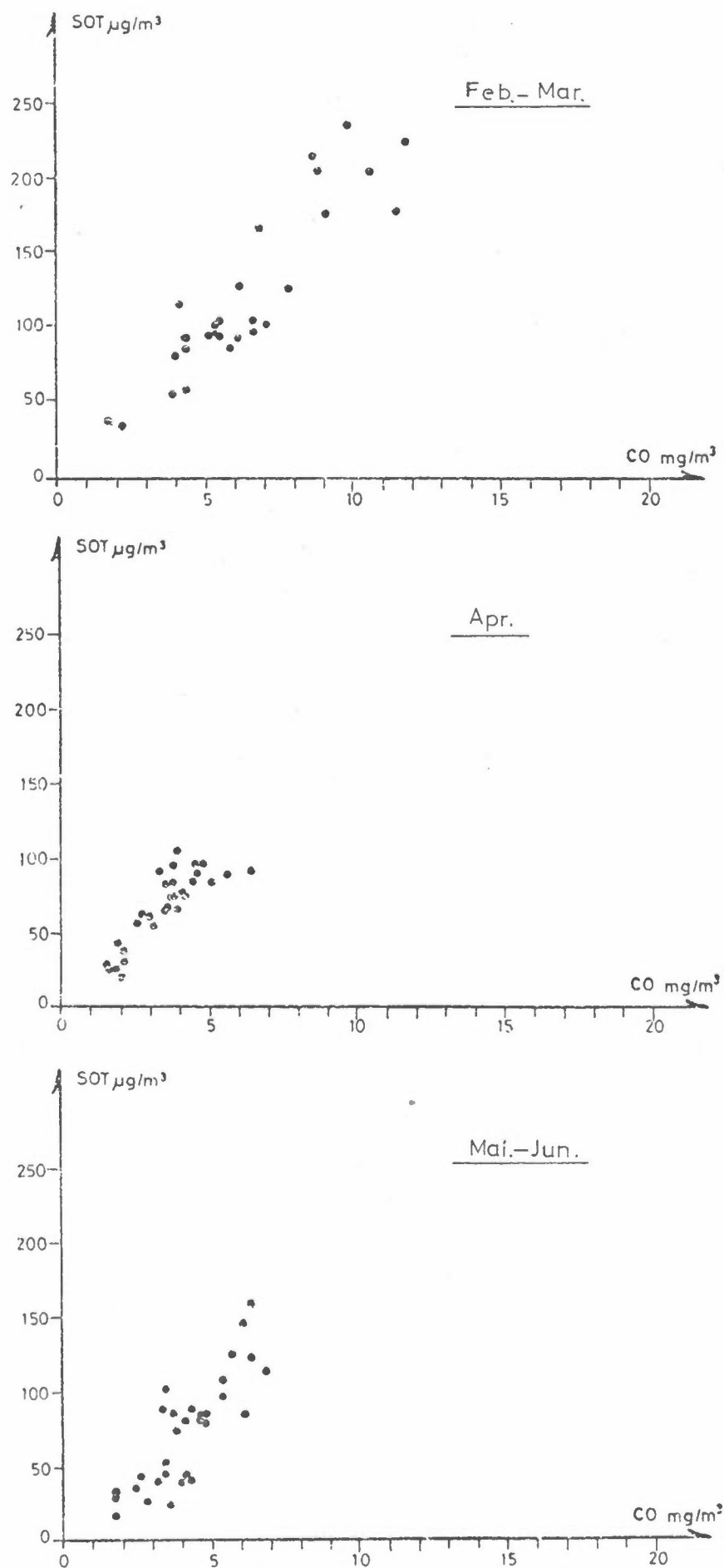
Figur 2.12: Samhørende døgnverdier av bly og CO, Øvre Bakklandet, Trondheim, 1978.



Figur 2.13: Samhørende døgnverdier av sot og CO, Rådhusgaten, Oslo, 1979.



Figur 2.14: Samhørende døgnverdier av sot og CO, Øvre Bakke landet, Trondheim, 1978.



Figur 2.15: Samhørende døgnverdier av sot og CO, Strandgaten, Bergen, 1978.



NORSK INSTITUTT FOR LUFTFORSKNING

(NORGES TEKNISK-NATURVITENSKAPELIGE FORSKNINGSRÅD)
POSTBOKS 130, 2001 LILLESTRØM
ELVEGT. 52.

RAPPORTTYPE Oppdragsrapport	RAPPORTNR. OR 5 / 81	ISBN--82-7247-317-8
DATO OKTOBER 1980	ANSV.SIGN. B.Ottar	ANT.SIDER 150
TITTEL Beregningsmetoder for luftforurensning ved trafikkårer	PROSJEKTLEDER Steinar Larssen	NILU PROSJEKT NR 21279
FORFATTER(E) Steinar Larssen Knut Erik Grønskei	TILGJENGELIGHET ** OPPDRAKGIVERS REF.	
OPPDRAKGIVER Statens forurensningstilsyn		
3 STIKKORD (á maks.20 anslag) Luftforurensning Trafikkårer	Beregningsmetoder	
REFERAT (maks. 300 anslag, 5-10 linjer) Rapporten presenterer forslag til to beregningsmetoder for luftforurensning ved trafikkårer; en metode for bruk i gaterom (gater med sammenhengende fasaderekker) og en for bruk ved åpne veier (uten sammenhengende fasaderekker)		
TITLE Methods for prediction of air pollution levels near streets/roads		
ABSTRACT (max. 300 characters, 5-10 lines) The report presents two suggested methods for prediction of air pollution levels near streets/roads. One method considers the street canyon situation. The other considers the highway situation .		

**Kategorier: Åpen - kan bestilles fra NILU A
Må bestilles gjennom oppdragsgiver B
Kan ikke utleveres C